



Universidad de Valladolid



ESCUELA DE INGENIERÍAS
INDUSTRIALES

Máster en Investigación en Ingeniería
De Procesos y Sistemas Industriales

MASTER EN INVESTIGACIÓN EN INGENIERÍA DE PROCESOS Y SISTEMAS INDUSTRIALES

ESCUELA DE INGENIERÍAS INDUSTRIALES

UNIVERSIDAD DE VALLADOLID

TRABAJO FIN DE MÁSTER

**Implementación de controladores predictivos en dispositivos
programables industriales**

Autor: D^a. Laura de Frutos Bolzoni
Tutor: D. César de Prada Moraga
Tutor 2: D. Rubén Martí Martínez

Valladolid, Septiembre, 2017

Resumen:

El objetivo del proyecto es la implementación de algunos algoritmos de control predictivo en dispositivos programables industriales (PLCs) para, una vez validados, pasar a su integración dentro del entorno de desarrollo de aplicaciones de control industriales desarrollado y utilizado por el CERN (UNICOS). Los controladores implementados deben satisfacer dos necesidades concretas. En primer lugar, se requiere un controlador para sistemas con grandes retardos de una entrada y una salida y, en segundo lugar, un controlador para pequeños sistemas multivariable, de dos o tres entradas y salidas. Los algoritmos que se han seleccionado e implementado en el presente proyecto son el Predictive Functional Control, para el primer caso, y el Dynamic Matrix Control para el segundo.

Palabras clave:

- Automatización industrial
- Automatas programables
- Control predictivo basado en modelos
- Predictive Functional Control
- Dynamic Matrix Control

ÍNDICE DE CONTENIDOS

Capítulo 1 .	Introducción y objetivos	1
1.	Motivación	1
2.	Conseil Européen pour la Recherche Nucléaire (CERN)	1
2.1.	Unified Industrial Control System (UNICOS)	1
2.1.1.	UNICOS <i>Continuous Process Control</i> (UCPC).....	3
2.1.2.	UNICOS <i>Application Builder</i> (UAB).....	4
3.	Ampliación de la librería de control de UNICOS.....	6
4.	Caso de aplicación del MPC	6
Capítulo 2 .	Marco Teórico	9
1.	Control Predictivo basado en Modelos (MPC)	9
2.	Formulación del control predictivo basado en modelos.....	10
3.	Elementos del control predictivo basado en modelos.....	12
3.1.	Modelo de predicción	12
3.1.1.	Respuesta impulso	13
3.1.2.	Respuesta salto	14
3.1.3.	Función de transferencia	14
3.1.4.	Modelo en espacio de estados	15
3.1.5.	Otros modelos.....	15
3.2.	Predicción de la salida del proceso: Respuestas libre y forzada	16
3.3.	Función de coste.....	16
3.3.1.	Parámetros de configuración.....	17
3.3.2.	Trayectoria de referencia.....	17
3.3.3.	Restricciones	18
3.4.	Obtención de la ley de control	18
4.	Revisión de algunos algoritmos MPC.....	19
4.1.	<i>Predictive Functional Control</i>	19
4.1.1.	PFC aplicado a un sistema de primer orden	19
4.1.2.	Incorporación de perturbaciones al modelo	21
4.1.1.	Incorporación de retardo al modelo.....	22

4.1.2.	Conclusiones.....	23
4.2.	Dynamic Matrix Control.....	23
4.2.1.	DMC aplicado a un sistema SISO (<i>Single Input Single Output</i>).....	23
4.2.1.1.	Acción de control	25
4.2.1.2.	Trayectoria de referencia	26
4.2.1.3.	Predicción de la salida	26
4.2.2.	Sistema MIMO (<i>Multiple Inputs Multiple Outputs</i>)	27
4.2.3.	Optimizador	28
4.2.3.1.	Programación cuadrática	29
4.2.3.2.	QP con restricciones lineales de igualdad.....	29
4.2.3.3.	QP con restricciones lineales de desigualdad	29
4.2.3.4.	Conjuntos activos	30
4.2.3.5.	Métodos primal-dual.....	30
4.2.3.6.	Método QP de Hildreth	31
4.2.3.7.	Conclusión	32
Capítulo 3 .	Implementación	33
1.	Introducción	33
2.	<i>Predictive Functional Control</i>	33
2.1.	Algoritmo para sistemas de primer orden con retardo.....	33
2.2.	Integración del algoritmo en UNICOS.....	34
2.2.1.	Características del objeto <i>Controller</i>	35
2.2.2.	Modos de operación.....	36
2.2.3.	Estados de trabajo	37
2.2.4.	UNICOS Application Builder.....	38
2.2.5.	WinCC-OA. Interfaz con el usuario	39
3.	<i>Dynamic Matrix Control</i>	42
3.1.	Preparación del problema QP.....	43
3.1.1.	Acción de control.....	44
3.1.2.	Matriz G	44
3.1.3.	Matriz Hessiana	45
3.1.4.	Trayectoria de referencia	45
3.1.5.	Respuesta libre	46

3.1.6.	Vector gradiente	47
3.1.7.	Restricciones	48
3.2.	Relajación de las restricciones	51
3.2.1.	Variables de decisión	52
3.2.2.	Matriz H.....	52
3.2.3.	Gradiente	53
3.2.4.	Restricciones	53
3.3.	Optimizador: QP Hildreth	54
3.4.	Ejecución del controlador DMC.....	55
3.4.1.	Matrices constantes.....	56
3.4.2.	Matrices variables	56
3.5.	Implementación del DMC en el PLC	57
Capítulo 4 . Validación de resultados		61
1.	Introducción.....	61
2.	Predictive Functional Control	61
2.1.	Identificación del sistema.....	62
2.2.	Validación del controlador en EcosimPro	63
2.2.1.	Sintonía del controlador	63
2.2.2.	Validación del controlador sobre sistemas con grandes retardo ...	67
2.3.	Validación del controlador en una planta real.....	68
3.	<i>Dynamic Matrix Control</i>	69
3.1.	Herramienta Integrada para Total Optimización (HITO).....	69
3.2.	Validación del controlador en Matlab.....	70
3.2.1.	Identificación del sistema	71
3.2.2.	Sintonía de parámetros.....	72
3.2.2.1.	Pesos en la función de costes	72
3.2.2.2.	Horizontes del controlador.....	72
3.2.2.3.	Límites de las variables	73
3.2.2.4.	Trayectoria de referencia	73
3.2.2.5.	Número máximo de iteraciones del optimizador.....	74
3.2.3.	Comportamiento del controlador.....	74
3.2.3.1.	Seguimiento de referencia	74

3.2.3.2. Rechazo de perturbaciones.....	76
3.3. Comparación de los resultados obtenidos con HITO	77
3.4. Validación del controlador en el PLC.....	79
3.4.1. Ocupación de la memoria.....	80
3.4.2. Tiempo de ciclo.....	81
3.4.3. Comparación de los resultados obtenidos con el PLC y Matlab	83
Capítulo 5 . Conclusiones y trabajo futuro.....	87
1. Conclusiones.....	87
2. Trabajo futuro	89
Bibliografía.....	91
Anexo 1:	93
Código fuente del PFC: EcosimPro	93
Anexo 2:	99
Código fuente del DMC: Matlab.....	99
Anexo 3:	131
Código fuente del DMC: Step7	131

ÍNDICE DE FIGURAS

Figura 1.1 – Mapa de los aceleradores del CERN.....	2
Figura 1.2 – Arquitectura de un sistema de control aplicada a UNICOS	2
Figura 1.3 – Paquetes que conforman UNICOS	3
Figura 1.4 – Diseño de un lazo de control aplicando UNICOS	4
Figura 1.5 – Funcionamiento de la herramienta UAB.....	5
Figura 1.6 – Esquema de control de un sistema de climatización.....	6
Figura 2.1 – Estrategia del Control Predictivo Basado en Modelos.....	11
Figura 2.2 – Estructura de un lazo de regulación con MPC	11
Figura 2.3 – Respuesta impulso y respuesta salto	14
Figura 2.4 – Respuesta libre y forzada	16
Figura 2.5 – Trayectoria de referencia.....	18
Figura 2.6 – Estrategia del PFC aplicada a un sistema de primer orden.....	20
Figura 2.7 – Acciones y perturbaciones sobre el sistema que se consideran en el DMC.....	23
Figura 3.1 – Estructura genérica de un objeto UNICOS.....	35
Figura 3.2 – Modos de operación y estados de trabajo en el objeto Controller .	36
Figura 3.3 – Hoja de especificaciones diseñada para el PFC.....	38
Figura 3.4 – Panel principal del PFC	39
Figura 3.5 – Identificación del sistema.....	40
Figura 3.6 – Configuración del tiempo de muestreo y el tipo de acción	40
Figura 3.7 – Configuración del valor de la referencia y la variable manipulada...	41
Figura 3.8 – Definición de límites.....	41
Figura 3.9 – Diagrama de flujo del optimizador.....	54
Figura 3.10 – Diagrama de flujo de funcionamiento del DMC.....	55
Figura 4.1 – Lazo de control de presión	61
Figura 4.2 – Identificación del sistema.....	62
Figura 4.3 – Obtención de los parámetros del PID	63
Figura 4.4 – Lazo de control en EcosimPro	63

Figura 4.5 – Comparativa PFC y PID: Caso ideal sin retardo en el sistema	64
Figura 4.6 –Comparativa PFC y PID: Modelo del sistema con ruido y retardo	65
Figura 4.7 – Comparativa PFC y PID: $\lambda = 0.5$ y $N = 10$	66
Figura 4.8 – Comparativa PFC y PID: $\lambda = 0.95$ y $N = 30$	66
Figura 4.9 – Comparativa PFC y PID: $\tau = 50$ y $k = 0.0255$	67
Figura 4.10 – Ensayo PFC: $d = 30s$, $\lambda = 0.80$ y $N = 30$	67
Figura 4.11 – Ensayo sobre planta real	68
Figura 4.12 – Sistema del reactor	70
Figura 4.13 – Identificación de los modelos entrada/salida	71
Figura 4.14 – Identificación de los modelos perturbación/salida	71
Figura 4.15 – Ensayo DMC. Seguimiento de la referencia (Salidas)	75
Figura 4.16 – Ensayo DMC. Seguimiento de la referencia (Acciones de control) .	75
Figura 4.17 – Ensayo DMC. Rechazo de perturbaciones (Salidas)	76
Figura 4.18 – Ensayo DMC. Rechazo de perturbaciones (Acción de control)	77
Figura 4.19 – Ensayo DMC. Rechazo de perturbaciones (Perturbaciones)	77
Figura 4.20 – Comparativa entre controlador en Matlab e HITO (Salidas).....	78
Figura 4.21 – Comparativa entre controlador en Matlab e HITO (Acciones de control)	78
Figura 4.22 – Comparativa entre controlador en Matlab e HITO (Perturbaciones)	79
Figura 4.23 – Ocupación del DMC en la memoria de una CPU 315-2 PN/DP	81
Figura 4.24 – Tiempo mínimo y máximo de ejecución del controlador.....	82

Capítulo 1 . INTRODUCCIÓN Y OBJETIVOS

1. Motivación

El uso del control predictivo es una realidad dentro del mundo de la industria del proceso. Su utilización se ha ido extendiendo en el entorno industrial debido a la sencillez de sus conceptos y a un funcionamiento intuitivo y robusto. Desde hace más de diez años, algunas de las marcas más conocidas de controladores industriales incluyen implementaciones de esta técnica, como son Honeywell, DeltaV de Emerson y PCS7 de Siemens, mientras que muchas otras aún mantienen solamente el PID como única alternativa de control en sus librerías. Este último caso es en el que se incluyen los entornos de desarrollo clásico de STEP7 y TIA Portal de Siemens.

Haciendo un análisis de las alternativas de controladores que han introducido el control predictivo en el mercado, se puede apreciar que son las gamas más altas las que lo ofrecen. Debido al coste de estas aplicaciones, el uso del control predictivo no está más extendido fuera de la industria del proceso y para pequeños sistemas multivariable.

2. Conseil Européen pour la Recherche Nucléaire (CERN)

El CERN, cuyas siglas se corresponden con su nombre en francés “*Conseil Européen pour la Recherche Nucléaire*” es la Organización Europea para la Investigación Nuclear. Se trata del mayor laboratorio de investigación en física de partículas del mundo, situado en la frontera entre Francia y Suiza. En sus instalaciones cuenta con un complejo de aceleradores de partículas entre los que destaca el LHC (*Large Hadron Collider*), un acelerador y colisionador de partículas.

2.1. Unified Industrial Control System (UNICOS)

UNICOS es un *framework* desarrollado por el CERN (*Conseil Européen pour la Recherche Nucléaire*) para el desarrollo de aplicaciones de control industriales. Este sistema comprende las dos capas superiores de un sistema de control clásico: supervisión y control. La propuesta de UNICOS es un método para diseñar y desarrollar aplicaciones de control basadas en el uso de sistemas de control de Siemens y Scheneider principalmente.

Capítulo 1 . Introducción y objetivos

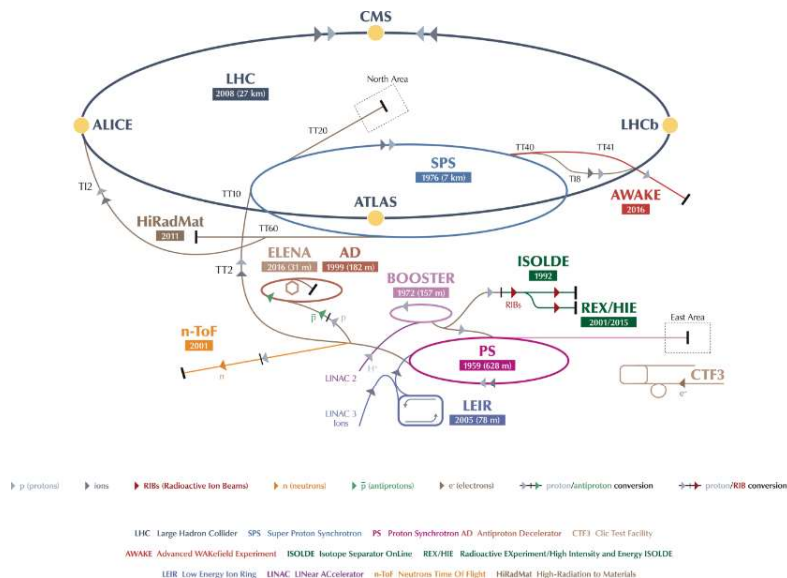


Figura 1.1 – Mapa de los aceleradores del CERN

Como se muestra en la Figura 1.2, UNICOS abarca las capas de supervisión, control y campo, así como las estructuras de comunicaciones necesarias para la interacción entre ellas. El objetivo de UNICOS es estandarizar el desarrollo de aplicaciones de control en el CERN para:

- Hacer hincapié en las buenas prácticas de diseño y operación de las aplicaciones de control de procesos.
- Reducir el coste de la automatización de procesos continuos (por ejemplo, refrigeración, climatización...).
- Optimizar los esfuerzos de ingeniería mediante, por ejemplo, el uso de herramientas de generación automática de código.

La aplicación del sistema UNICOS aporta una gran cantidad de ventajas, tanto a nivel de desarrollado como de operación.



Figura 1.2 – Arquitectura de un sistema de control aplicada a UNICOS

2.1.1. UNICOS Continuous Process Control (UCPC)

UCPC proporciona una metodología, una librería de objetos y una serie de herramientas para el diseño y la implementación de aplicaciones de control industrial, tanto en las capas control como de supervisión. Entre las plataformas de desarrollo disponibles en UCPC se encuentran PLCs (*Programmable Logic Controller*) de Siemens y Schneider a nivel de control y en la capa de supervisión WinCC OA (antes PVSS) y WINCC Flexible.

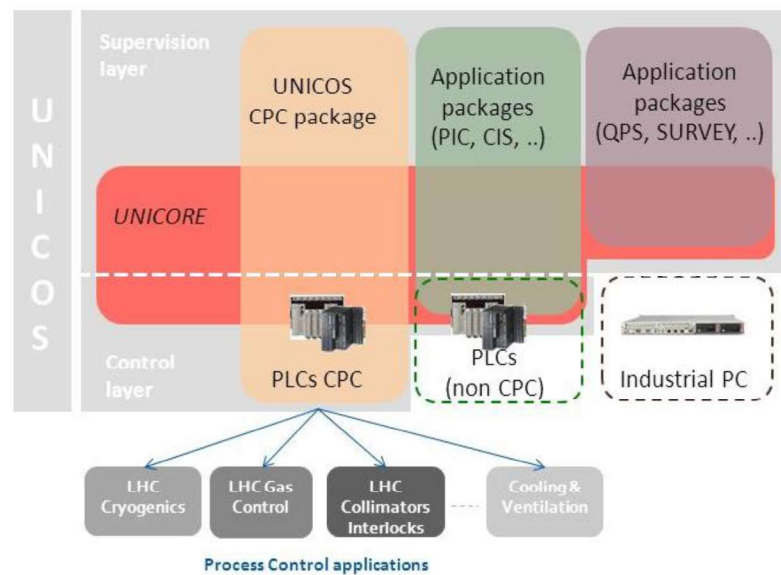


Figura 1.3 – Paquetes que conforman UNICOS

El paquete UNICOS-CPC contiene un conjunto de objetos clasificados por su funcionalidad. Hay cuatro categorías principales de objetos: objetos de E/S, de interfaz, de campo y de control:

○ Objetos de E/S: Entrada/Salida de información. Estos pueden referirse a los PLC de la periferia, los buses de campo o simplemente la memoria interna.

- *Digital Input*
- *Analog Input*
- *Analog Input Real*
- *Digital Output*
- *Analog Output*
- *Analog Output Real*

○ Objetos interfaz: parametrización y el estado (también pueden incluir información de la periferia).

- *Analog Parameter*
- *Digital Parameter*
- *Word Parameter*
- *Analog Status*
- *Word Status*

○ Objetos de campo: Modelo de los equipos físicos de campo (por ejemplo: válvulas, motores,...). Los objetos de campo están siempre conectados a los objetos de E/S.

- Local
- OnOff
- Analog
- Anadig
- AnaDO
- Stepping Motor

○ Objetos de control: las acciones de control lógico proceso de generación de alarmas y enclavamientos y control de retroalimentación. Siempre actúan sobre objetos de campo

- Process Control Object
- Controller
- Digital Alarm
- Analog Alarm

La estructura de un sistema de control en UNICOS está fundamentada en la jerarquización del sistema en base a estos objetos elementales, en los cuales quedan identificados cada uno de los elementos que componen el proceso a controlar. Estos objetos incluyen la forma de interrelacionarse entre sí y, además, los datos relativos a la parte del proceso que controlan.

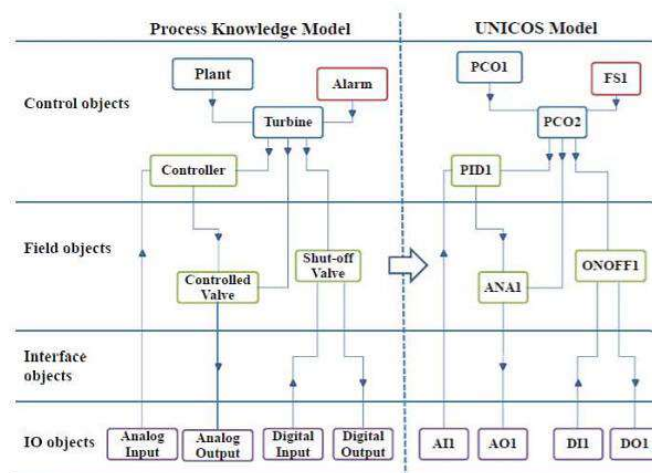


Figura 1.4 – Diseño de un lazo de control aplicando UNICOS

2.1.2. UNICOS Application Builder (UAB)

La base de la filosofía UNICOS de unificación y simplificación en el diseño y desarrollo de aplicaciones CPC se encuentra en el UAB. Esta herramienta es un generador de código que, a partir de una hoja de especificaciones introducida por el usuario, genera la aplicación de control para el PLC y el SCADA (*Supervisory Control And Data Acquisition*).

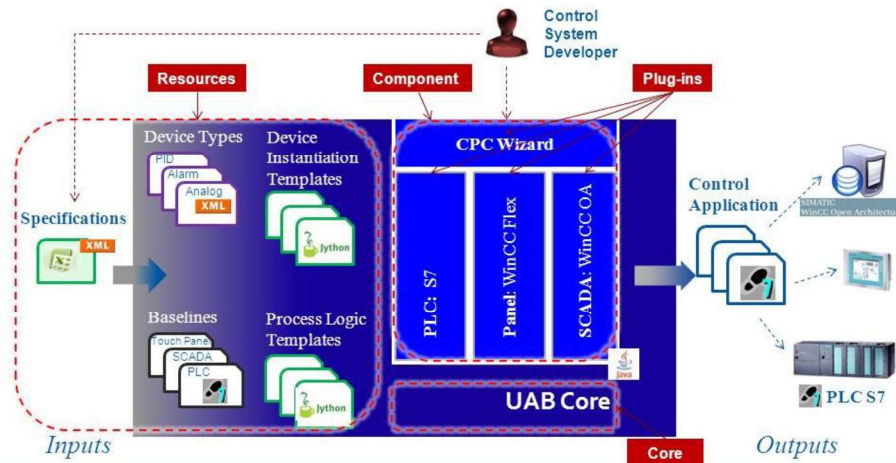


Figura 1.5 – Funcionamiento de la herramienta UAB

La hoja de especificaciones consta de una pestaña dedicada a cada tipo de objeto de la lista anterior. De este modo, una vez identificada la estructura de la planta en objetos elementales de UNICOS, sólo resta parametrizar cada una de dichas variables completando los campos requeridos por cada elemento. Al documento de especificaciones se puede añadir, para cada objeto, un archivo en Python que contiene la lógica específica del objeto en cuestión, como pueden ser por ejemplo los *interlocks*.

Una vez completado este paso, sólo resta ejecutar el asistente UAB. El generador UAB emplea una serie de *plugins* para crear los archivos que después se importarán en el PLC y en el SCADA.

- Generador de instancias S7 (*S7 Instance Code Generator Plugin*): encargado de generar código que contiene las instancias de los objetos para el PLC Siemens, así como las estructuras de comunicación con WinCC-OA.
- Generador de lógica S7 (*S7 Logic Generator Plugin*): encargado de generar el código de lógica para el PLC Siemens, es decir, todas las interconexiones entre los PCOs y los objetos de campo del proyecto a controlar
- Generador de instancias PVSS (*PVSS Instance Generator*): encargado de crear el fichero de importación para el SCADA.

Si después de generar el proyecto se introducen cambios en la lógica de los objetos en el PLC, se debe hacer una ingeniería inversa e incorporar dichos cambios en la hoja de especificaciones, de manera que si se vuelve a generar dicho proyecto no se pierdan las modificaciones realizadas.

3. Ampliación de la librería de control de UNICOS

El objeto *Controller* de la librería de UNICOS, anteriormente mencionado, sólo contiene a día de hoy un único tipo de controlador, el PID. Si bien es cierto que éste puede cubrir satisfactoriamente la mayoría de las necesidades que se encuentran en la industria, algunos lazos de control requieren consideraciones especiales.

El control predictivo es una de las técnicas más populares de control avanzado a la hora de afrontar sistemas con dinámicas complejas en sus respuestas o lazos multivariables con fuertes acoplamientos. Es por ello que se ha elegido este tipo de control a la hora de ampliar la librería de control de UNICOS.

4. Caso de aplicación del MPC

Un claro ejemplo de aplicación para la aplicación del control predictivo dentro y fuera del ámbito industrial son los sistemas de climatización, también llamados HVAC (*Heating Cooling and Ventilation*). El control de estos sistemas suele estar implementado en PLCs pequeños, con poca memoria y capacidad de cálculo, pero que están muy presentes en cualquier entorno y por ello conviene tenerlos en cuenta.

La Figura 1.6 muestra el esquema de control de un sistema real de HVAC en el cual se regula la temperatura y la humedad de una sala actuando sobre la apertura de dos válvulas, una que regula la circulación de agua caliente y otra de agua fría en sendos intercambiadores.

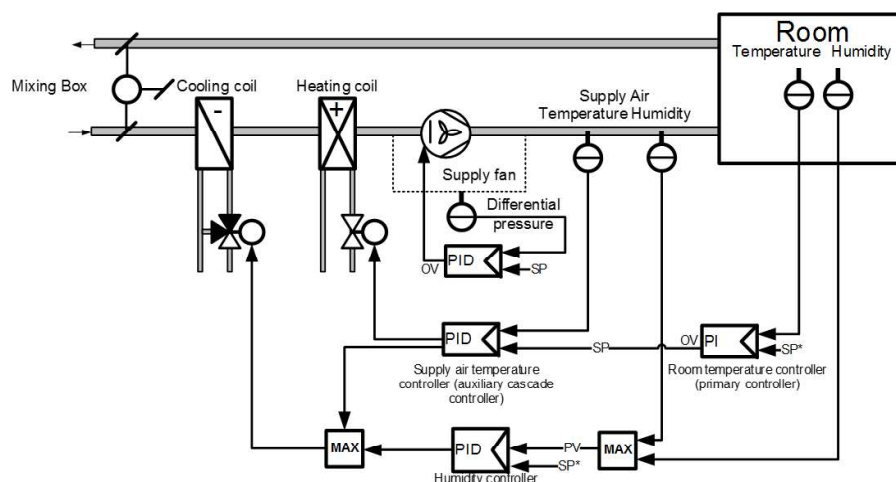


Figura 1.6 – Esquema de control de un sistema de climatización

Se trata, por lo tanto, de un sistema de dos entradas, temperatura y humedad en la sala, dos salidas, las dos válvulas, y dos perturbaciones, temperatura y humedad del aire suministrado en el conducto de aire.

La estructura de control que se aplica se compone de dos reguladores PID en cascada con un *split range* al final para el control de la temperatura que actúa sobre ambas válvulas y un PID para el control de humedad que sólo actúa sobre la válvula de agua fría en el caso de que el controlador de temperatura no esté solicitando un nivel de apertura superior.

Se trata por tanto de un pequeño sistema multivariable (2 entradas x 2 salidas) en el que hay un cierto grado de acoplamiento, puesto que la temperatura hace variar la humedad relativa del aire y para modificar la humedad se actúa sobre la temperatura. Además, una de las variables controladas, la temperatura, tiene prioridad sobre la otra, la humedad. Y por último, existen una serie de restricciones físicas sobre el valor que pueden tomar las variables manipuladas puesto que el rango de apertura y cierre de una válvula debe estar entre el 0 y el 100%.

Como se verá en capítulos posteriores, algunas de las grandes fortalezas del MPC residen en la gestión de este tipo de problemáticas.

Capítulo 2 . MARCO TEÓRICO

1. Control Predictivo basado en Modelos (MPC)

El control predictivo es una estrategia que, idealmente, trata de reflejar el razonamiento humano en tanto en cuanto una persona seleccionará la mejor acción a aplicar, teniendo en cuenta el plazo en que ha de ejecutarla y las limitaciones a las que está sujeto, y modifica estas decisiones en función de la nueva información que recibe.

Bajo la denominación de control predictivo basado en modelos (*Model Based Predictive Control* MBPC o MPC) se incluyen un amplio rango de estrategias de control basadas en la utilización de un modelo explícito del proceso para generar una señal de control mediante la optimización de una función objetivo. Están enmarcados, por tanto, dentro de los controladores óptimos.

Los diferentes métodos de control predictivo comparten una misma estructura en la que se pueden apreciar los siguientes elementos comunes:

- Un *modelo explícito del sistema* que será utilizado para predecir el comportamiento futuro del sistema en determinados instantes de tiempo.
- Una *ley de control* que junto con las restricciones del problema formulará el problema de optimización a resolver.
- Una estrategia de *horizonte deslizando* que implica la resolución del problema de optimización en cada instante de tiempo, siempre teniendo en cuenta el comportamiento futuro del sistema durante un cierto intervalo que se desplaza según avanza el tiempo actual.

El control predictivo presenta una serie de ventajas sobre otros métodos, entre las cuales se pueden enumerar las siguientes (Camacho & Bordons, 2007).

- Es una técnica particularmente atractiva para los operadores que requiere de pocos conocimientos de control porque los conceptos son muy intuitivos y la sintonización relativamente simple.
- Se puede utilizar para controlar una gran cantidad de procesos, desde muy simples hasta con dinámicas complejas, como son los sistemas con grandes tiempos de retardo, inestables, con fase no mínima o multivariables.
- Su carácter predictivo hace que compense intrínsecamente los tiempos muertos.

- Introduce un control anticipativo (*feedforward*) y de forma natural se compensan las perturbaciones medibles.
- La ley de control resultante es, en general, fácilmente implementable.
- Es muy útil cuando se conocen las referencias futuras, como ocurre en el caso de la robótica o los procesos por lotes.
- Permite tratar las restricciones de una forma sistemática y conceptualmente muy simple durante la fase de diseño.

Como es lógico, también presenta ciertos inconvenientes relacionados con el aumento en los cálculos que se requiere en comparación, por ejemplo, con un PID tradicional. En el caso de un proceso rápido, en el que la acción de control a aplicar se debe calcular en cada instante de muestreo, o si se quieren introducir restricciones en la ley de control, la carga computacional aumenta significativamente.

Aunque en el entorno de los ordenadores este problema no es trascendental debido a la gran capacidad de cálculo disponible en este tipo de dispositivos, dentro del mundo industrial la potencialidad de los computadores es más limitada. El principal problema es, sin embargo, la necesidad de un modelo adecuado del proceso a tratar. El diseño del algoritmo está basado en un conocimiento previo del modelo y, obviamente, el resultado obtenido por el controlador estará afectado en gran medida por la exactitud del modelo utilizado.

2. Formulación del control predictivo basado en modelos

La estrategia que sigue el control predictivo basado en modelos se puede expresar de forma genérica como se define en la Figura 2.1. La figura muestra la evolución del sistema hasta el instante actual t y la predicción del comportamiento futuro, así como algunos de los parámetros más relevantes de un MPC, como pueden ser:

- Horizonte de predicción (N): Indica la ventana de tiempo para la cual se calculan las salidas futuras $\hat{y}(t + k|t)$ para cada instante k .
- Horizonte de coincidencia (N_1, N_2): Indica la ventana de tiempo que se considera en el cálculo de la optimización. Se suele fijar un $N_1 \neq 0$, por ejemplo, en aquellos sistemas en que la dinámica incluye un retardo o una respuesta de fase no mínima.
- Horizonte de control (N_u): Indica el número cambios en la acción de control permitidos en un ciclo del controlador.

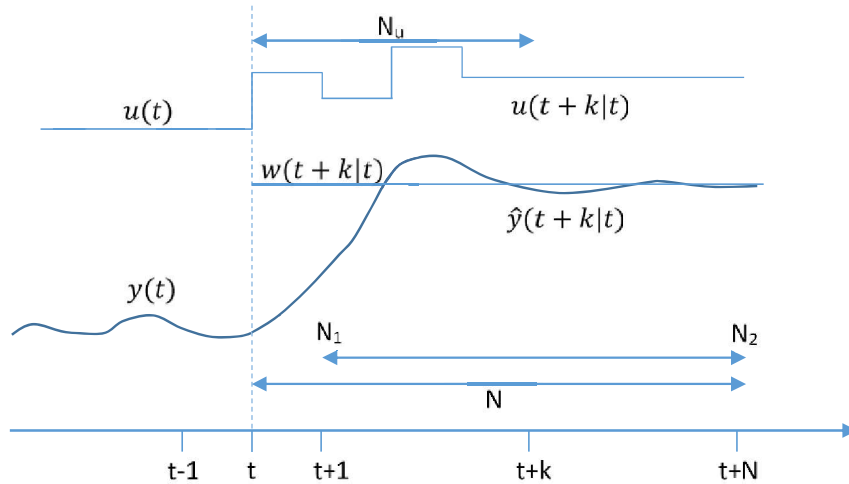


Figura 2.1 – Estrategia del Control Predictivo Basado en Modelos

La predicción de la evolución de cada variable controlada del sistema se realiza empleando un modelo matemático de éste y, basándose en el concepto de horizonte móvil (*receding horizon*), el MPC realiza, en primer lugar, las predicciones requeridas en una ventana temporal finita previamente definida (horizonte de predicción) para, a continuación, llevar a cabo la minimización de la función de coste. Finalmente, se aplica al sistema el primer valor calculado para cada variable controlada y se repite el proceso [Figura 2.2].

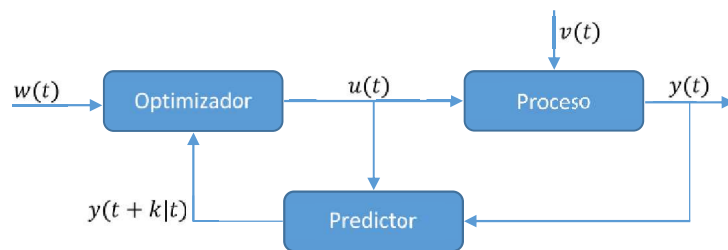


Figura 2.2 – Estructura de un lazo de regulación con MPC

El conjunto de acciones de control obtenidas de la resolución de dicho proceso responden habitualmente al criterio de la minimización del cuadrado de la función de error, es decir, la diferencia entre la salida predicha $\hat{y}(t+k|t)$ respecto de la trayectoria de referencia $w(t+k|t)$. También es habitual incluir en el problema de optimización el esfuerzo de control Δu ponderado por un factor β , resultando la siguiente función de coste [2.1]:

$$\min J = \sum_{j=N_1}^{N_2} [\hat{y}(t+j) - w(t+j)]^2 + \sum_{j=0}^{N_u-1} [\beta \Delta u(t+j)]^2 \quad [2.1]$$

Además a la función de costes se le pueden añadir una serie de restricciones sobre las variables controlada y manipulada [2.2] que delimitan la región factible de la solución del problema de optimización.

$$\begin{aligned}\hat{y}_{max} &\geq \hat{y}(t + j) \geq \hat{y}_{min} \\ u_{max} &\geq u(t + j) \geq u_{min} \\ \Delta u_{max} &\geq \Delta u(t + j) \geq \Delta u_{min}\end{aligned}\tag{2.2}$$

A un nivel más alto que el meramente operativo, el uso de un controlador predictivo permite una optimización económica. Un sistema, normalmente, trabajará en su óptimo económico en un punto cercano a los límites de funcionamiento. La utilización del control predictivo reduce la varianza del sistema, haciendo posible pueda fijar en el proceso un mejor punto de funcionamiento desde este punto de vista.

3. Elementos del control predictivo basado en modelos

Para comprender correctamente el MPC es necesario tener en cuenta una serie de conceptos clave que se analizarán a continuación.

3.1. Modelo de predicción

El modelo de predicción es el resultado de la caracterización de un proceso real, que debe recoger toda la información relevante del comportamiento de un sistema, de forma que permita realizar predicciones que se asemejen lo más posible a la realidad.

Además de caracterizar la relación entre las entradas y las salidas del proceso, el modelo de predicción puede incluir el efecto de las perturbaciones medibles en el sistema. Esto permite que el controlador compense de manera anticipada su efecto sobre las salidas (control *feedforward*).

El modelo seleccionado puede ser lineal o no lineal, continuo o discreto y la elección del modelo será determinante a posteriori para decidir el algoritmo MPC a utilizar (*Predictive Functional Control, Dynamic Matrix Control,...*).

3.1.1. Respuesta impulso

Se denomina respuesta a impulso a la salida del sistema cuando la entrada es la función impulso unitario $\delta(n)$ [2.3]. Su uso práctico está limitado a sistemas asintóticamente estables, pero permite definir dinámicas complejas y no requiere un conocimiento previo del modelo. Si el proceso no cumpliera esa condición de estabilidad el modelo podría definirse pero requeriría de un número infinito de coeficientes.

La relación entre la salida y la entrada se expresa como:

$$y(t) = \sum_{i=1}^{\infty} h_i u(t - i) \quad [2.3]$$

Donde $u(t)$ e $y(t)$ son variaciones sobre un punto de operación.

$$\begin{aligned} y(t) &= Y - Y_0 \\ u(t) &= U - U_0 \end{aligned} \quad [2.4]$$

Teóricamente, la respuesta impulso contiene un número infinito de coeficientes pero, en la práctica, se trunca este valor y se consideran sólo N [2.5], debido a que a partir de un cierto número su aportación a la respuesta del sistema deja de ser significativa [2.5]. Este N es, normalmente, un número entre 30 y 50.

$$y(t) = \sum_{i=1}^N h_i u(t - i) \quad [2.5]$$

Si el sistema a tratar es multivariable, se puede reflejar el efecto de las m diferentes entradas en la salida simplemente sumando la contribución de cada una de ellas sobre ésta [2.6].

$$y_i(t) = \sum_{k=1}^m \sum_{i=1}^N h_i^{kj} u^k(t - i) \quad [2.6]$$

De este modo, la predicción de la salida en el instante $t + k$ resulta como sigue:

$$\hat{y}(t + k|t) = \sum_{i=1}^N h_i u(t + k - i|t) \quad [2.7]$$

3.1.2. Respuesta salto

Esta respuesta se obtiene a partir de la aplicación de un salto de amplitud definida Δu en la entrada del sistema [2.8].

$$y(t) = \sum_{i=1}^{\infty} g_i \Delta u(t - i) \quad [2.8]$$

Si el sistema es asintóticamente estable, tras n periodos de muestreo los coeficientes g_i serán constantes y se puede deducir que:

$$y(t) = \sum_{i=1}^{\infty} g_i \Delta u(t - i) \approx \sum_{i=1}^{\infty} g_i \Delta u(t - i) + g_{n+1} \Delta u(t - (n + 1)) \quad [2.9]$$

El modelo en respuesta salto tiene las mismas ventajas y desventajas que la respuesta impulso puesto que, de hecho, un impulso puede considerarse como la diferencia entre dos saltos del mismo valor con un periodo de muestreo de diferencia [2.10].

$$h_i = g_i - g_{i-1} \quad [2.10]$$

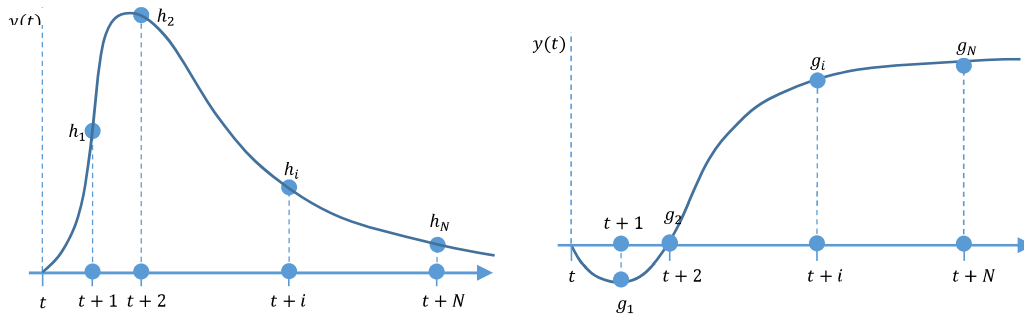


Figura 2.3 – Respuesta impulso y respuesta salto

3.1.3. Función de transferencia

Utilizando el concepto de función de transferencia donde $G = B/A$, la salida viene dada por:

$$y(t) = \frac{A(z^{-1})}{B(z^{-1})} u(t) \quad [2.11]$$

Donde:

$$\begin{aligned} A(z^{-1}) &= 1 + a_1z^{-1} + a_2z^{-2} + \dots + a_nz^{-n} \\ B(z^{-1}) &= b_1z^{-1} + b_2z^{-2} + \dots + b_nz^{-n} \end{aligned} \quad [2.12]$$

De manera que la predicción vendrá dada por:

$$\hat{y}(t+k|t) = \frac{A(z^{-1})}{B(z^{-1})} u(t+k|t) \quad [2.13]$$

Como se puede ver, este tipo de representación requiere de un número mucho menor de parámetros que el modelo en respuesta salto o impulso y además es válido para sistemas inestables, pero es importante tener una idea previa del orden del polinomio que caracterizará al sistema.

3.1.4. Modelo en espacio de estados

Una forma general de representación de espacios de estado de un sistema lineal se escribe de la siguiente forma:

$$\begin{aligned} x(t) &= Ax(t-1) + Bu(t-1) \\ y(t) &= Cx(t) \end{aligned} \quad [2.14]$$

Donde x son las variables de estado y A, B y C las matrices de estado del sistema. Para este modelo la predicción viene dada por:

$$\hat{y}(t+k|t) = C\hat{x}(t+k|t) = C[A^k x(t) + \sum_{i=1}^k A^{i-1} Bu(t+k-i|t)] \quad [2.15]$$

La representación en espacio de estados es válida para sistemas multivariados y permiten, si fuera necesario, analizar la estructura interna del proceso, aunque puede requerir de un observador de estados si éstos no son accesibles. Además, no es posible tener en cuenta los retardos de manera directa.

3.1.5. Otros modelos

En algunas aplicaciones, por ejemplo en casos de sistemas no lineales, se pueden utilizar modelos de redes neuronales o *fuzzy logic* (Zamarreño & Vega, 1999).

3.2. Predicción de la salida del proceso: Respuestas libre y forzada

La salida predicha del sistema se puede expresar como la suma de dos señales, la debida a las acciones de control aplicadas hasta el instante actual, respuesta libre, y la generada a partir de las acciones futuras calculadas por el controlador, respuesta forzada.

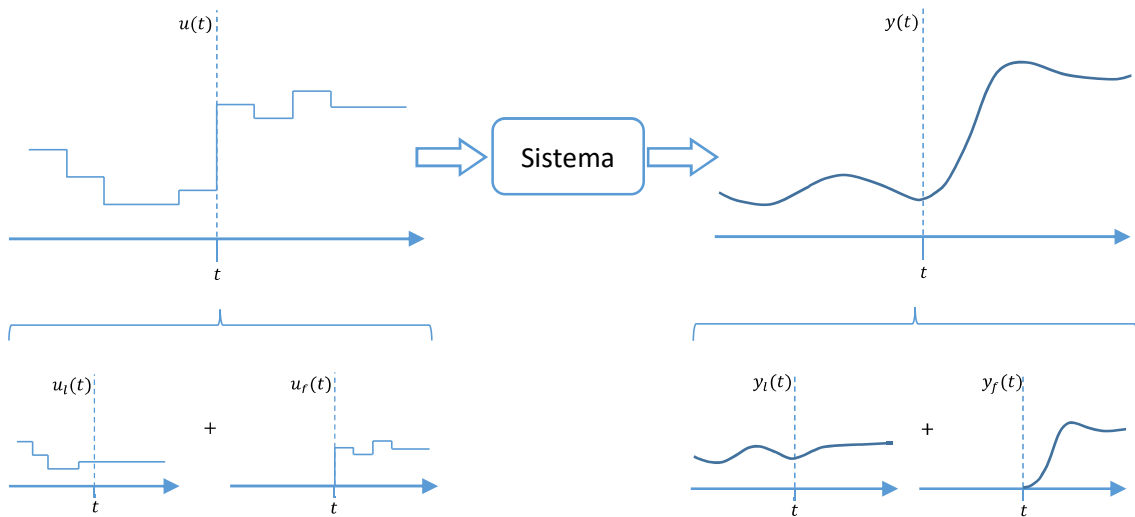


Figura 2.4 – Respuesta libre y forzada

La respuesta predicha se genera con la suma de las acciones de control pasadas, $u_l(t)$, y futuras, $u_f(t)$, como se muestra en la Figura 2.4. La acción de control $u(t)$ se corresponde con:

$$u(t) = u_l(t) + u_f(t) \quad [2.16]$$

Donde $u_l(t)$ y $u_f(t)$ adquieren los siguientes valores en el tiempo:

$$\begin{aligned}
 u_l(t) & \begin{cases} u_l(t-j) = u_l(t-j) \text{ para } j = 1, 2, \dots \\ u_l(t+j) = u_l(t-1) \text{ para } j = 0, 1, 2, \dots \end{cases} \\
 u_f(t) & \begin{cases} u_f(t-j) = 0 \text{ para } j = 1, 2, \dots \\ u_f(t+j) = u(t+j) - u(t-1) \text{ para } j = 0, 1, 2, \dots \end{cases}
 \end{aligned} \quad [2.17]$$

3.3. Función de coste

La función objetivo que se pretende minimizar normalmente responde al criterio minimizar el error de la salida respecto de una determinada referencia, al mismo tiempo que se puede penalizar el esfuerzo de control requerido para ello y respetar el cumplimiento de unas ciertas restricciones, como se indicó al inicio del apartado [2].

La ecuación [2.18] muestra una expresión genérica de la función de coste en la que aparecen el error y el incremento en el valor de la acción de control ponderados con sendos coeficientes $\gamma(j)$ y $\beta(j)$, siempre considerados dentro de sus respectivos horizontes de coincidencia y de control.

En otras variantes, se añade a la expresión directamente el valor de la señal de control o se sustituye el incremento por éste último.

$$\min J = \sum_{j=N_1}^{N_2} \gamma(j) [\hat{y}(t+j) - w(t+j)]^2 + \sum_{j=0}^{N_u-1} [\beta(j) \Delta u(t+j)]^2 \quad [2.18]$$

3.3.1. Parámetros de configuración

Los parámetros N_1 y N_2 definen el comienzo y el final del horizonte de coincidencia y N_u es el horizonte de control, que no tiene por qué coincidir con el horizonte máximo y, de hecho, suele ser significativamente menor. El valor de N_1 representa a partir de cuándo se quiere que la salida siga la referencia, de manera que se eliminan de la función objetivo los errores presentes en los primeros instantes, lo cual es de gran interés en sistemas con retardo o de fase no mínima puesto que suavizará la respuesta del proceso. El parámetro N_2 debe tener un valor suficientemente alto como para asegurar que el sistema alcanzará la referencia en el intervalo.

Los coeficientes $\gamma(j)$ y $\beta(j)$ son, usualmente, valores constantes, rampas o secuencias exponenciales, en las que se la penalización varía con el paso del tiempo. Si la función de penalización es creciente, se consigue un control más suave y con menor esfuerzo. Si es, en cambio, decreciente los primeros errores tienen un mayor peso y el control será más brusco.

3.3.2. Trayectoria de referencia

La función de referencia puede ser, en el caso más sencillo, una constante aunque si se conoce de antemano la forma de la respuesta del sistema se pueden conseguir mejores resultados incluyendo esta dinámica en la función de coste.

Lo más habitual es aplicar un filtro de primer orden al valor de consigna desde el valor actual de la salida, para así lograr una aproximación más suave.

$$\begin{aligned} w(t) &= y(t) \\ w(t+k) &= \frac{1-\alpha}{1-\alpha z^{-1}} r(t+k) \end{aligned} \quad [2.19]$$

El parámetro α que se muestra en la ecuación [2.19] puede tomar un valor entre 0 y 1 de tal modo que, la respuesta será más suave si es cercano a 1 ($w_2(t)$ Figura 2.5) y más brusca si es más cercano a 0 ($w_1(t)$ Figura 2.5).

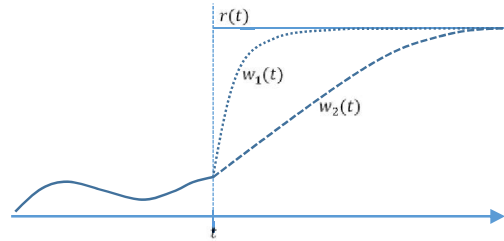


Figura 2.5 – Trayectoria de referencia

3.3.3. Restricciones

Una de las fortalezas del MPC reside en la posibilidad de introducir en el problema de optimización distintos tipos de restricciones. En la práctica, todos los procesos están sujetos a restricciones. Los actuadores tienen un rango de acción limitado y una velocidad de cambio determinada, ya sea por razones constructivas, de seguridad o ambientales, o incluso los propios alcances del sensor pueden causar límites en las variables del proceso tales como niveles en tanques, caudales en tuberías o temperaturas y presiones máximas.

Todo esto hace necesaria la introducción de restricciones en la función a minimizar. Normalmente, se considerarán límites en la amplitud y la velocidad de cambio permitida en la acción de control, así como en el valor de la salida [2.20]. Esto otorga al control predictivo una gran ventaja sobre el control convencional.

$$\begin{aligned}
 \hat{y}_{max} &\geq \hat{y}(t+j) \geq \hat{y}_{min} \\
 u_{max} &\geq u(t+j) \geq u_{min} \\
 \Delta u_{max} &\geq \Delta u(t+j) \geq \Delta u_{min}
 \end{aligned}
 \tag{2.20}$$

3.4. Obtención de la ley de control

La obtención de los valores futuros de la acción de control responde al criterio de la minimización de la función de costes anteriormente descrita. En el caso de una función J cuadrática y si el modelo es lineal se puede obtener una solución analítica, pero en el resto de los casos será necesario utilizar un método iterativo.

El concepto de horizonte de control aparece con la idea de reducir el número de grados de libertad del problema, puesto que de otro modo el número de variables independientes sería de $N_2 - N_1 + 1$. Se considera, por tanto, que pasado un número $N_u < N_2$ de intervalos no hay variación en las señales de control o, dicho de otro modo:

$$\Delta u(t + j - 1) = 0 \quad j > N_u \quad [2.21]$$

4. Revisión de algunos algoritmos MPC

4.1. Predictive Functional Control

El PFC es un controlador desarrollado por Richalet (Richalet, 1992) cuyo objetivo reside en facilitar la implementación del algoritmo del controlador en un dispositivo programable industrial (PLC o DCS) mientras se mantienen las propiedades no lineales del sistema en su modelo interno.

En vez de buscar que la salida del sistema coincida con todos los puntos de la salida estimada en el horizonte de predicción, el PFC hace uso del concepto de puntos de coincidencia, es decir, algunos puntos en el futuro son seleccionados y no sobre todo el horizonte. De esta manera, en la práctica, se puede obtener un rendimiento del sistema similar al que se conseguiría con otros MPC con un algoritmo mucho más simple y válido para procesos rápidos. (Rossiter, 2003)

Aplicando esta estrategia a un sistema de primer orden, la solución al problema de control se puede calcular de forma analítica de forma sencilla utilizando como modelo una función de transferencia continua de primer orden. El método se puede extrapolar fácilmente a sistemas de primer orden con retardo e incluir en la formulación

4.1.1. PFC aplicado a un sistema de primer orden

El *Predictive Functional Control* aplicado a un sistema de primer orden de una entrada y una salida tiene como objetivo que la salida del sistema pasados N periodos de muestro sea la definida por un filtro de primer orden con un polo en λ aplicado sobre la referencia $w(t)$ en un solo cambio de la acción de control.

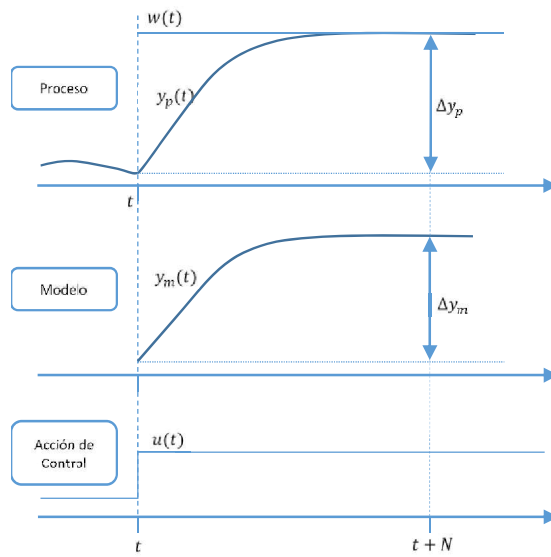


Figura 2.6 – Estrategia del PFC aplicada a un sistema de primer orden

Esto, expresado en los términos del PFC equivale a buscar un punto de coincidencia entre el modelo y la trayectoria de referencia en el instante N .

$$\frac{y_r(k)}{w(k)} = \frac{1 - \lambda}{1 - \lambda z^{-1}} \quad [2.22]$$

Donde, asumiendo que la referencia se mantiene constante durante el horizonte de predicción $w(t) = w(t + 1) = \dots = w(t + N)$ y tomando $y_r(t) = y_p(t)$, se obtiene:

$$\Delta y_r(t + NT_s) = (1 - \lambda^N)(w(t) - y_p(t)) \quad [2.23]$$

Siendo la ecuación diferencial de primer orden que modela el proceso:

$$\tau \frac{dy(t)}{dt} + y(t) = ku(t) \quad [2.24]$$

Su solución explícita es:

$$y_m(t + NT_s) = y_p(t) \cdot e^{-\frac{NT_s}{\tau}} + ku(t) \left(1 - e^{-\frac{NT_s}{\tau}}\right) \quad [2.25]$$

Y por tanto:

$$\Delta y_m(t + NT_s) = \left(e^{-\frac{NT_s}{\tau}} - 1\right) y_p(t) - ku(t) \left(e^{-\frac{NT_s}{\tau}} - 1\right) \quad [2.26]$$

Aplicando la condición de que el modelo y la referencia deben coincidir en el instante N :

$$\Delta y_r(t + NT_s) = \Delta y_m(t + NT_s) \quad [2.27]$$

Se obtiene:

$$(1 - \lambda^N) (w(t) - y_p(t)) = \left(e^{\frac{-N \cdot T_s}{\tau}} - 1 \right) \cdot y_p(t) - k \cdot u(t) \cdot \left(e^{\frac{-N \cdot T_s}{\tau}} - 1 \right) \quad [2.28]$$

De donde se deduce que el valor de la acción de control a aplicar en el siguiente periodo de muestreo:

$$u(t) = \frac{\left(e^{\frac{-N \cdot T_s}{\tau}} - 1 \right) y_p(t) - (1 - \lambda^N) (w(t) - y_p(t))}{k \left(e^{\frac{-N \cdot T_s}{\tau}} - 1 \right)} \quad [2.29]$$

Esto implica en última instancia que se requiere sólo de un cálculo para generar el valor del siguiente cambio en la variable manipulada, reduciendo de forma significativa la carga computacional requerida si se compara con los métodos que utilizan métodos iterativos.

4.1.2. Incorporación de perturbaciones al modelo

Con el fin de aumentar la robustez del algoritmo, se puede incluir en el modelo de predicción una perturbación que, además de integrar las posibles perturbaciones no medibles, haga posible tener en cuenta los errores de modelado del sistema. La salida predicha se calcularía en este caso del siguiente modo:

$$\tau \frac{dy(t)}{dt} + y(t) = ku(t) + v \quad [2.30]$$

Donde:

$$\Delta y_m(t + NT_s) = \left(e^{\frac{-N \cdot T_s}{\tau}} - 1 \right) y_p(t) - ku(t) \left(e^{\frac{-N \cdot T_s}{\tau}} - 1 \right) - v \left(e^{\frac{-N \cdot T_s}{\tau}} - 1 \right) \quad [2.31]$$

Como se puede ver en la ecuación [2.30], se considera que la perturbación es constante durante todo el horizonte de predicción y su valor se calcula como la diferencia entre la salida medida del proceso y la estimación realizada a partir del modelo en el instante $t - T_s$.

$$\hat{v} = \frac{y_p(t) - y_p(t - T_s)e^{-\frac{T_s}{\tau}} - ku(t - T_s) \left(1 - e^{-\frac{T_s}{\tau}}\right)}{\left(1 - e^{-\frac{T_s}{\tau}}\right)} \quad [2.32]$$

Del mismo modo que en el caso anterior, igualando la salida del proceso y la del modelo en el punto de coincidencia se obtiene la acción de control a aplicar:

$$u(t) = \frac{\left(e^{-\frac{NT_s}{\tau}} - 1\right) (y_p(t) - \hat{v}) - (1 - \lambda^N) (w(t) - y_p(t))}{k \left(e^{-\frac{NT_s}{\tau}} - 1\right)} \quad [2.33]$$

4.1.1. Incorporación de retardo al modelo

Considerando un modelo de primer orden con retardo de la forma:

$$\tau \frac{dy(t)}{dt} + y(t) = ku(t - d) + v \quad [2.34]$$

La función de referencia pasa a ser la siguiente:

$$d = D \cdot T_s$$

$$\Delta y_p(t + NT_s) = (1 - \lambda^{N-D}) (w(t) - y_p(t)) \quad [2.35]$$

La solución explícita de la ecuación [2.36] para $N > D$ será:

$$y_m(t + NT_s) = y_p(t) \cdot e^{-\frac{NT_s}{\tau}} - ku(t) \left(e^{-\frac{(N-D) \cdot T_s}{\tau}} - 1\right) - v \left(e^{-\frac{N \cdot T_s}{\tau}} - 1\right) + k \cdot e^{-\frac{NT_s}{\tau}} \left(e^{\frac{T_s}{\tau}} - 1\right) \sum_{m=t}^{t-T_s(D-1)} \left[u(m - T_s D) e^{\frac{(m-t)T_s}{\tau}} \right] \quad [2.36]$$

Si, como en los casos anteriores, se iguala $\Delta y_p = \Delta y_m$ se obtiene el valor de la acción de control:

$$u(t) = \frac{\left(1 - e^{-\frac{NT_s}{\tau}}\right) (y_p(t) - \hat{v}) + (1 - \lambda^{N-D}) (w(t) - y_p(t))}{k \left(1 - e^{-\frac{(N-D)T_s}{\tau}}\right)} + \frac{k \cdot e^{-\frac{NT_s}{\tau}} \left(e^{\frac{T_s}{\tau}} - 1\right) \sum_{m=t}^{t-T_s(D-1)} \left[u(m - T_s D) e^{\frac{(m-t)T_s}{\tau}} \right]}{k \left(1 - e^{-\frac{(N-D)T_s}{\tau}}\right)} \quad [2.37]$$

Donde la estimación de la perturbación se calcula como:

$$\hat{v} = \frac{y_p(t) - y_p(t - T_s)e^{-\frac{T_s}{\tau}} - ku(t - (D + 1)T_s) \left(1 - e^{-\frac{T_s}{\tau}}\right)}{\left(1 - e^{-\frac{T_s}{\tau}}\right)} \quad [2.38]$$

Se puede ver que aunque la complejidad de la función que genera la acción de control va aumentando, continúa siendo un solo cálculo por periodo de muestreo.

4.1.2. Conclusiones

El PFC no es un algoritmo destinado al control multivariable, que es por otra parte una de las grandes fortalezas del MPC, aunque cuenta con un gran atractivo para la industria debido a su simplicidad (Rossiter, 2003).

4.2. Dynamic Matrix Control

El *Dynamic Matrix Control* o Control de Matriz Dinámica es un método desarrollado por Cutler y Ramaker en 1980. El DMC utiliza como modelo del proceso la respuesta escalón y es aplicable a procesos multivariables siempre que sean asintóticamente estables y sin integradores (Prada, Serrano, & Vega, A comparative study of GPC and DMC controllers, 1994).

Como se ha dicho anteriormente, este MPC es aplicable tanto para sistemas SISO como MIMO, de manera que en este apartado se tratará en primer lugar el método aplicado a un sistema de una entrada y una salida para, a continuación, extenderlo al caso multivariable.

4.2.1. DMC aplicado a un sistema SISO (*Single Input Single Output*)

El primer paso es definir la formulación del algoritmo del DMC para un sistema de una entrada $u(t)$ y una salida $y(t)$ incluyendo el efecto de una perturbación medible $v(t)$ y de otras no medibles $n(t)$.

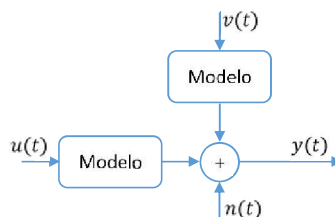


Figura 2.7 – Acciones y perturbaciones sobre el sistema que se consideran en el DMC

Donde la salida predicha del sistema se puede expresar en función de los modelos en respuesta salto de las entradas, definido por los coeficientes g_i , y de las perturbaciones medibles, determinado por los coeficientes d_i .

$$\hat{y}(t) = \sum_{i=1}^{\infty} g_i \Delta u(t-i) + \sum_{i=1}^{\infty} d_i \Delta v(t-i) + n(t) \quad [2.39]$$

En la ecuación de la predicción de la salida del sistema [2.40] se pueden diferenciar los valores pasados [$i = 1, t$] y futuros [$i = k + 1, N$] que conforman la salida predicha.

$$\begin{aligned} \hat{y}(t+j) = & \sum_{i=1}^j g_i \Delta u(t+j-i) + \sum_{i=j+1}^{\infty} g_i \Delta u(t+j-i) + \\ & \sum_{i=1}^j d_i \Delta v(t+j-i) + \sum_{i=j+1}^{\infty} d_i \Delta v(t+j-i) + n(t+j) \end{aligned} \quad [2.40]$$

Donde $n(t)$ es el valor de la perturbación no medible, de valor igual a la diferencia entre el valor medido y el calculado mediante el modelo en el instante t . Para el cálculo de la salida predicha, se hace la hipótesis de que este valor se mantiene constante durante el horizonte de predicción [2.41].

$$n(t+j) = n(t) = y_p(t) - \sum_{i=1}^{\infty} g_i \Delta u(t-i) - \sum_{i=1}^{\infty} d_i \Delta v(t-i) \quad [2.41]$$

Sustituyendo en la expresión [2.40] $n(t+j)$ por su definición [2.41] se obtiene:

$$\begin{aligned} \hat{y}(t+j) = & \sum_{i=1}^j g_i \Delta u(t+j-i) + \sum_{i=j+1}^{\infty} g_i \Delta u(t+j-i) + \\ & \sum_{i=1}^j d_i \Delta v(t+j-i) + \sum_{i=j+1}^{\infty} d_i \Delta v(t+j-i) + \\ & y_p - \sum_{i=1}^{\infty} g_i \Delta u(t-i) - \sum_{i=1}^{\infty} d_i \Delta v(t-i) \end{aligned} \quad [2.42]$$

Agrupando en la ecuación anterior los términos que sólo dependen de las acciones de control pasadas del sistema y aceptando la hipótesis de considerar el valor de la perturbación medible futura constante y de valor igual al último registrado $\Delta v(t+j) = \Delta v(t)$, se obtiene la expresión de la respuesta libre del sistema:

$$l(t+j) = y_p(t) + \sum_{i=j+1}^{\infty} g_i \Delta u(t+j-i) - \sum_{i=1}^{\infty} g_i \Delta u(t-i) + \sum_{i=1}^j d_i \Delta v(t+j-i) + \sum_{i=j+1}^{\infty} d_i \Delta v(t+j-i) - \sum_{i=1}^{\infty} d_i \Delta v(t-i) \quad [2.43]$$

Como se habló en el apartado 3.1.2 al tratar la respuesta salto, si el sistema es estable llega un momento en que $g_i - g_{i-1} = 0$, de manera, agrupando términos, resulta:

$$l(t+j) = y_p(t) + \sum_{i=1}^N (g_{j+i} - g_i) \Delta u(t-i) + \sum_{i=1}^N (d_{j+i} - d_i) \Delta v(t-i) + \sum_{i=1}^j d_i \Delta v(t+j-i) \quad [2.44]$$

La función de coste utilizada en el DMC es la estándar de los MPC que se mencionó en apartados anteriores. A continuación se explicará cómo se definirán en este método cada uno de los términos de la función objetivo a optimizar.

$$J = \sum_{j=N_1}^{N_2} [\hat{y}(t+j) - w(t+j)]^2 + \sum_{j=0}^{N_u-1} [\beta \Delta u(t+j)]^2$$

Sujeto a: [2.45]

$$\begin{aligned} \hat{y}_{max} &\geq \hat{y}(t+j) \geq \hat{y}_{min} \\ u_{max} &\geq u(t+j) \geq u_{min} \\ \Delta u_{max} &\geq \Delta u(t+j) \geq \Delta u_{min} \end{aligned}$$

4.2.1.1. Acción de control

El vector $\Delta \mathbf{u}(t)$ de tamaño $N_u - 1$ está formado por las acciones de control futuras que se obtendrán con la resolución del problema de optimización. El peso que se otorga a este término viene ponderado por el factor β .

4.2.1.2. Trayectoria de referencia

El vector $\mathbf{w}(t)$ de tamaño $N_2 - N_1 + 1$ contiene la trayectoria de referencia deseada para el sistema. Puede ser un valor constante o se puede aplicar un filtro de primer orden si se desea suavizar la respuesta.

4.2.1.3. Predicción de la salida

La salida predicha se define como la suma de la respuesta libre y la respuesta forzada. Expresando el cálculo de la respuesta forzada en forma matricial, la predicción de la salida resulta:

$$\hat{\mathbf{y}}(t + j) = \mathbf{G}\Delta\mathbf{u}(t + j) + \mathbf{l}(t + j) \quad [2.46]$$

Donde \mathbf{G} es una matriz que contiene los coeficientes de la respuesta salto del sistema:

$$\mathbf{G} = \begin{bmatrix} g_{N_1} & \cdots & g_2 & g_1 & 0 & \cdots & 0 \\ g_{N_1+1} & g_{N_1} & \cdots & g_2 & g_1 & \cdots & 0 \\ \cdots & \cdots & \cdots & \cdots & \cdots & \cdots & \cdots \\ \cdots & \cdots & \cdots & \cdots & \cdots & \cdots & \cdots \\ g_{N_2} & \cdots & \cdots & \cdots & \cdots & \cdots & g_{N_2-N_u+1} \end{bmatrix}$$

Y $\mathbf{l}(t)$ el vector de tamaño $N_2 - N_1 + 1$ que contiene las respuestas libres obtenidas hasta el momento actual.

Teniendo en cuenta estas definiciones, la función objetivo queda reformulada, como se muestra en la ecuación [2.48], con la forma de un problema de optimización cuadrática [2.47].

$$\min x = \frac{1}{2} \mathbf{x}^T \mathbf{H} \mathbf{x} + \mathbf{c}^T \mathbf{x} \quad [2.47]$$

$$\min J = \Delta\mathbf{u}^T(t) [\mathbf{G}^T \mathbf{G} + \beta \mathbf{I}] \Delta\mathbf{u}(t) - 2\mathbf{e}_0^T \mathbf{G} \Delta\mathbf{u}(t) + \mathbf{e}_0^T \mathbf{e}_0 \quad [2.48]$$

Donde \mathbf{e}_0 es un vector de tamaño $N_2 - N_1 + 1$ que contiene la diferencia entre la referencia y la respuesta libre.

$$\mathbf{e}_0^T = [w(t + N_1) - l(t + N_1) \quad \dots \quad w(t + N_2) - l(t + N_2)]$$

En el caso de que no se impongan restricciones en las variables del proceso, los movimientos de control se pueden calcular derivando la función de coste y el problema tiene solución explícita:

$$\frac{\partial J}{\partial \Delta \mathbf{u}} = 0 \rightarrow 2\mathbf{G}^T[\mathbf{e}_0 - \mathbf{G}\Delta \mathbf{u}] + 2\beta\Delta \mathbf{u} \quad [2.49]$$

$$\Delta \mathbf{u}(t) = [\mathbf{G}^T \mathbf{G} + \beta \mathbf{I}]^{-1} \mathbf{G}^T (\mathbf{w} - \mathbf{l})$$

Si, en caso contrario, se quieren aplicar restricciones sobre el sistema [2.20] será necesario recurrir al cálculo numérico para obtener la solución del problema. Aunque computacionalmente la resolución es más costosa, permite obtener de manera exacta la solución buscada aunque es importante tener en cuenta los posibles problemas de factibilidad.

4.2.2. Sistema MIMO (*Multiple Inputs Multiple Outputs*)

La solución del problema aplicado a un sistema multivariable se puede considerar una extensión del caso anterior. Si se considera, por ejemplo, un sistema de dos entradas, tres salidas y una perturbación medible, se obtendría el siguiente modelo del sistema:

$$\begin{aligned} y_1(t) &= \sum_{i=1}^{\infty} g_{11i} \Delta u_1(t-i) + \sum_{i=1}^{\infty} g_{12i} \Delta u_2(t-i) + \sum_{i=1}^{\infty} d_i \Delta v(t-i) + n_1(t) \\ y_2(t) &= \sum_{i=1}^{\infty} g_{21i} \Delta u_1(t-i) + \sum_{i=1}^{\infty} g_{22i} \Delta u_2(t-i) + \sum_{i=1}^{\infty} d_i \Delta v(t-i) + n_2(t) \\ y_3(t) &= \sum_{i=1}^{\infty} g_{31i} \Delta u_1(t-i) + \sum_{i=1}^{\infty} g_{32i} \Delta u_2(t-i) + \sum_{i=1}^{\infty} d_i \Delta v(t-i) + n_3(t) \end{aligned} \quad [2.50]$$

Donde las predicciones de las salidas serían:

$$\begin{aligned} \hat{y}_1(t+j) &= \sum_{i=1}^j g_{11i} \Delta u(t+j-i) + \sum_{i=1}^j d_{12i} \Delta v(t+j-i) + l_1(t) \\ \hat{y}_2(t+j) &= \sum_{i=1}^j g_{21i} \Delta u(t+j-i) + \sum_{i=1}^j d_{22i} \Delta v(t+j-i) + l_2(t) \\ \hat{y}_3(t+j) &= \sum_{i=1}^j g_{31i} \Delta u(t+j-i) + \sum_{i=1}^j d_{32i} \Delta v(t+j-i) + l_3(t) \end{aligned} \quad [2.51]$$

La función de coste en este caso incluye un nuevo parámetro de configuración γ cuya función es ponderar el peso de las salidas o, dicho de otro modo, para penalizar más fuertemente el error de unas salidas respecto a las demás.

$$\begin{aligned}
 J = & \sum_{j=N_1}^{N_2} \gamma_1 [\hat{y}_1(t+j) - w_1(t+j)]^2 + \\
 & \sum_{j=N_1}^{N_2} \gamma_2 [\hat{y}_2(t+j) - w_2(t+j)]^2 + \sum_{j=N_1}^{N_2} \gamma_3 [\hat{y}_3(t+j) - w_3(t+j)]^2 + \\
 & \sum_{j=0}^{N_{u-1}} [\beta_1 \Delta u_1(t+j)]^2 + \sum_{j=0}^{N_{u-1}} [\beta_2 \Delta u_2(t+j)]^2
 \end{aligned} \quad [2.52]$$

Extrapolando esta formulación para un caso genérico de N salidas y M entradas, se obtiene la función de costes que se muestra en la ecuación [2.53]

$$J = \sum_{k=1}^N \sum_{j=N_{1k}}^{N_{2k}} \gamma_k [\hat{y}_k(t+j) - w_k(t+j)]^2 + \sum_{k=1}^M \sum_{j=0}^{N_{u_k}-1} \beta_k [\Delta u_k(t+j)]^2 \quad [2.53]$$

Que expresada en forma matricial resulta:

$$\min J = \Delta \mathbf{u}^T(t) \overbrace{[\mathbf{G}^T \boldsymbol{\gamma} \mathbf{G} + \boldsymbol{\beta}]}^{\mathbf{H}} \Delta \mathbf{u}(t) - 2 \overbrace{(\mathbf{G}^T \boldsymbol{\gamma} \mathbf{e}_0)^T}^{\mathbf{c}^T} \Delta \mathbf{u}(t) + \overbrace{\mathbf{e}_0^T \mathbf{e}_0}^{cte} \quad [2.54]$$

4.2.3. Optimizador

El controlador DMC requiere de un algoritmo QP (*Quadratic Programming*) para minimizar la función de costes descrita y así obtener las acciones de control que se deben aplicar. El método de optimización seleccionado debe ser determinista y no heurístico, puesto que en el caso de que en un ciclo del controlador no se logre la convergencia a la solución óptima, el algoritmo debe asegurar que al menos la solución sea cercana a él y esto no es posible con métodos heurísticos.

El algoritmo seleccionado es el QP de Hildreth, puesto que es un método que cumple las condiciones descritas en el párrafo anterior y su implementación factible en un PLC (Wang, 2009).

4.2.3.1. Programación cuadrática

Si se expresa la función objetivo J y las restricciones de un problema de programación cuadrática como:

$$J = \frac{1}{2} \mathbf{x}^T \mathbf{H} \mathbf{x} + \mathbf{x}^T \mathbf{c} \quad [2.55]$$

$$\mathbf{A} \mathbf{x} \leq \mathbf{b}$$

Donde \mathbf{H} , \mathbf{c} , \mathbf{A} y \mathbf{b} son matrices y vectores compatibles en el problema de programación cuadrática, se puede asumir sin pérdida de generalidad que \mathbf{H} es simétrica definida positiva.

4.2.3.2. QP con restricciones lineales de igualdad

Para problemas de optimización con restricciones de igualdad, el método de los multiplicadores de Lagrange proporciona condiciones necesarias que deben cumplirse en el óptimo. Se trata convertir el problema con restricciones en otro sin ellas ampliado en m variables λ_j (los multiplicadores de Lagrange), tal que su solución coincida en las variables x con el primitivo y cumpla las restricciones.

$$J = \frac{1}{2} \mathbf{x}^T \mathbf{H} \mathbf{x} + \mathbf{x}^T \mathbf{c} + \boldsymbol{\lambda}^T (\mathbf{A} \mathbf{x} - \mathbf{b}) \quad [2.56]$$

Para todos los x que cumplan las restricciones se verifica que:

$$\min_{\mathbf{x}, \boldsymbol{\lambda}} J(\mathbf{x}, \boldsymbol{\lambda}) = \min_{\mathbf{x}} J(\mathbf{x}) \quad [2.57]$$

4.2.3.3. QP con restricciones lineales de desigualdad

En la minimización con restricciones de desigualdad, el número de restricciones podría ser mayor que el número de variables de decisión. Las restricciones de desigualdad $\mathbf{A} \mathbf{x} \leq \mathbf{b}$ pueden comprender restricciones activas e inactivas. Se dice que una desigualdad $\mathbf{A}_i \mathbf{x} \leq b_i$ está activa si $\mathbf{A}_i \mathbf{x} = b_i$ y inactiva si $\mathbf{A}_i \mathbf{x} < b_i$, donde \mathbf{A}_i junto con b_i forman la i -ésima restricción de desigualdad y son la i -ésima fila de la matriz \mathbf{A} y el i -ésimo elemento del vector \mathbf{b} , respectivamente.

4.2.3.4. Conjuntos activos

La idea de los métodos de conjuntos activos es definir en cada paso de un algoritmo un conjunto de restricciones que debe ser tratado como el conjunto activo. El algoritmo entonces procede a moverse sobre la superficie definida por el conjunto activo de restricciones a un punto mejorado.

En cada paso del método de conjuntos activos, se resuelve un problema de restricción de igualdad. Si todos los multiplicadores de Lagrange $\lambda_i \geq 0$, entonces el punto es una solución local al problema original. Si, por otra parte, existe un $\lambda_i < 0$, entonces el valor objetivo de la función puede disminuirse relajando la restricción i (es decir, suprimiéndola de la ecuación de restricciones).

Durante el curso de la minimización, es necesario supervisar los valores de las otras restricciones para asegurarse de que no son violadas, ya que todos los puntos definidos por el algoritmo deben ser factibles. A menudo sucede que mientras se mueve sobre la superficie activa, se encuentra un nuevo límite de una restricción. Es necesario añadir esta restricción al conjunto activo para luego proceder a trabajar sobre el nuevo conjunto activo.

4.2.3.5. Métodos primal-dual

La familia de métodos activos pertenece al grupo de métodos primarios, donde las soluciones se basan en las variables de decisión (también llamadas variables primitivas en la literatura). En los métodos de conjuntos activos, las restricciones activas deben identificarse junto con las variables de decisión óptimas. Si hay muchas restricciones, la carga computacional es bastante grande. Un método dual puede ser utilizado sistemáticamente para identificar las restricciones que no están activas, para luego poder eliminarlas del problema. Los multiplicadores de Lagrange se denominan variables duales en la literatura de optimización. Este método dará lugar a procedimientos de programación muy sencillos para encontrar soluciones óptimas de problemas de minimización restringidos.

El problema dual al problema primal original se deriva como sigue. Suponiendo viabilidad (es decir, hay una x tal que $Ax < b$), el problema primario es equivalente a:

$$\max_{\lambda \geq 0} \min_x \left[\frac{1}{2} x^T H x + x^T c + \lambda^T (Ax - b) \right] \quad [2.58]$$

Donde la solución de la minimización de la función sobre x sin restricciones viene dada por:

$$\mathbf{x} = -\mathbf{H}^{-1}(\mathbf{c} + \mathbf{A}^T \boldsymbol{\lambda}) \quad [2.59]$$

4.2.3.6. Método QP de Hildreth

Un algoritmo sencillo, llamado procedimiento de programación cuadrática de Hildreth (Luenberger, 1969, Wismer y Chattergy, 1978), fue propuesto para resolver este problema dual. En este algoritmo, los vectores de dirección se seleccionaron para ser iguales a los vectores base, $\mathbf{e}_i = [0 \ 0 \ \dots \ 1 \ \dots \ 0 \ 0]^T$, de manera que el vector $\boldsymbol{\lambda}$ varía sólo un componente cada vez. En un paso, habiendo obtenido un $\boldsymbol{\lambda} \geq 0$, el algoritmo se centra en un solo componente λ_i . La función objetivo puede considerarse como una función cuadrática en este único componente. Se ajusta λ_i de manera que minimice la función objetivo. Si se requiere $\lambda_i < 0$, se establece $\lambda_i = 0$, por lo que, en cualquier caso, la función objetivo disminuye. Luego, se considera el siguiente componente λ_{i+1} . Considerando que un ciclo completo a través de los componentes es una iteración en la que el vector pasa desde $\boldsymbol{\lambda}^m$ a $\boldsymbol{\lambda}^{m+1}$, el método puede expresarse explícitamente como:

$$\lambda^{m+1} = \max(0, w_i^{m+1}) \quad [2.60]$$

Con:

$$w_i^{m+1} = -\frac{1}{p_{ij}} \left[d_i + \sum_{j=1}^{i-1} p_{ij} \lambda_j^{m+1} + \sum_{j=i+1}^n p_{ij} \lambda_j^m \right] \quad [2.61]$$

Donde el escalar p_{ij} es el ij -ésimo elemento de la matriz \mathbf{P} y d_{ij} es el i -ésimo elemento del vector \mathbf{d} .

$$\mathbf{P} = \mathbf{A}\mathbf{H}^{-1}\mathbf{A}^T \quad [2.62]$$

$$\mathbf{d} = \mathbf{b} + \mathbf{A}\mathbf{H}^{-1}\mathbf{c}$$

Nótese que en la ecuación anterior se incluyen dos conjuntos de valores $\boldsymbol{\lambda}$ en el cálculo, por un lado los $\boldsymbol{\lambda}^m$ y por otro los $\boldsymbol{\lambda}^{m+1}$ ya actualizados.

Como el vector $\boldsymbol{\lambda}^*$ al que se ha convergido contiene tanto ceros como valores positivos para los multiplicadores de Lagrange, se obtiene:

$$\mathbf{x} = -\mathbf{H}^{-1}(\mathbf{c} + \mathbf{A}^T \boldsymbol{\lambda}^*) \quad [2.63]$$

4.2.3.7. Conclusión

Hay algunos comentarios que se pueden hacer sobre el funcionamiento del método. En primer lugar, el algoritmo de programación cuadrática de Hildreth se basa en una búsqueda elemento por elemento, por lo tanto, no requiere ninguna inversión de matriz. Como resultado, si las restricciones activas son linealmente independientes y su número es menor o igual al número de variables de decisión, entonces las variables duales convergerán. Sin embargo, si uno o ambos de estos requisitos son violados, entonces las variables duales no convergerán a un conjunto de valores fijos. La búsqueda terminará cuando el contador de iteraciones alcance su valor máximo. Como no hay inversión de matrices, el cálculo continuará sin interrupción. En el caso de que se alcance el número máximo de iteraciones debido a una situación de conflicto con las restricciones, el algoritmo dará una solución comprometida y casi óptima.

Esta es una de las principales ventajas de utilizar este enfoque en aplicaciones en tiempo real, ya que la capacidad del algoritmo para recuperarse automáticamente de un problema restringido mal condicionado es primordial para la seguridad del funcionamiento de la planta.

Capítulo 3 . IMPLEMENTACIÓN

1. Introducción

Los algoritmos MPC que se ha decidido implementar tienen estructuras y características muy distintas, por lo que el recorrido que se ha seguido para la implementación de cada uno de ellos también lo es.

El *Predictive Functional Control*, en primer lugar, ha sido diseñado y validado en el entorno de EcosimPro para después ser implementado en el PLC incluyéndolo en la librería de UNICOS como alternativa al PID dentro del objeto *Controller*.

En el caso del *Dynamic Matrix Control* el primer paso será implementar el controlador en Matlab, puesto que en este entorno facilita el trabajar con matrices. Además, trabajando en Matlab es posible contrastar el funcionamiento del optimizador propuesto con otros resolvedores. El siguiente paso es la implementación del controlador en el PLC y realizar las verificaciones necesarias sobre su funcionamiento antes de plantear en incluirlo en UNICOS.

2. Predictive Functional Control

La implementación del PFC se realizará, en primer lugar, sobre EcosimPro y a continuación en el PLC. La ejecución del PFC no implica un gran coste computacional ni tampoco ocupa demasiado espacio en memoria, de manera que no es necesario tener consideraciones especiales a la hora implementarlo en el PLC.

2.1. Algoritmo para sistemas de primer orden con retardo

En el Capítulo 2 se demostró cómo, partiendo de la ecuación diferencial que define un sistema de primer orden con retardo, se puede obtener el valor de la acción de control necesaria para conseguir que la función coincida con la trayectoria de referencia en el instante N .

En la implementación del controlador en EcosimPro se incluirán las fórmulas descritas en las ecuaciones [3.1], que realiza el cálculo de la acción de control, y [3.2], que describe el valor de la perturbación en cada instante y que puede llegar a ser muy ruidosa en aplicación sobre un sistema real.

$$u(t) = \frac{\left(e^{\frac{-NT_s}{\tau}} - 1\right) (y_p(t) - \hat{v}) - (1 - \lambda^{N-D}) (w(t) - y_p(t))}{k \left(e^{\frac{-(N-D)T_s}{\tau}} - 1\right)} \quad [3.1]$$

$$+ \frac{k \cdot e^{\frac{-NT_s}{\tau}} \left(e^{\frac{T_s}{\tau}} - 1\right) \sum_{m=t}^{t-T_s(D-1)} \left[u(m - T_s D) e^{\frac{(m-t)T_s}{\tau}}\right]}{k \left(e^{\frac{-(N-D)T_s}{\tau}} - 1\right)}$$

$$\hat{v} = \frac{y_p(t) - y_p(t - T_s) e^{\frac{-T_s}{\tau}} - ku(t - (D + 1)T_s) \left(1 - e^{\frac{-T_s}{\tau}}\right)}{\left(1 - e^{\frac{-T_s}{\tau}}\right)} \quad [3.2]$$

Para atenuar este efecto, se ha introducido un filtro de primer orden sobre el dato calculado, de manera que aparece un nuevo parámetro de sintonía en el sistema.

$$v_f(t) = \frac{(1 - \alpha)z^{-1}}{1 - \alpha z^{-1}} v(t) \quad [3.3]$$

El método no tiene incluido el manejo de restricciones en su formulación, de manera que si por motivos operativos o de seguridad fuera necesario introducir límites al valor o la velocidad de cambio de la acción de control, la única posibilidad es truncar el resultado obtenido.

2.2. Integración del algoritmo en UNICOS

El objeto *Controller* de la librería de UNICOS contenía, hasta el momento, el controlador PID y varios métodos de auto sintonía para este tipo de controlador. Además, también incluye una herramienta de identificación válida para sistemas de primer orden, con o sin retardo, que sean estables en lazo abierto que puede resultar de gran utilidad para facilitar el uso del PFC.

Al tratarse de una modificación de un objeto ya existente, el nuevo *Controller* heredará todas las características de funcionamiento definidas para el PID, como son los modos de operación y estados de trabajo que explicarán más en detalle en el siguiente punto.

Además de las modificaciones que se realicen a nivel de PLC para la integración del nuevo algoritmo, también será necesario diseñar una interfaz con el usuario en WinCC-OA.

2.2.1. Características del objeto *Controller*

La estructura básica de un objeto cualquiera de UNICOS en el PLC (Figura 3.1) consta de una lógica propia del objeto (*UNICOS Object*) y una serie de interfaces de comunicación con otros objetos, con el SCADA o con otras interfaces con el usuario.

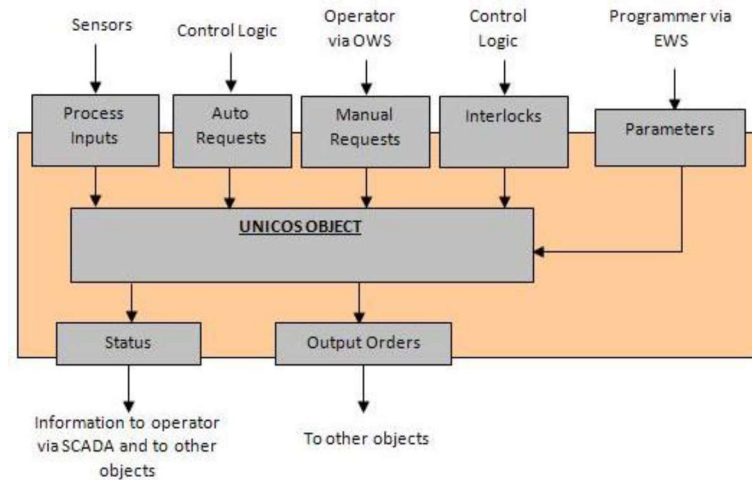


Figura 3.1 – Estructura genérica de un objeto UNICOS

Los objetos Controlador son objetos que encierran un algoritmo de regulación, en este caso un PID o un PFC. Este objeto permite:

- Controlar la salida:
 - Por medio de la regulación y aplicando el algoritmo de control correspondiente
 - Por solicitud de la lógica o el operador, independientemente del regulador
- Tener en cuenta los límites de velocidad con los que las instrucciones pueden cambiarse
- Tener en cuenta los límites que se ocupan de las salidas y las instrucciones
 - Definir los parámetros del regulador

El funcionamiento del controlador está definido por el modo de operación y el estado de trabajo activo en ese momento que se definen a continuación.

2.2.2. Modos de operación

El modo de operación es una característica aplicable a cualquier objeto UNICOS. Si nos referimos en particular al objeto *Controlador* hay algunas consideraciones particulares que se deben tener también en cuenta.

El modo de operación del objeto identifica si bien el objeto es manejado por el operador, por la lógica de control o por el proceso. Solo un modo puede estar activo al mismo tiempo. La activación de uno modo desactiva automáticamente los demás. En la **¡Error! No se encuentra el origen de la referencia.** se muestra la manera en que se interrelacionan los modos de funcionamiento y los estados de trabajo para el caso del controlador.

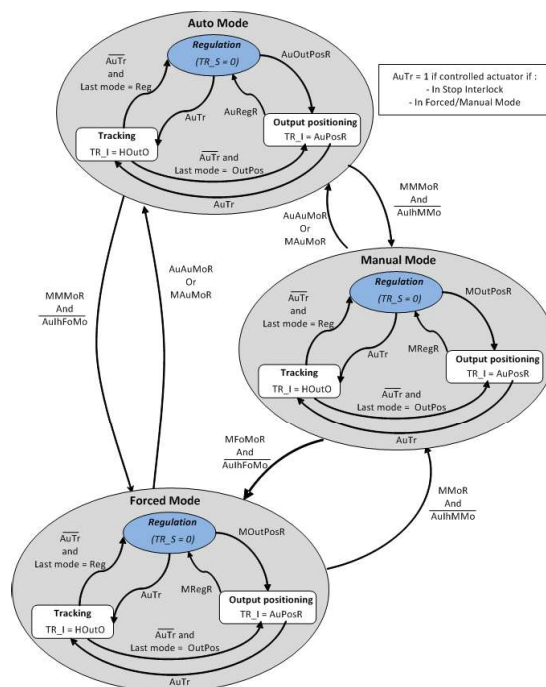


Figura 3.2 – Modos de operación y estados de trabajo en el objeto Controller

Los modos de operación que define UNICOS-CPC son los siguientes:

- **Modo Automático (Auto Mode):** el objeto es manejado por la lógica de control por un objeto más alto en la jerarquía.
 - Puede activarse mediante solicitud automática (*Auto Auto Mode Request*).
 - Puede activarse mediante solicitud manual (*Manual Auto Mode Request*).

- **Modo Manual (Manual Mode):** el operador maneja el objeto a través de la capa de supervisión.
 - Puede activarse solo mediante una solicitud del operador (*Manual Manual Mode Request*).
 - Si una solicitud automática Auto Inhibición en Modo Manual (*Auto Inhibit Manual Mode*) está activa mientras el objeto está en modo automático, el modo manual no puede ser activado con solicitud manual.
 - El retorno al modo automático es posible mediante la lógica de control (*Auto Auto Mode Request*).
 - Se aplican los *interlocks*.
- **Modo forzado (Forced Mode):** el operador maneja el objeto a través de la capa de supervisión.
 - Puede activarse solo mediante una solicitud del operador (*Manual Forced Mode Request*) y no es posible mediante la lógica de control.
 - Si una solicitud especial automática Auto Inhibición de Modo Forzado (*Auto Inhibit Forced Mode*) está activa mientras el objeto está en modo automático, el modo forzado no puede ser activado mediante solicitud manual
 - Se aplican los *interlocks*.

2.2.3. Estados de trabajo

El *Controller* tiene tres estados de trabajo habilitados desde cualquier modo de operación:

- **Regulación (Regulation):** El funcionamiento se corresponde al de un lazo cerrado de control, en el que la señal de control será emitida por el algoritmo de control que se encuentre configurado.

Se fija un valor de consigna para la variable controlada y el regulador determina la acción de control necesaria para que la salida del sistema coincida con la referencia.

- **Posicionamiento de salida (Output Positioning):** El funcionamiento se corresponde con un bucle de control en lazo abierto, en el que el regulador aplica al sistema un determinado valor de señal de control fijado.

El valor de la señal de control se asigna en la variable correspondiente con el modo de operación que se encuentre activo en ese instante, automático o manual.

- **Seguimiento (Tracking):** Igualmente el funcionamiento es el de un bucle en lazo abierto, aunque ahora el valor de fijado para la variable de control será el propio valor de salida en el instante de activación de este estado de trabajo. Se trata de un modo de funcionamiento muy útil para las transferencias *bumpless* automático/manual y viceversa.

El funcionamiento del Controlador dependerá del modo de operación y del estado de trabajo activo:

- Cuando se activa una regulación, el *set-point* varía desde el valor actual del proceso hasta la referencia deseada con una rampa para evitar discontinuidades en el *set-point*.
- Si se para la regulación (modo manual), la salida del controlador se sitúa en una posición predefinida o permanece en su último valor y la referencia es igual al valor del proceso.
- Cuando el actuador del controlador está en estado manual o forzado, la salida está rastreando la posición del actuador y el *set-point* es igual al valor del proceso. Esto permite evitar saltos en el orden del actuador controlado.

2.2.4. UNICOS Application Builder

El primer paso en la integración de un lazo de control en UNICOS pasa por la herramienta de autogeneración de código UAB. El objetivo es que, al diseñar un lazo de regulación se pueda seleccionar si el controlador deseado es un PID o el PFC.

A	B	C	D	E	F	G	H	I	J	K	L	M	N	
1	Name	PFC							TRUE	FALSE	Input Scaling	Input/Output Scaling	No Scaling	Controller
2	Object Type Family	ControlObjectFamily												
3	Description	Controller Device												
4	Version	Change/Revision: 138979 \$												
5	Version Comments													
6	Status													
7	Help	Help	Help	Help	Help	Help	Help	Help	Help	Help	Help	Help	Help	Help
8	DeviceIdentification	DeviceParameters	FEDeviceAutoRequests	DeviceEnvironment	FEDeviceOutputs									
9	Name	Expert Name	Description	Remarks	Output Range Min	Output Range Max	MV Filter Time (t)	Sampling Time (t)	Scaling Method	RA	Increase Speed	Decrease Speed	Measured Value	Controlled Object
10	PLANTA_PFC1	PFC			0	100	0.02	0.5	No Scaling	FALSE	1	1	PLANTA_LAM1	PLANTA_LAM1
11														
12														
13														
	ControllerSetPoint	ControllerActiveX	No	Deadband	Deadband AND Time	Deadband DR Time	Old/New Comparison	New Comparison AND	New Comparison DR T		Relative	Absolute	No	
	Help	Help	Help	Help	Help	Help	Help	Help	Help	Help	Help	Help	Help	Help
	FEDeviceVariables						SCADADeviceGraphics							
	Default PFC Parameters													
	Setpoint	Lambda	N	Alpha	SP High Limit	SP Low Limit	Out High Limit	Out Low Limit	Widget Type	Synoptic	Diagnostic	WWW Link		
	12	2	1000	0	4	0	12	0	Controller	Controller	PHL_Table			

Figura 3.3 – Hoja de especificaciones diseñada para el PFC

Para realizar dicha integración es necesario incluir el nuevo objeto en los *plugins* de los que se habló en el Capítulo 1, lo cual está fuera del alcance del presente proyecto, de modo que formará parte del trabajo futuro que queda pendiente de realizar.

2.2.5. WinCC-OA. Interfaz con el usuario

Uno de los requisitos que requiere la integración de un objeto en UNICOS es el diseño de la interfaz del objeto con el usuario de modo que el funcionamiento del controlador pueda ser seguido y sintonizado desde el SCADA.

El panel diseñado para la parametrización del PFC se ha embebido dentro de la ventana del bloque *Controller*, manteniendo las pestañas que muestran el estado de las variables controlada, manipulada y la referencia, las gráficas, el *autotuning* que contiene la herramienta de identificación, y la gestión de alarmas y eventos del objeto. Además, se ha añadido una pestaña más que contiene los parámetros necesarios para la configuración del PFC.

La pantalla diseñada para la gestión de los controladores predictivos de sistemas SISO [Figura 3.4] se puede descomponer, desde arriba hacia abajo, en tres zonas.

En primer lugar, se muestra un menú desplegable que cargará en función del algoritmo seleccionado, los contenidos correspondientes en la zona central de la ventana. Este diseño se ha ideado con la perspectiva de aumentar el número de MPCs integrados en UNICOS.

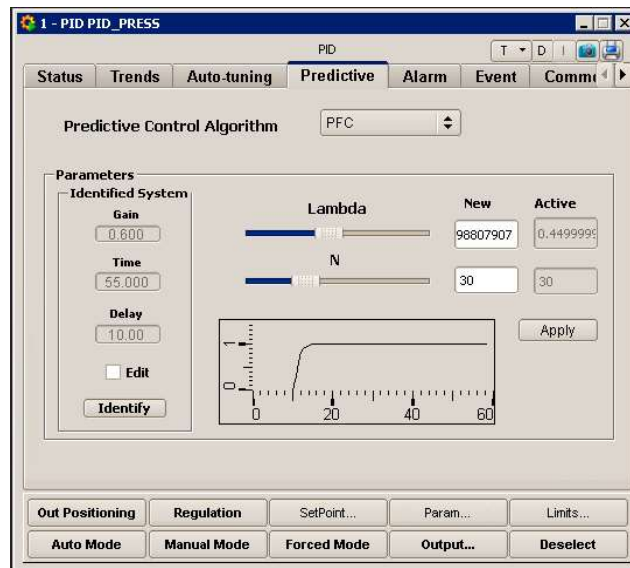


Figura 3.4 – Panel principal del PFC

La zona central del panel muestra dos zonas diferenciadas, que se corresponden con la parametrización del modelo del sistema y la configuración de los parámetros del algoritmo.

En la parte izquierda se pueden ver los parámetros del modelo de primer orden con retardo del sistema. Dichos valores pueden ser definidos por el usuario u obtenidos mediante un procedimiento de identificación al que se puede acceder mediante el botón *Identify*.

El algoritmo de identificación se basa en la obtención de un modelo en función de transferencia de primer orden con retardo mediante la aplicación de un escalón de valor determinado a la entrada (Frutos, 2015). Una vez finalizada la identificación se puede volver al panel del controlador pulsando el botón *PFC*.

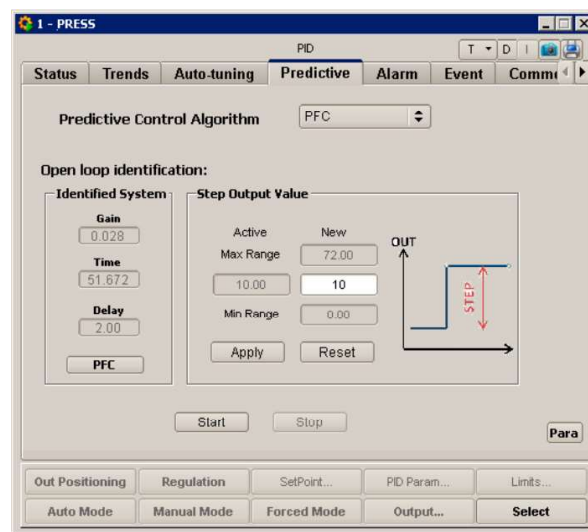


Figura 3.5 – Identificación del sistema

Por último, el botón *Param...* abre un panel con las configuraciones del modelo que se cambian con menos frecuencia del PFC, el periodo de muestreo y el tipo de acción, directa o inversa.



Figura 3.6 – Configuración del tiempo de muestreo y el tipo de acción

El panel del PFC muestra en la parte derecha los parámetros de configuración de éste, N y λ . La gráfica que aparece debajo muestra la forma de la respuesta del sistema que se ha definido con dichos parámetros para así facilitar al usuario la sintonía del controlador.

Por último, en la zona inferior se muestra una botonera que permite controlar los estados de trabajo *Output Positioning* y *Regulation* y los modos de operación *Auto*, *Manual* y *Forced*.

También desde la botonera se abren distintas ventanas que permiten la configuración de los parámetros de referencia y el valor de la salida, que se utilizarán dependiendo del modo de operación activo, y los límites de éstas variables.

El botón *SetPoint* abre una nueva ventana en la que se puede modificar la referencia del sistema. El nuevo valor debe estar dentro del rango permitido para poder ser aplicado. Éste será el dato utilizado en el algoritmo de control cuando el modo *Regulation* esté activo.

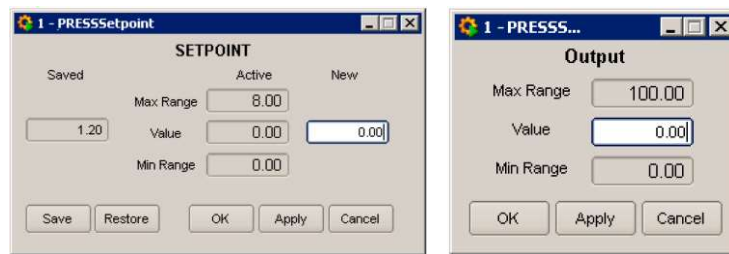


Figura 3.7 – Configuración del valor de la referencia y la variable manipulada

El botón *Output...*, de la misma forma que en el caso anterior, abre una ventana que permite determinar el valor de la variable manipulada cuando el modo *Output Positioning* esté activo.

En *Limits* se determinan los límites en las variables que se acaban de definir. Aunque el PFC no tenga incluidas las restricciones en el cálculo de la respuesta, se debe truncar el valor de salida del controlador si éste excede el rango permitido.

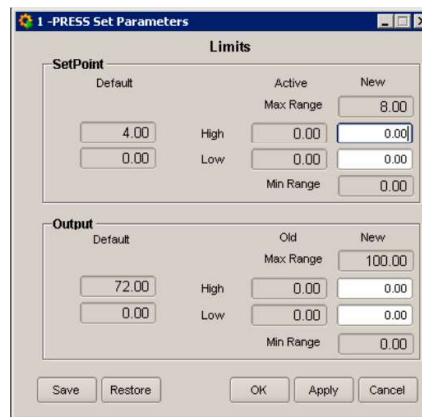


Figura 3.8 – Definición de límites

3. Dynamic Matrix Control

La implementación del *Dynamic Matrix Control* se realiza inicialmente en Matlab, pero sin perder de vista el objetivo final, la implementación del algoritmo en un PLC, por lo que siempre se deben tener en mente una serie de consideraciones.

En primer lugar, en un PLCs no cuentan con librerías específicas para trabajar con matrices, de modo que todas las operaciones de suma o multiplicación están programadas con bucles *For* en vez de utilizar las funciones propias de Matlab para ello. Esto es, en algunos casos, ventajoso desde el punto de vista computacional, puesto que al tener el control sobre la operación que se está ejecutando sobre cada elemento de la matriz es posible, en algunas ocasiones, agrupar operaciones o prescindir de algunas matrices auxiliares.

Por otro lado Matlab cuenta con diversos revolvedores de problemas de optimización QP, mientras que en el PLC será necesario implementarlos. De cualquier modo los algoritmos propios de Matlab servirán para contrastar los resultados que se han obtenido por otros medios. Obtención del modelo

El primer elemento, indispensable para la utilización de cualquier algoritmo MPC, es el modelo del sistema. Como se ha indicado en capítulos anteriores, el DMC basa sus cálculos en un modelo de respuesta salto, que se puede obtener de varias maneras.

Una opción es aplicar en cada una de las entradas y perturbaciones medibles del proceso una variación de valor conocido, Δu o Δv , que puede ser positivo o negativo y registrar los coeficientes obtenidos. Este método aplicado a un sistema real requiere normalmente de varios experimentos, puesto que el ruido de la medida afecta al modelo obtenido.

Una vez aplicado el escalón en la entrada seleccionada en el instante t , se almacenarán los valores obtenidos en cada periodo de muestreo para, a continuación, determinar el número N de coeficientes que son significativos en la respuesta, es decir, cuando el sistema haya alcanzado un nuevo estado estacionario e $y(t + i) - y(t + i - 1) \cong 0$. Este valor suele estar comprendido entre 30 y 50. Si el número de coeficientes final estuviera fuera de este rango sería conveniente revisar el tiempo de muestreo que se ha fijado.

Es importante remarcar que, para la identificación del modelo, el sistema debe partir de un punto de funcionamiento estable $[\Delta u_0, \Delta v_0, \Delta y_0]$.

El último paso para obtener el vector de los coeficientes será normalizar los resultados obtenidos restando el valor inicial de la salida y dividiendo por el incremento aplicado.

$$\mathbf{g}_{ij} = \begin{bmatrix} g_{ij_1} \\ g_{ij_2} \\ \vdots \\ g_{ij_{N_i}} \end{bmatrix} = \left(\begin{bmatrix} y_i(t+1) \\ y_i(t+2) \\ \vdots \\ y_i(t+N_i) \end{bmatrix} - \begin{bmatrix} y_i(t) \\ y_i(t) \\ \vdots \\ y_i(t) \end{bmatrix} \right) \div \Delta u_j \quad [3.4]$$

Una alternativa para evitar la problemática del ruido es la identificación del modelo en función de transferencia en el punto de trabajo, para la obtención posterior de la respuesta salto a partir de éste.

Una vez definidos los modelos de todas las salidas se definirán dos matrices, una para los modelos entre salidas y entradas y otra para las perturbaciones, estructuradas de la siguiente manera:

$$\mathbf{g} = \begin{bmatrix} \mathbf{g}_{11} & \cdots & \mathbf{g}_{1n} \\ \vdots & \ddots & \vdots \\ \mathbf{g}_{m1} & \cdots & \mathbf{g}_{mn} \end{bmatrix}_{[\sum N_i, n]} \quad \mathbf{d} = \begin{bmatrix} \mathbf{d}_{11} & \cdots & \mathbf{d}_{1l} \\ \vdots & \ddots & \vdots \\ \mathbf{d}_{m1} & \cdots & \mathbf{d}_{ml} \end{bmatrix}_{[\sum N_i, l]} \quad [3.5]$$

Donde:

- $m \rightarrow$ Número de salidas, que se identificarán por el índice i
- $n \rightarrow$ Número de entradas, que se identificarán por el índice j
- $l \rightarrow$ Número de perturbaciones medibles, que se identificarán por el índice k

A la hora de generar estas matrices es necesario tener en cuenta que el número N_i de coeficientes de las respuestas de cada salida debe ser el mismo para todas sus entradas y perturbaciones.

3.1. Preparación del problema QP

El objetivo del DMC es, en última instancia, la resolución de un problema de programación cuadrática, de modo que es necesario estructurar los datos de forma adecuada para después hacer la llamada al optimizador.

$$\min x = \frac{1}{2} \mathbf{x}^T \mathbf{H} \mathbf{x} + \mathbf{c}^T \mathbf{x} \quad [3.6]$$

Sujeto a: $\mathbf{A} \mathbf{x} - \mathbf{b} \leq 0$

En el Capítulo 2 ya se explicó cómo a partir de la función de costes se deduce la expresión de la ecuación [2.48]. A continuación se analizarán en detalle cada uno de los términos que aparecen en ella.

$$\min J = \Delta \mathbf{u}^T(t) \overbrace{[\mathbf{G}^T \boldsymbol{\gamma} \mathbf{G} + \boldsymbol{\beta}]}^H \Delta \mathbf{u}(t) - 2 \overbrace{(\mathbf{G}^T \boldsymbol{\gamma} \mathbf{D})^T}^{-c^T} \Delta \mathbf{u}(t) + \overbrace{\mathbf{D}^T \mathbf{D}}^{cte} \quad [3.7]$$

3.1.1. Acción de control

El vector $\Delta \mathbf{u}$ contiene las acciones de control resultantes del proceso de optimización. Como para cada $\Delta \mathbf{u}_j$ se obtienen N_{u_j} valores, se obtendrá un vector columna de tamaño $\sum_{j=1}^n N_{u_j}$.

$$\Delta \mathbf{u} = \begin{bmatrix} \Delta \mathbf{u}_1 \\ \vdots \\ \Delta \mathbf{u}_n \end{bmatrix}_{[\sum N_{u_j}, 1]} \quad \Delta \mathbf{u}_j = \begin{bmatrix} \Delta u_{j1} \\ \vdots \\ \Delta u_{jN_{u_j}} \end{bmatrix} \quad [3.8]$$

3.1.2. Matriz G

La matriz \mathbf{G} extendida al caso multivariable se compone de las matrices \mathbf{G}_{ij} generadas a partir de cada uno de los modelos entrada-salida del sistema. Los elementos de esta matriz no cambian durante la ejecución del MPC, de modo que sólo es necesario calcularla al inicio o si alguno de los modelos sufre una modificación.

$$\mathbf{G} = \begin{bmatrix} \mathbf{G}_{11} & \cdots & \mathbf{G}_{1n} \\ \vdots & \ddots & \vdots \\ \mathbf{G}_{m1} & \cdots & \mathbf{G}_{mn} \end{bmatrix}_{[\sum(N_{2_i} - N_{1_i} + 1), \sum N_{u_j}]} \quad [3.9]$$

$$\mathbf{G}_{ij} = \begin{bmatrix} g_{ijN_{1_i}} & \cdots & g_{ij2} & g_{ij1} & 0 & \cdots & 0 \\ g_{ijN_{1_i}+1} & g_{ijN_{1_i}} & \cdots & g_{ij2} & g_{ij1} & \cdots & 0 \\ \cdots & \cdots & \cdots & \cdots & \cdots & \cdots & \cdots \\ \cdots & \cdots & \cdots & \cdots & \cdots & \cdots & \cdots \\ g_{ijN_{2_i}} & \cdots & \cdots & \cdots & \cdots & \cdots & g_{ijN_{2_i} - N_{u_j} + 1} \end{bmatrix}_{[N_{2_i} - N_{1_i} + 1, N_{u_j}]}$$

3.1.3. Matriz Hessiana

El cálculo de la matriz Hessiana requiere, además de la matriz \mathbf{G} , los pesos asignados a cada una de las salidas (Ecuación [3.10]) y de las acciones de control (Ecuación [3.11]). Para evitar que el orden de magnitud de las variables afecte a los pesos, el primer paso es normalizarlos dividiendo por el valor inicial de la salida/entrada correspondiente.

$$\boldsymbol{\gamma} = \begin{bmatrix} \gamma_1 & \mathbf{0} & \cdots & \mathbf{0} \\ \mathbf{0} & \gamma_2 & \cdots & \cdots \\ \cdots & \cdots & \ddots & \cdots \\ \mathbf{0} & \mathbf{0} & \cdots & \gamma_m \end{bmatrix}_{[\sum(N_{2i}-N_{1i}+1), \sum(N_{2i}-N_{1i}+1)]} \quad [3.10]$$

$$\gamma_i = \frac{100 \cdot \gamma_i}{y_{0i}} \mathbf{I}_{[N_{2i}-N_{1i}+1, N_{2i}-N_{1i}+1]}$$

$$\boldsymbol{\beta} = \begin{bmatrix} \beta_1 & \mathbf{0} & \cdots & \mathbf{0} \\ \mathbf{0} & \beta_2 & \cdots & \cdots \\ \cdots & \cdots & \ddots & \cdots \\ \mathbf{0} & \mathbf{0} & \cdots & \beta_m \end{bmatrix}_{[\sum N_{uj}, \sum N_{uj}]} \quad \beta_j = \frac{100 \cdot \beta_j}{u_{0j}} \mathbf{I}_{[N_{uj}, N_{uj}]} \quad [3.11]$$

La matriz Hessiana de la función objetivo es una matriz cuadrada y simétrica. En teoría, por ser el producto de $\mathbf{G}^T \mathbf{G}$ debería ser simétrica siempre, aunque en la práctica por cuestiones de precisión puede llegar a no serlo. Una forma de asegurar el cumplimiento de esta condición es, una vez calculada la matriz calcular la media de la suma de ésta y su traspuesta.

$$\mathbf{H}_{[\sum N_{uj}, \sum N_{uj}]} = \frac{1}{2} (\mathbf{H} + \mathbf{H}^T) \quad [3.12]$$

3.1.4. Trayectoria de referencia

La trayectoria de referencia elegida es un sistema de primer orden para así conseguir acciones de control más robustas en el caso de una variación en la consigna del sistema. Es por ello que por cada salida existe un parámetro α_i con el que regular la velocidad de la respuesta.

$$\mathbf{R} = \begin{bmatrix} \mathbf{w}_1 \\ \vdots \\ \mathbf{w}_m \end{bmatrix}_{[\sum(N_{2i}-N_{1i}+1), 1]} \quad [3.13]$$

3.1.5. Respuesta libre

La respuesta libre se calcula en tres etapas para así poder hacer los cálculos de forma recursiva y evitar la carga computacional que supone obtener las expresiones de los sumatorios en cada ciclo de ejecución.

El primer paso consiste en desplazar una posición hacia arriba los elementos del vector L_{ij} y rellenar la última posición con el valor anterior. Después, se suma el producto de las matrices g_{ij} y d_{il} multiplicado por el último incremento de las variables de control Δu_j y las perturbaciones Δv_l .

$$L = \begin{bmatrix} L_1 \\ \vdots \\ L_m \end{bmatrix}_{[\sum N_i, 1]} \quad g = \begin{bmatrix} g_1 \\ \vdots \\ g_m \end{bmatrix}_{[\sum N_i, n]} \quad d = \begin{bmatrix} d_1 \\ \vdots \\ d_m \end{bmatrix}_{[\sum N_i, l]} \quad [3.14]$$

$$L_i(k) = \begin{bmatrix} l_{i_1}(k|k) \\ l_{i_2}(k+1|k) \\ \vdots \\ l_{i_{N_{ij}}}(k+n|k) \end{bmatrix}_{[N_i, 1]} = \begin{bmatrix} l_{i_2}(k+1|k) \\ \vdots \\ l_{i_{N_{ij}}}(k+n|k) \\ l_{i_{N_{ij}}}(k+n|k) \end{bmatrix}_{[N_i, 1]} + g_i \Delta u + d_i \Delta v \quad [3.15]$$

El resultado que se obtiene realizando el cálculo de esta manera es equivalente a:

$$l(t+j) = \sum_{i=1}^N g_i \Delta u(t-i) + \sum_{i=1}^N d_i \Delta v(t-i) \quad [3.16]$$

El siguiente paso es añadir a la respuesta libre el efecto causado por las perturbaciones no medibles. Como se explicó anteriormente, este efecto se considera como la diferencia entre la salida del proceso y la del modelo en el instante k , la cual coincide con el primer elemento del vector calculado en la primera etapa, de modo que resulta la siguiente expresión:

$$T = \begin{bmatrix} T_1 \\ \vdots \\ T_m \end{bmatrix}_{[\sum(N_{2_i}), 1]} \quad [3.17]$$

Se puede apreciar que el número de filas de la matriz T no coincide con el de L , aunque después se sumen. Para poder realizar esta operación, si $N_{2_i} > N_i$ se repetirá el elemento N_i tantas veces como sea necesario. Si por el contrario, $N_i > N_{2_i}$ sólo se considerarán los N_{2_i} primeros elementos.

$$\mathbf{T}_i(k) = \begin{bmatrix} T_{i_1}(k|k) \\ T_{i_2}(k+1|k) \\ \vdots \\ T_{i_N}(k+n|k) \end{bmatrix}_{[N_{2i},1]} = \begin{bmatrix} l_{i_1}(k|k) \\ l_{i_2}(k+1|k) \\ \vdots \\ l_{i_N}(k+n|k) \end{bmatrix}_{[N_{2i},1]} + (y_p - l_{i_1}(k|k)) \begin{bmatrix} 1 \\ 1 \\ \vdots \\ 1 \end{bmatrix}_{[N_{2i},1]} \quad [3.18]$$

La ecuación [3.19] muestra el resultado equivalente de realizar esta operación:

$$t(t+j) = y_p(t) + \sum_{i=1}^N (g_{j+i} - g_i) \Delta u(t-i) + \sum_{i=1}^N (d_{j+i} - d_i) \Delta v(t-i) \quad [3.19]$$

Por último resta incluir el efecto sobre la respuesta libre de las perturbaciones medibles en el futuro. Se considera como hipótesis para ello que el valor de éstas se mantiene constante durante la predicción y de valor $\Delta v(k+n) = \Delta v(k)$.

$$\mathbf{d}_{sum} = \begin{bmatrix} \mathbf{d}_{sum_1} \\ \vdots \\ \mathbf{d}_{sum_m} \end{bmatrix}_{[\sum N_i,1]} \quad \mathbf{d}_{sum_i} = \begin{bmatrix} \mathbf{d}_{i_1} \\ \mathbf{d}_{i_1} + \mathbf{d}_{i_2} \\ \vdots \\ \sum \mathbf{d}_i \end{bmatrix}_{[N,1]} \quad [3.20]$$

$$\mathbf{T}_i(k) = \begin{bmatrix} t_1(k|k) \\ t_2(k+1|k) \\ \vdots \\ t_N(k+n|k) \end{bmatrix}_{[N_i,1]} = \begin{bmatrix} t_1(k|k) \\ t_2(k+1|k) \\ \vdots \\ t_N(k+n|k) \end{bmatrix}_{[N_i,1]} + \mathbf{d}_{sum} \Delta v \quad [3.21]$$

De modo que con este último cálculo se obtiene la respuesta predicha tal y como fue definida en el Capítulo 2.

$$t(t+j) = y_p(t) + \sum_{i=1}^N (g_{j+i} - g_i) \Delta u(t-i) + \sum_{i=1}^N (d_{j+i} - d_i) \Delta v(t-i) + \sum_{i=1}^j d_i \Delta v(t+j-i) \quad [3.22]$$

3.1.6. Vector gradiente

Una vez calculada la respuesta libre y definida la trayectoria de referencia, se puede calcular el vector del gradiente, que se definió en la ecuación [3.7] como:

$$\mathbf{c}^T = -(\mathbf{G}^T \boldsymbol{\gamma} \mathbf{D})^T \quad [3.23]$$

La expresión anterior se puede descomponer en dos partes. En primer lugar, el producto $-\mathbf{G}^T \boldsymbol{\gamma}$ que no varía a no ser que lo hagan los parámetros de configuración del problema y el vector \mathbf{D} que contiene el error de predicción y por tanto varía en cada ciclo del controlador.

$$\mathbf{c}_{Aux} = -\mathbf{G}^T \boldsymbol{\gamma} \quad [3.24]$$

$$\mathbf{D}(k) = \mathbf{R}(k) - \mathbf{T}(k) \quad [3.25]$$

Con lo que resulta:

$$\mathbf{c}^T = (\mathbf{c}_{Aux} \mathbf{D})^T \quad [3.26]$$

3.1.7. Restricciones

La implementación propuesta contiene las siguientes restricciones sobre las variables controladas y los incrementos en las variables manipuladas:

$$\begin{aligned} \Delta u_{max} &\geq \Delta u(t+j) \geq \Delta u_{min} \\ u_{max} &\geq u(t+j) \geq u_{min} \\ \hat{y}_{max} &\geq \hat{y}(t+j) \geq \hat{y}_{min} \end{aligned} \quad [3.27]$$

Que expresado en la notación del optimizador QP es:

$$\begin{aligned} \Delta u(t+j) &\leq \Delta u_{max} \\ -\Delta u(t+j) &\leq -\Delta u_{min} \\ u(t+j) &\leq u_{max} \\ -u(t+j) &\leq -u_{min} \\ \hat{y}(t+j) &\leq \hat{y}_{max} \\ -\hat{y}(t+j) &\leq -\hat{y}_{min} \end{aligned} \quad [3.28]$$

El término que está a la izquierda de la desigualdad será el que conforme la matriz \mathbf{A} y el de la derecha el vector \mathbf{b} de la siguiente forma.

$$\mathbf{A} = \begin{bmatrix} \mathbf{A}_{\Delta u_{max}} \\ \mathbf{A}_{\Delta u_{min}} \\ \mathbf{A}_{u_{max}} \\ \mathbf{A}_{u_{min}} \\ \mathbf{A}_{\hat{y}_{max}} \\ \mathbf{A}_{\hat{y}_{min}} \end{bmatrix}_{[4 \sum N_{u_j} + 2 \sum N_{z_i}, \sum N_{u_j}]} \quad \mathbf{b} = \begin{bmatrix} \mathbf{b}_{\Delta u_{max}} \\ \mathbf{b}_{\Delta u_{min}} \\ \mathbf{b}_{u_{max}} \\ \mathbf{b}_{u_{min}} \\ \mathbf{b}_{\hat{y}_{max}} \\ \mathbf{b}_{\hat{y}_{min}} \end{bmatrix}_{[4 \sum N_{u_j} + 2 \sum N_{z_i}, 1]} \quad [3.29]$$

Las matrices $\mathbf{A}_{\Delta u}$ verifican que las acciones de control resultantes de la optimización están dentro del rango establecido, de manera que cada una de ellas es una matriz identidad de dimensiones $[\sum N_{u_j}, \sum N_{u_j}]$ y los vectores $\mathbf{b}_{\Delta u}$ correspondientes contienen directamente el valor máximo o mínimo correspondiente.

$$\begin{aligned} \mathbf{A}_{\Delta u_{max}} &= \begin{bmatrix} \mathbf{A}_{u_{max_1}} & \cdots & 0 \\ \vdots & \ddots & \vdots \\ 0 & \cdots & \mathbf{A}_{u_{max_n}} \end{bmatrix}_{[\sum N_{u_j}, \sum N_{u_j}]} & \mathbf{b}_{\Delta u_{max}} &= \begin{bmatrix} \mathbf{b}_{\Delta u_{max_1}} \\ \vdots \\ \mathbf{b}_{\Delta u_{max_n}} \end{bmatrix}_{[\sum N_{u_j}, 1]} \\ \mathbf{A}_{\Delta u_{min}} &= \begin{bmatrix} \mathbf{A}_{u_{min_1}} & \cdots & 0 \\ \vdots & \ddots & \vdots \\ 0 & \cdots & \mathbf{A}_{u_{min_n}} \end{bmatrix}_{[\sum N_{u_j}, \sum N_{u_j}]} & \mathbf{b}_{\Delta u_{min}} &= \begin{bmatrix} \mathbf{b}_{\Delta u_{min_1}} \\ \vdots \\ \mathbf{b}_{\Delta u_{min_j}} \end{bmatrix}_{[\sum N_{u_j}, 1]} \end{aligned} \quad [3.30]$$

Donde:

$$\begin{aligned} \mathbf{A}_{\Delta u_{max_j}} &= \begin{bmatrix} 1 & \cdots & 0 \\ \vdots & \ddots & \vdots \\ 0 & \cdots & 1 \end{bmatrix}_{[N_{u_j}, N_{u_j}]} & \mathbf{b}_{\Delta u_{max_j}} &= \begin{bmatrix} \Delta u_{max_j} \\ \vdots \\ \Delta u_{max_j} \end{bmatrix}_{[N_{u_j}, 1]} \\ \mathbf{A}_{\Delta u_{min_j}} &= - \begin{bmatrix} 1 & \cdots & 0 \\ \vdots & \ddots & \vdots \\ 0 & \cdots & 1 \end{bmatrix}_{[N_{u_j}, N_{u_j}]} & \mathbf{b}_{\Delta u_{min_j}} &= - \begin{bmatrix} \Delta u_{min_j} \\ \vdots \\ \Delta u_{min_j} \end{bmatrix}_{[N_{u_j}, 1]} \end{aligned} \quad [3.31]$$

Las matrices \mathbf{A}_u deben verificar, en cambio, que la suma de las acciones de control que se van obteniendo durante el horizonte de control no exceden los límites del rango, de manera que las submatrices $\mathbf{A}_{u_{ij}}$ serán matrices diagonales inferiores. Los vectores $\mathbf{b}_{u_{ij}}$ por su parte deben tener en cuenta, además del valor del límite impuesto, el valor inicial de la acción de control en comienzo de la predicción.

$$u(k+j) = u(k) + \sum_{i=1}^j \Delta u(k+i) \quad [3.32]$$

$$\begin{aligned}
 \mathbf{A}_{u_{max}} &= \begin{bmatrix} \mathbf{A}_{u_{max_1}} & \cdots & 0 \\ \vdots & \ddots & \vdots \\ 0 & \cdots & \mathbf{A}_{u_{max_j}} \end{bmatrix}_{[\sum N_{u_j}, \sum N_{u_j}]} & \mathbf{b}_{u_{max}} &= \begin{bmatrix} \mathbf{b}_{u_{max_1}} \\ \vdots \\ \mathbf{b}_{u_{max_j}} \end{bmatrix}_{[\sum N_{u_j}, 1]} \\
 \mathbf{A}_{u_{min}} &= \begin{bmatrix} \mathbf{A}_{u_{min_1}} & \cdots & 0 \\ \vdots & \ddots & \vdots \\ 0 & \cdots & \mathbf{A}_{u_{min_j}} \end{bmatrix}_{[\sum N_{u_j}, \sum N_{u_j}]} & \mathbf{b}_{u_{min}} &= \begin{bmatrix} \mathbf{b}_{u_{min_1}} \\ \vdots \\ \mathbf{b}_{u_{min_j}} \end{bmatrix}_{[\sum N_{u_j}, 1]}
 \end{aligned} \tag{3.33}$$

Donde:

$$\begin{aligned}
 \mathbf{A}_{u_{max_j}} &= \begin{bmatrix} 1 & \cdots & 0 \\ \vdots & \ddots & \vdots \\ 1 & \cdots & 1 \end{bmatrix}_{[N_{u_j}, N_{u_j}]} & \mathbf{b}_{u_{max_j}} &= \begin{bmatrix} u_{max_j} - u_1(k) \\ \vdots \\ u_{max_j} - u_j(k) \end{bmatrix}_{[N_{u_j}, 1]} \\
 \mathbf{A}_{u_{min_j}} &= - \begin{bmatrix} 1 & \cdots & 0 \\ \vdots & \ddots & \vdots \\ 1 & \cdots & 1 \end{bmatrix}_{[N_{u_j}, N_{u_j}]} & \mathbf{b}_{u_{min_j}} &= - \begin{bmatrix} u_{min_j} - u_1(k) \\ \vdots \\ u_{min_j} - u_j(k) \end{bmatrix}_{[N_{u_j}, 1]}
 \end{aligned} \tag{3.34}$$

Las matrices $\mathbf{A}_{\hat{y}}$ y $\mathbf{b}_{\hat{y}}$ deben contemplar que el valor de la salida predicha del modelo no sobrepasa el rango permitido durante todo el horizonte de predicción, es decir, entre $[1, N_2]$ y no solamente en $[N_1, N_2]$. La predicción de la salida está compuesta por la respuesta libre del sistema más la respuesta forzada, de forma que las desigualdades se pueden reescribir como:

$$\begin{aligned}
 \mathbf{T} + \mathbf{G}_g \Delta \mathbf{u} &\leq \hat{\mathbf{y}}_{max} \quad \rightarrow \quad \mathbf{G}_g \Delta \mathbf{u} \leq \hat{\mathbf{y}}_{max} - \mathbf{T} \\
 -(\mathbf{T} + \mathbf{G}_g \Delta \mathbf{u}) &\leq -\hat{\mathbf{y}}_{min} \quad \rightarrow \quad -\mathbf{G}_g \Delta \mathbf{u} \leq -\hat{\mathbf{y}}_{min} + \mathbf{T}
 \end{aligned} \tag{3.35}$$

La matriz \mathbf{G}_g , que aparece por primera vez en la ecuación [3.35], tiene la misma estructura diagonal que la matriz \mathbf{G} que se había utilizado hasta el momento, con la diferencia de que no está truncada desde N_1 .

$$\mathbf{G}_g = \begin{bmatrix} \mathbf{G}_{g_{11}} & \cdots & \mathbf{G}_{g_{1n}} \\ \vdots & \ddots & \vdots \\ \mathbf{G}_{g_{m1}} & \cdots & \mathbf{G}_{g_{mn}} \end{bmatrix}_{[\sum(N_{2i}), \sum N_{u_j}]} \tag{3.36}$$

$$\mathbf{G}_{g_{ij}} = \begin{bmatrix} g_{ij_1} & \cdots & 0 & 0 & 0 & \cdots & 0 \\ g_{ij_2} & g_{ij_1} & \cdots & 0 & 0 & \cdots & 0 \\ \cdots & \cdots & \cdots & \cdots & \cdots & \cdots & \cdots \\ \cdots & \cdots & \cdots & \cdots & \cdots & \cdots & \cdots \\ g_{ij_{N_{2i}}} & \cdots & \cdots & \cdots & \cdots & \cdots & g_{ij_{N_{2i}-N_{uj}+1}} \end{bmatrix}_{[N_{2i}, N_{uj}]}$$

Por tanto las restricciones sobre el valor de la salida se expresarán como:

$$\begin{aligned} \mathbf{A}_{y_{max}} &= \begin{bmatrix} \mathbf{A}_{y_{max_{11}}} & \cdots & \mathbf{A}_{y_{max_{1n}}} \\ \vdots & \ddots & \vdots \\ \mathbf{A}_{y_{max_{m1}}} & \cdots & \mathbf{A}_{y_{max_{mn}}} \end{bmatrix}_{[\sum N_{2i}, \sum N_{uj}]} & \mathbf{b}_{y_{max}} &= \begin{bmatrix} \mathbf{b}_{y_{max_i}} \\ \vdots \\ \mathbf{b}_{y_{max_i}} \end{bmatrix}_{[\sum N_{2i}, 1]} \\ \mathbf{A}_{y_{min}} &= \begin{bmatrix} \mathbf{A}_{y_{min_{11}}} & \cdots & \mathbf{A}_{y_{min_{1n}}} \\ \vdots & \ddots & \vdots \\ \mathbf{A}_{y_{min_{m1}}} & \cdots & \mathbf{A}_{y_{min_{mn}}} \end{bmatrix}_{[\sum N_{2i}, \sum N_{uj}]} & \mathbf{b}_{y_{min}} &= \begin{bmatrix} \mathbf{b}_{y_{min_i}} \\ \vdots \\ \mathbf{b}_{y_{min_i}} \end{bmatrix}_{[\sum N_{2i}, 1]} \end{aligned} \quad [3.37]$$

Donde:

$$\begin{aligned} \mathbf{A}_{y_{max_{ij}}} &= \mathbf{G}_{g_{ij}}_{[N_{2i}, N_{uj}]} & \mathbf{b}_{y_{max_{ij}}} &= \begin{bmatrix} y_{max_i} \\ \vdots \\ y_{max_i} \end{bmatrix}_{[N_{2i}, 1]} \\ \mathbf{A}_{y_{min_{ij}}} &= -\mathbf{G}_{g_{ij}}_{[N_{2i}, N_{uj}]} & \mathbf{b}_{y_{min_{ij}}} &= -\begin{bmatrix} y_{min_i} \\ \vdots \\ y_{min_i} \end{bmatrix}_{[N_{2i}, 1]} \end{aligned} \quad [3.38]$$

3.2. Relajación de las restricciones

Las restricciones, tal y como han sido definidas hasta el momento, han de verificarse necesariamente durante la resolución del problema de optimización, lo cual puede acarrear problemas de factibilidad.

Una forma de tratar este inconveniente es transformar las restricciones duras en blandas, es decir, en vez de obligar a que las condiciones se satisfagan se opta por penalizar fuertemente su incumplimiento. Esto se consigue introduciendo lo que se conoce como variables de holgura.

Las variables de holgura ε cuantifican el grado de incumplimiento de la restricción y son un nuevo grado de libertad que se introduce en el problema de optimización y que, por lo tanto, debe ser minimizado.

La restricción que se ha decidido relajar es la concerniente al valor de la salida, mientras que las relativas a las acciones de control se mantienen como restricciones duras.

$$\begin{aligned}
 \Delta u_{max} &\geq \Delta u(t+j) \geq \Delta u_{min} \\
 u_{max} &\geq u(t+j) \geq u_{min} \\
 \varepsilon + \hat{y}_{max} &\geq \hat{y}(t+j) \geq \hat{y}_{min} - \varepsilon \\
 \varepsilon &\geq 0
 \end{aligned} \tag{3.39}$$

La función de costes debe ser reformulada para incluir estas nuevas variables de decisión. Con el fin de ponderar el peso de las variables de holgura en la función objetivo se introducen las variables ρ .

$$J = [\Delta \mathbf{u}^T(t) \quad \boldsymbol{\varepsilon}(t)] \begin{matrix} \overbrace{\mathbf{H}} \\ \left[\begin{array}{cc} \mathbf{G}^T \boldsymbol{\gamma} \mathbf{G} + \boldsymbol{\beta} & \mathbf{0} \\ \mathbf{0} & \boldsymbol{\rho} \end{array} \right] \end{matrix} \begin{bmatrix} \Delta \mathbf{u}(t) \\ \boldsymbol{\varepsilon}(t) \end{bmatrix} - 2 \overbrace{\left[(\mathbf{G}^T \boldsymbol{\gamma} \mathbf{e}_0)^T \quad \mathbf{0} \right]}^{c^T} \begin{bmatrix} \Delta \mathbf{u}(t) \\ \boldsymbol{\varepsilon}(t) \end{bmatrix} \tag{3.40}$$

3.2.1. Variables de decisión

Antes de introducir las variables de holgura, las únicas variables de decisión del problema eran las acciones de control mientras que, ahora, también es necesario introducir las variables de holgura correspondientes al número de salidas que tenga el problema.

$$\Delta \mathbf{u} = \begin{bmatrix} \Delta \mathbf{u}_1 \\ \vdots \\ \Delta \mathbf{u}_n \end{bmatrix}_{[\sum N_{u,i}]} = \begin{bmatrix} [\Delta u_{11} \quad \cdots \quad \Delta u_{1N_{u_1}}]^T \\ \vdots \\ [\Delta u_{n1} \quad \cdots \quad \Delta u_{nN_{u_1}}]^T \end{bmatrix} \quad \boldsymbol{\varepsilon} = \begin{bmatrix} \varepsilon_1 \\ \vdots \\ \varepsilon_i \end{bmatrix} \tag{3.41}$$

3.2.2. Matriz H

La matriz Hessiana es ahora una extensión de lo que se definió en el apartado anterior. En línea con la diagonal principal se ha añadido la matriz $\boldsymbol{\rho}$ que contiene los pesos de las variables de holgura y todas las demás posiciones se completan con ceros.

$$\mathbf{H} = \begin{bmatrix} \mathbf{G}^T \boldsymbol{\gamma} \mathbf{G} + \boldsymbol{\beta} & \mathbf{0} \\ \mathbf{0} & \boldsymbol{\rho} \end{bmatrix}_{[(\sum N_{u_j})+m, (\sum N_{u_j})+m]} \quad \boldsymbol{\rho} = \begin{bmatrix} \rho_1 & 0 & 0 \\ 0 & \ddots & 0 \\ 0 & 0 & \rho_m \end{bmatrix} \tag{3.42}$$

3.2.3. Gradiente

De igual modo, es necesario añadir al vector del gradiente tantos ceros como salidas tenga el sistema.

$$\mathbf{c}^T = [(\mathbf{G}^T \boldsymbol{\gamma} \mathbf{e}_0)^T \quad \mathbf{0}]_{[1, (\sum N_{u_j}) + m]} \quad [3.43]$$

3.2.4. Restricciones

Las restricciones quedan reformuladas ahora del siguiente modo:

$$\begin{aligned} \Delta u(t+j) &\leq \Delta u_{max} \\ -\Delta u(t+j) &\leq -\Delta u_{min} \\ u(t+j) &\leq u_{max} \\ -u(t+j) &\leq -u_{min} \\ \hat{y}(t+j) &\leq \hat{y}_{max} - \varepsilon \\ -\hat{y}(t+j) &\leq -\hat{y}_{min} - \varepsilon \end{aligned} \quad [3.44]$$

Y por tanto las matrices \mathbf{A} y \mathbf{b} resultan:

$$\mathbf{A} = \begin{bmatrix} \mathbf{A}_{\Delta u_{max}} & \mathbf{0} \\ \mathbf{A}_{\Delta u_{min}} & \mathbf{0} \\ \mathbf{A}_{u_{max}} & \mathbf{0} \\ \mathbf{A}_{u_{min}} & \mathbf{0} \\ \mathbf{A}_{\hat{y}_{max}} & \mathbf{A}_{\varepsilon} \\ \mathbf{A}_{\hat{y}_{min}} & \mathbf{A}_{\varepsilon} \\ \mathbf{0} & \mathbf{A}_{\varepsilon_{min}} \end{bmatrix}_{[4 \sum N_{u_j} + 2 \sum N_{z_i}, \sum N_{u_j} + m]} \quad \mathbf{b} = \begin{bmatrix} \mathbf{b}_{\Delta u_{max}} \\ \mathbf{b}_{\Delta u_{min}} \\ \mathbf{b}_{u_{max}} \\ \mathbf{b}_{u_{min}} \\ \mathbf{b}_{\hat{y}_{max}} \\ \mathbf{b}_{\hat{y}_{min}} \\ \mathbf{b}_{\varepsilon_{min}} \end{bmatrix}_{[4 \sum N_{u_j} + 2 \sum N_{z_i} + m]} \quad [3.45]$$

Las submatrices que fueron definidas para caso anterior (restricciones duras) no sufren ninguna modificación. Las matrices nuevas que aparecen pasan a definirse a continuación. Todas las posiciones de la matriz \mathbf{A} que no se han definido se completan con ceros.

$$\mathbf{A}_{\varepsilon_{min}} = - \begin{bmatrix} 1 & \cdots & 0 \\ \vdots & \ddots & \vdots \\ 0 & \cdots & 1 \end{bmatrix}_{[m, m]} \quad \mathbf{b}_{\varepsilon_{min}} = \begin{bmatrix} 0 \\ \vdots \\ 0 \end{bmatrix}_{[m, 1]} \quad [3.46]$$

$$\mathbf{A}_\varepsilon = \begin{bmatrix} \mathbf{A}_{\varepsilon_1} \\ \vdots \\ \mathbf{A}_{\varepsilon_m} \end{bmatrix}_{[\sum N_{2_i}, m]} \quad \mathbf{A}_{\varepsilon_i} = [\mathbf{A}_{\varepsilon_{i_1}} \quad \cdots \quad \mathbf{A}_{\varepsilon_{i_m}}]_{[N_{2_i}, m]}$$

$$\mathbf{A}_{\varepsilon_{ix}} = - \begin{bmatrix} 1 \\ \vdots \\ 1 \end{bmatrix}_{[N_{2_i}, 1]} \quad \text{Si } i = x \quad \mathbf{A}_{\varepsilon_{ix}} = - \begin{bmatrix} 0 \\ \vdots \\ 0 \end{bmatrix}_{[N_{2_i}, 1]} \quad \text{Si } i \neq x$$

3.3. Optimizador: QP Hildreth

El método de optimización que se implementará es el algoritmo para QP de Hildreth, un método clásico pero sencillo de implementar (Wang, 2009).

El algoritmo calcula la solución en dos pasos. En primer lugar, obtiene la solución analítica del problema sin restricciones. Si esta solución no viola ninguna de las restricciones, se adopta. En caso contrario, pasa a tratar de resolver el problema con restricciones.

El algoritmo permite definir el número de iteraciones máximas permitidas en cada llamada al optimizador, de manera que, si en el intervalo definido no se ha obtenido una solución que verifique todas las restricciones, la salida de la función será la última que haya generado, es decir, la mejor hasta ese instante.

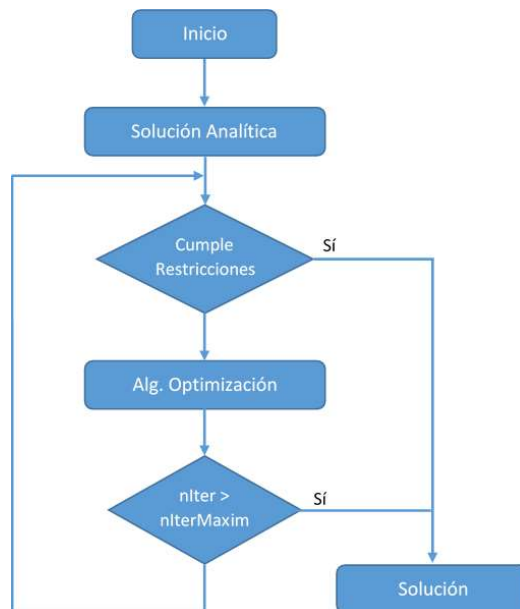


Figura 3.9 – Diagrama de flujo del optimizador

Uno de los inconvenientes de este algoritmo reside en el tamaño de las matrices que utiliza en el algoritmo. En el caso en que la solución no puede ser obtenida de forma analítica, el optimizador requiere de la utilización de las matrices \mathbf{D}_{aux} y \mathbf{P} , cuyo tamaño es indudablemente el mayor del problema.

$$[\mathbf{D}_{aux}]_{[(\sum N_{u_j})+m,(4\sum N_{u_j}+2\sum N_{2_i},\sum N_{u_j})+m]} = \mathbf{H}^{-1}\mathbf{A}^T \quad [3.47]$$

$$[\mathbf{P}]_{[(4\sum N_{u_j}+2\sum N_{2_i},\sum N_{u_j})+m,(4\sum N_{u_j}+2\sum N_{2_i},\sum N_{u_j})+m]} = \mathbf{A}\mathbf{P}_{aux}$$

3.4. Ejecución del controlador DMC

La ejecución del algoritmo del DMC se compone de varias etapas, entre las cuales se puede diferenciar claramente aquellas que se pueden realizar solamente en la inicialización del controlador o si se ha producido algún cambio en los parámetros de éste (Matrices constantes) y las que deben ejecutarse cada periodo de muestreo (Matrices variables) [Figura 3.10].

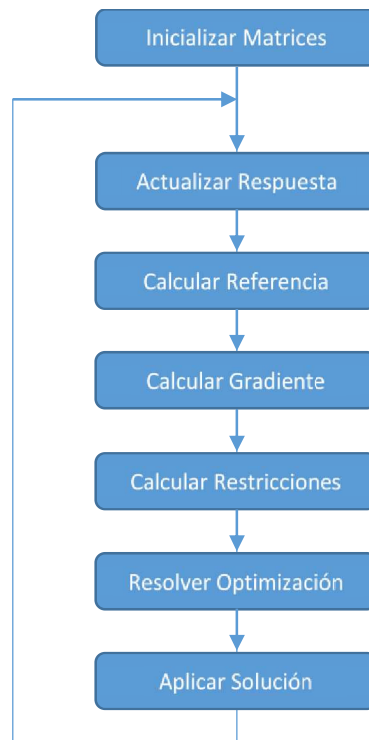


Figura 3.10 – Diagrama de flujo de funcionamiento del DMC

Con el fin de reducir lo máximo posible la carga computacional que implica la ejecución del algoritmo en cada iteración, se pre-calcularán todos aquellos valores que sea posible. A continuación se listan ambos tipos de datos.

3.4.1. Matrices constantes

Son fundamentalmente todas aquellas cuyos datos sólo dependen del modelo y los parámetros de configuración del sistema.

Matriz	Descripción
g	Modelos salida/entrada
d	Modelos salida/perturbación
G_g	Matriz de coeficientes sin truncar
G	Matriz de coeficientes truncada desde N_1
H	Matriz Hessiana
H^{-1}	Inversa de la matriz Hessiana
A	Coefficientes de las restricciones
C_{aux}	Matriz auxiliar para el cálculo del gradiente
$b_{\Delta u_{max}}$	Término independiente de las restricciones sobre Δu_{max}
$b_{\Delta u_{min}}$	Término independiente de las restricciones sobre Δu_{min}
d_{aux}	Matriz utilizada por el optimizador
P	Matriz utilizada por el optimizador

Tabla 1 – Matrices de valor constante en la ejecución del DMC

3.4.2. Matrices variables

Aquellas matrices que requieren los últimos datos obtenidos del sistema o aplicados sobre éste deben ser recalculadas en cada ciclo.

Matriz	Descripción
Δu	Acciones de control calculadas
L	Matriz auxiliar para el cálculo de la respuesta libre
T	Respuesta libre
R	Trayectorias de referencia del sistema
D	Gradiente de la función de costes
$b_{u_{max}}$	Término independiente de las restricciones sobre u_{max}
$b_{u_{min}}$	Término independiente de las restricciones sobre u_{min}
$b_{\hat{y}_{max}}$	Término independiente de las restricciones sobre \hat{y}_{max}
$b_{\hat{y}_{min}}$	Término independiente de las restricciones sobre \hat{y}_{min}

Tabla 2 – Matrices de valor variable en la ejecución del DMC

3.5. Implementación del DMC en el PLC

Los PLCs son dispositivos que no están ideados con el fin de realizar cálculos matemáticos complejos o computacionalmente costosos y por otra parte cuentan con una capacidad de memoria de almacenamiento de programa y de datos muy limitada.

Una vez que los tamaños de las matrices involucradas en el algoritmo han sido definidos, es posible realizar un análisis del espacio de almacenamiento que se requiere.

Nombre		Tipo	Tamaño	
			Filas	Columnas
<i>nSal</i>	<i>m</i>	Int	1	
<i>nEnt</i>	<i>n</i>	Int	1	
<i>nPer</i>	<i>l</i>	Int	1	
<i>nCoef</i>	N_i	Int	1	<i>m</i>
<i>Sum_nCoef</i>	$\sum N_i$	Int	1	
g		Float	$\sum N_i$	<i>n</i>
d		Float	$\sum N_i$	<i>l</i>
Ts		Float	1	

Tabla 3 – Definición del modelo

Nombre		Tipo	Tamaño	
			Filas	Columnas
<i>N1</i>		Int	1	<i>m</i>
<i>N2</i>		Int	1	<i>m</i>
<i>Nu</i>		Int	1	<i>n</i>
<i>gamma</i>		Float	1	<i>m</i>
<i>beta</i>		Float	1	<i>n</i>
<i>rho</i>		Float	1	<i>m</i>
<i>Sum_N2</i>	$\sum N_{2i}$	Int	1	
<i>Sum_N2_N1</i>	$\sum(N_{2i} - N_{1i} + 1)$	Int	1	
<i>Sum_Nu</i>	$\sum N_{uj}$	Int	1	
<i>Du_{Min}</i>		Float	1	<i>n</i>
<i>Du_{Max}</i>		Float	1	<i>n</i>
<i>u_{Min}</i>		Float	1	<i>n</i>
<i>u_{Max}</i>		Float	1	<i>n</i>
<i>y_{Min}</i>		Float	1	<i>m</i>
<i>y_{Max}</i>		Float	1	<i>m</i>

Tabla 4 – Sintonización del DMC

Nombre	Tipo	Tamaño	
		Filas	Columnas
u	Float	n	1
u_{Old}	Float	n	1
Du	Float	n	1
Du_p	Float	$\sum N_{u_j}$	1
v	Float	l	1
v_{Old}	Float	l	1
Dv	Float	l	1
y_m	Float	1	m

Tabla 5 – Vectores de datos del proceso

Nombre	Tipo	Tamaño	
		Filas	Columnas
G_g	Float	$\sum N_{u_j}$	$\sum N_{2_i}$
G	Float	$\sum N_{u_j}$	$\sum(N_{2_i} - N_{1_i} + 1)$
D_{Sum}	Float	m	$\sum N_{2_i}$
L	Float	$\sum N_i$	1
T	Float	$\sum N_{2_i}$	1
R	Float	$\sum N_{2_i}$	1
D	Float	$\sum(N_{2_i} - N_{1_i} + 1)$	1
G_{Aux}	Float	$\sum N_{u_j}$	$\sum(N_{2_i} - N_{1_i} + 1)$
C_{Aux}	Float	$\sum N_{u_j}$	$\sum(N_{2_i} - N_{1_i} + 1)$
C	Float	$\sum N_{u_j} + m$	1
H	Float	$\sum N_{u_j} + m$	$\sum N_{u_j} + m$
A	Float	$4 \sum N_{u_j} + 2 \sum N_{2_i} + m$	$\sum N_{u_j} + m$
B	Float	$4 \sum N_{u_j} + 2 \sum N_{2_i} + m$	1

Tabla 6 – Cálculo de datos del problema de optimización

Nombre	Tipo	Tamaño	
		Filas	Columnas
H_{Aux}	Float	$\sum N_{u_j} + m$	$\sum N_{u_j} + m$
H_{Inv}	Float	$\sum N_{u_j} + m$	$\sum N_{u_j} + m$

Tabla 7 – Inversión de la matriz Hessiana

Nombre	Tipo	Tamaño	
		Filas	Columnas
H_{Aux}	Float	$\sum N_{u_j} + m$	$\sum N_{u_j} + m$
H_{Inv}	Float	$\sum N_{u_j} + m$	$\sum N_{u_j} + m$
$Aux_2 (P_{Aux})$	Float	$\sum N_{u_j} + m$	$4 \sum N_{u_j} + 2 \sum N_{2_i} + m$
P	Float	$4 \sum N_{u_j} + 2 \sum N_{2_i} + m$	$4 \sum N_{u_j} + 2 \sum N_{2_i} + m$
eta	Float	$\sum N_{u_j} + m$	1
$lambda$	Float	$4 \sum N_{u_j} + 2 \sum N_{2_i} + m$	1
$lambda_p$	Float	$4 \sum N_{u_j} + 2 \sum N_{2_i} + m$	1
w	Float		1
la	Float		1
al	Float		1

Tabla 8 – Cálculos del optimizador

El objetivo de la implementación del DMC en un PLC es controlar sistemas multivariables con restricciones pequeños, con pocas entradas y salidas. Si se calcula el espacio requerido para un sistema con la configuración y las dimensiones que se especifican en la Tabla 9, se obtiene que el tamaño requerido para las matrices del controlador es de unos 315 KBytes, de los cuales 236000 se consumen en la matriz P del controlador.

Tamaño del problema		Tamaño de los datos
nSal_Max	3	313188 Bytes
nEnt_Max	3	
nPer_Max	3	
nCoef_Max	100	
N2_Max	30	
Nu_Max	5	

Tabla 9 – Tamaño requerido por las matrices

Los PLCs de Siemens no permiten dimensionar las matrices en función de los parámetros del problema, por lo es necesario predefinir el tamaño máximo de todas las matrices, aunque hay que recalcar que las operaciones que se realizan tienen siempre en cuenta la dimensión real del problema.

Otra de las particularidades de la implementación en el PLC es el hecho de que el tamaño máximo de una estructura de datos está limitado al de un *Data Block*, de manera que si una matriz excede los 64KB permitidos en una sola DB es necesario partirla en varias.

Capítulo 4 . VALIDACIÓN DE RESULTADOS

1. Introducción

La verificación del funcionamiento de los algoritmos MPC implementados se realiza, al igual que su implementación, en dos fases. En primer lugar, se comprobarán los resultados obtenidos en Matlab o EcosimPro para, a continuación, contrastar sobre ellos la implementación en el PLC.

2. Predictive Functional Control

El caso de estudio del que se dispone para testear el PFC es un lazo de regulación de presión. Este proceso no es el modelo más representativo para estudiar el buen comportamiento del controlador puesto que se trata de un sistema con un retardo prácticamente nulo, pero sirve para verificar su comportamiento en un proceso real.

El sistema está compuesto por los siguientes elementos:

- Un autómata Siemens 315-2 PN/DP provisto de entradas y salidas analógicas y digitales.
- Un variador de frecuencia Omron VS mini J7.
- Un compresor JUN-AIR Quiet Air 6-25.
- Un transductor de presión Design Instruments TPR-14/N.



Figura 4.1 – Lazo de control de presión

2.1. Identificación del sistema

El primer paso a realizar es la obtención del modelo del sistema. Para ello se utilizará la herramienta de identificación de sistemas de primer orden con retardo que integra UNICOS. La aplicación utiliza un método de identificación en lazo abierto estándar, en el que aplicando un escalón en la entrada y realizando un análisis de la salida obtenida es capaz de calcular los parámetros del modelo de primer orden con retardo del sistema, asumiendo siempre que se debe partir de un estado estacionario del sistema y que, al final del experimento, se alcanzará otro.

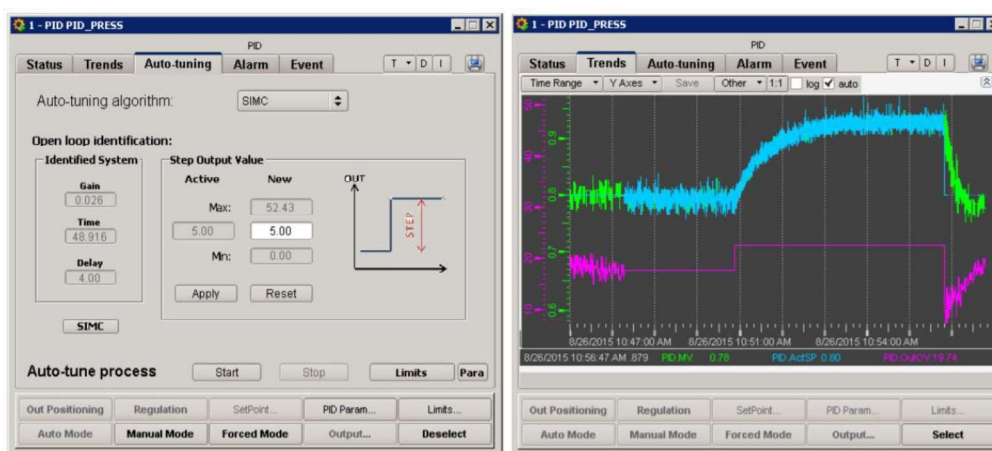


Figura 4.2 – Identificación del sistema

El resultado de la identificación que se obtiene es el siguiente:

$$y_0 = 0.8 \text{ Bar} \quad u_0 = 20\text{Hz} \quad \Delta u = 5\text{Hz} \quad [4.1]$$

$$\frac{\Delta y}{\Delta u} = \frac{0.026}{49.916s + 1} e^{-4s}$$

Para comprobar los resultados obtenidos con el PFC se van a comparar los resultados que se obtengan con los de un PID común. Para obtener los parámetros de sintonía del PID en cuestión también se recurrirá a la herramienta de autosintonía que incluye UNICOS. Sin entrar en más detalles sobre la utilización de dicha herramienta, simplemente es necesario indicar que se ha seleccionado una configuración PI para el controlador, de tal modo que la dinámica final de la respuesta del sistema sea robusta, sin sobrepaso.

La configuración resultante, como se muestra en la Figura 4.3, es $P = 84.4$ y $T_i = 52.52$.

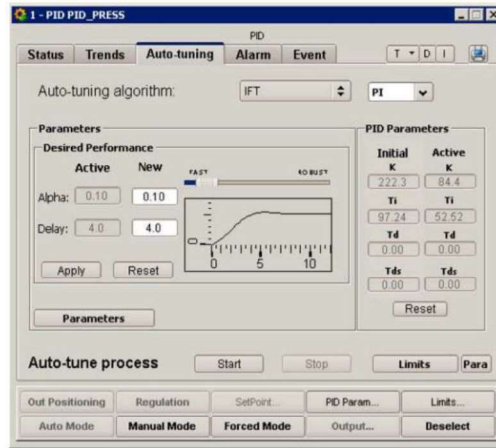


Figura 4.3 – Obtención de los parámetros del PID

2.2. Validación del controlador en EcosimPro

El algoritmo de control del PFC se ha encapsulado dentro de un bloque cuyas entradas son el valor *set point* y la medida de la variable controlada del proceso y la salida la acción de control a aplicar sobre la variable manipulada. Como datos de configuración del componente aparecen el parámetro del filtro aplicado a la estimación de la perturbación α y los valores λ y N que determinan el punto de coincidencia del sistema con la referencia.

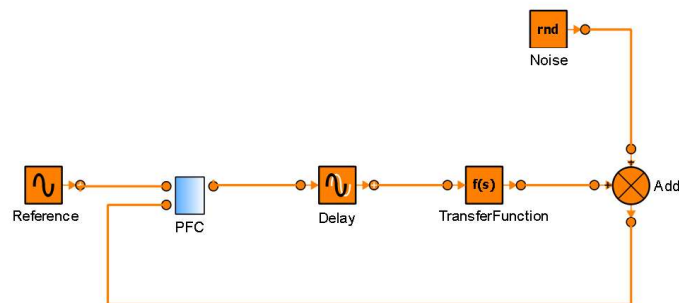


Figura 4.4 – Lazo de control en EcosimPro

2.2.1. Sintonía del controlador

El primer paso es determinar el tiempo de muestreo. En la Figura 4.2 se realizó un ensayo en lazo abierto sobre el sistema, donde se ve que el tiempo de asentamiento es de aproximadamente 2 minutos. En base a esto, se puede determinar que el periodo del controlador deberá estar en torno a los 4s y la acción del sistema es directa.

$$T_s = \frac{t_s}{S} = \frac{120s}{30} = 4s \quad [4.2]$$

En primer lugar, se han definido unos parámetros de sintonía para el PID y para el PFC que generaran la misma respuesta en el sistema si éste no tuviera retardo y considerando que no hay errores de modelado ni ruido en las señales, para así poder comparar después los resultados que se obtienen en distintos escenarios con este resultado inicial. Para ello se ha reducido la ganancia del PID a $K_p = 40$ y se ha mantenido el tiempo integral $T_i = 50$ y se ha sintonizado el PFC, para que también tenga una respuesta robusta, con unos parámetros $\lambda = 0.8$ y $N = 30$. Es importante señalar que el parámetro N seleccionado debe ser un punto en el que el sistema se haya podido estabilizar, por lo que se debe haber tenido en consideración el tiempo de asentamiento del sistema.

Para verificar que se cumple que las respuestas de ambos controladores son, si no iguales, muy similares partiendo de esa sintonía inicial se realizará un ensayo en el que se aplica, partiendo de un estado inicial $y_0 = 0.8 \text{ Bar}$ estable, un incremento de 0.1 Bar en el *set point* en $t = 500 \text{ s}$.

La Figura 4.5 muestra los resultados obtenidos con la configuración indicada. Las gráfica 1 muestra que, tanto la salida del sistema que se genera con el PFC (y_{PFC}) como la que se obtiene con el PID (y_{PID}) alcanzan la referencia (w) en unos 200s. Ambas salidas tienen prácticamente la misma dinámica, siendo ligeramente más rápida la controlada por el PFC. Además, como no hay ruido en el sistema ni errores de modelado, la salida del modelo (y_{Model}) y la del proceso (y_{PFC}) se solapan completamente. La gráfica 2 muestran las acciones de control o salidas de los controladores. La acción de control generada por el PFC (u_{PFC}) es algo más agresiva que la obtenida del PID (u_{PID}).

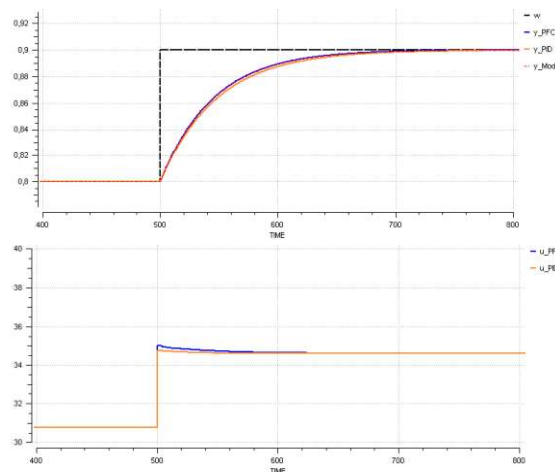


Figura 4.5 – Comparativa PFC y PID: Caso ideal sin retardo en el sistema

Una vez que se ha verificado que, con esos parámetros de sintonía ambos controladores parten de un estado inicial en el que presentaban un comportamiento similar, se han introducido el retardo del sistema y un ruido blanco en la medida.

El experimento que se realiza parte, igual que en el caso anterior, de un estado inicial estable y se aplica un incremento de 0.1Bar en el *set point* en $t = 500s$.

En la gráfica 1 de la Figura 4.6 se puede ver que las tres salidas se superponen y alcanzan el estacionario al mismo tiempo. La gráfica 3 muestra la salida de ambos controladores. Mientras que en el caso anterior, Figura 4.5, el valor máximo lo alcanzaba la salida del PFC (u_{PFC}), en este caso el efecto del retardo ha hecho que el valor máximo de la salida del PID (u_{PID}) aumente. Como el retardo en el sistema es muy pequeño, el funcionamiento del PID es tan adecuado como el del PFC en este caso. También se puede apreciar que como el valor de la perturbación medible estimada no está filtrado (Gráfica 2) la acción de control del PFC varía más que la del PID.

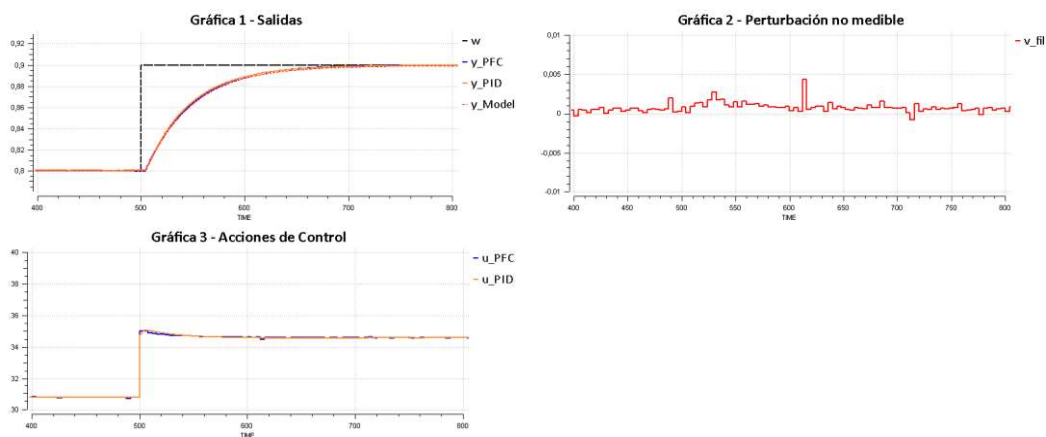


Figura 4.6 –Comparativa PFC y PID: Modelo del sistema con ruido y retardo

El siguiente paso será modificar los parámetros del controlador para obtener una respuesta más agresiva o más robusta. Para lograr una dinámica más rápida en el sistema, el punto de coincidencia fijado deberá estar más cerca, utilizando un N menor, y el parámetro λ deberá ser más cercano a 0. Si por el contrario se pretende obtener una respuesta más robusta el punto de coincidencia deberá estar más alejado y la trayectoria de referencia determinada por λ será más cercana a 1.

A continuación se han realizado dos test con las mismas características que el caso anterior, modificando solamente los parámetros N y λ del PFC. En el primero, se han fijado $\lambda = 0.5$ y $N = 10$ y en el segundo $\lambda = 0.95$ y $N = 35$.

La Figura 4.7 muestra en la gráfica 2 que la acción de control generada por el PFC (u_{PFC}) es ahora más agresiva que la del PID (u_{PID}), lo que implica que en la gráfica 1 la dinámica de la salida obtenida con el PFC (y_{PFC}) más rápida que la del PID (y_{PID}).

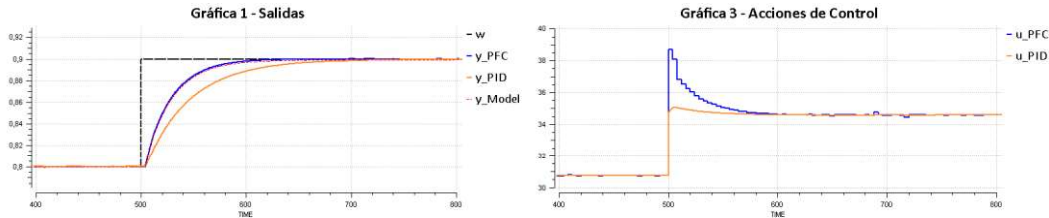


Figura 4.7 – Comparativa PFC y PID: $\lambda = 0,5$ y $N = 10$

En la Figura 4.8 se observa el efecto contrario. La gráfica 1 muestra una respuesta de la variable controlada por el PFC (y_{PFC}) más robusta debido a que la acción de control (u_{PFC}) es menos agresiva.

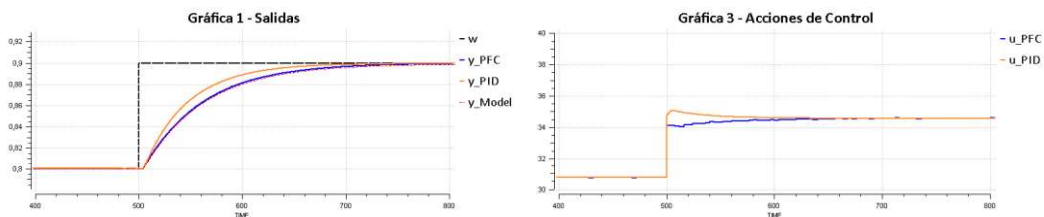


Figura 4.8 – Comparativa PFC y PID: $\lambda = 0,95$ y $N = 30$

El PFC también es robusto ante errores de modelado. Para la realización de los siguientes tests, se han definido las funciones de transferencia que se muestran en la ecuación [4.3] para el comportamiento del proceso y el del modelo. Dichas funciones contienen errores en los tres parámetros, la ganancia, la constante de tiempo y el retardo.

$$G_p = \frac{0.026}{49.916s+1} e^{-4s} \quad G_m = \frac{0.0255}{50s+1} e^{-5s} \quad [4.3]$$

Los parámetros de sintonía del controlador PFC serán $\lambda = 0.8$ y $N = 30$ y se realizará un cambio en la referencia en las mismas condiciones que en los ensayos anteriores.

La gráfica 2 de la Figura 4.9 muestra que la perturbación no medible absorbe la diferencia entre la salida del modelo (y_{Model}) y la del proceso (y_{PFC}) que aparecen en la gráfica 1. La salida del sistema (y_{PFC}) alcanza el estacionario con la misma dinámica que en la Figura 4.6 y generando una acción de control (u_{PFC}) también igual que en los casos en los que no había error en el modelo.

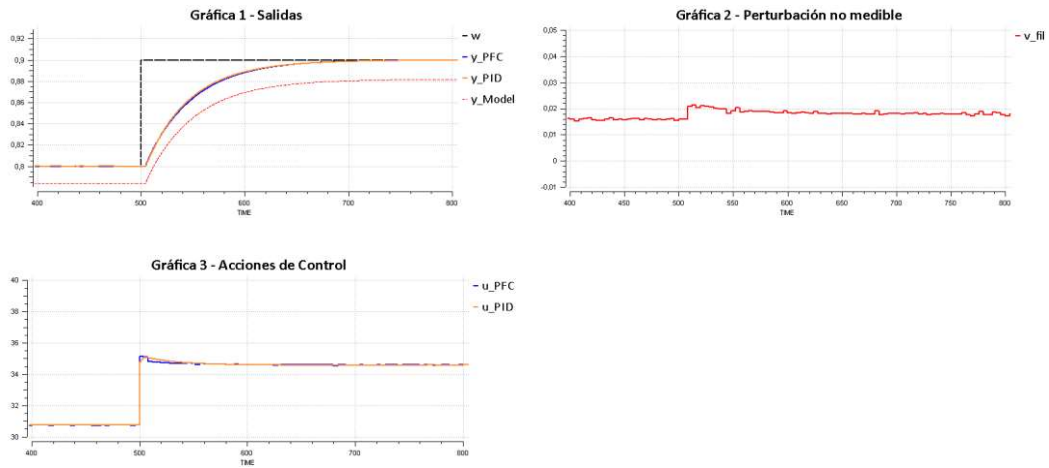


Figura 4.9 – Comparativa PFC y PID: $\tau = 50$ y $k = 0,0255$

2.2.2. Validación del controlador sobre sistemas con grandes retardos

El sistema que se ha seleccionado no es el más adecuado considerando que una de las mayores fortalezas de este método se hace patente en sistemas con grandes retardos.

A continuación, de modificará el modelo del proceso a uno con un retardo mayor con $d = 40s$, manteniendo los parámetros de sintonía del controlador en $\lambda = 0,8$ y $N = 30$.

La Figura 4.10 muestra en la gráfica 2 que la acción de control generada por el PID (u_{PID}) es mucho más agresiva que la del PFC (u_{PFC}), que mantiene su valor máximo en torno a los 35Hz que se obtenían en los casos con un retardo menor. Las salidas del sistema que se muestran en la gráfica 1 hacen ver que si el retardo fuera mayor, la salida controlada por el PID (y_{PID}) se acabaría volviendo inestable, mientras que sobre la regulada por el PFC no se observa esta problemática.

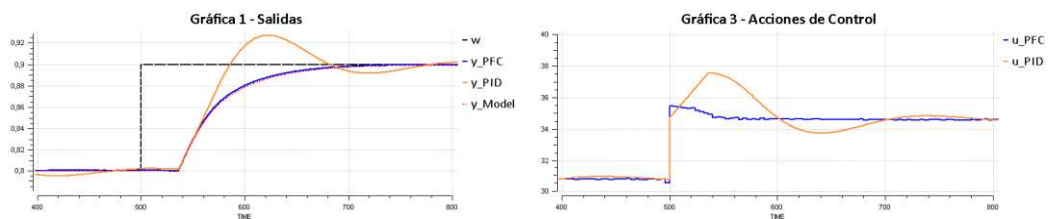


Figura 4.10 – Ensayo PFC: $d = 30s$, $\lambda = 0,80$ y $N = 30$

2.3. Validación del controlador en una planta real

La implementación del algoritmo del PFC se ha testado directamente sobre el sistema del compresor, utilizando como modelo la identificación obtenida en el apartado anterior [4.1] y el tiempo de muestreo definido en la ecuación [4.2].

La validación del controlador se realizará aplicando una serie de cambios en la referencia del sistema y verificando que la salida es capaz de seguirla con la dinámica apropiada.

Se realizarán dos ensayos consecutivos con diferentes sintonías en el controlador, en los que se aplica el mismo incremento sobre la referencia del sistema para comparar los resultados. En el primer ensayo los valores de los parámetros del PFC serán $\lambda = 0.60$ y $N = 20$ y en el segundo $\lambda = 0.20$ y $N = 10$.

La Figura 4.11 muestra los resultados obtenidos de la prueba realizada. En azul aparece la referencia, en verde la salida del sistema (presión [Bar]) y en magenta la acción de control (frecuencia [Hz]).

En los dos primeros experimentos realizados se ha aplicado una variación en la referencia de 0.2Bar, primero negativa y después positiva. En ambos casos se puede ver que el sistema alcanza el *set point* requerido con una dinámica lenta. La acción de control que se aplica para ello alcanza un valor máximo $\Delta u = 20\text{Hz}$ aproximadamente respecto del valor inicial.

A continuación se han aplicado dos nuevos cambios en la referencia iguales a los anteriores, ahora habiendo modificado los parámetros de sintonía del controlador para que tenga un comportamiento más agresivo.



Figura 4.11 – Ensayo sobre planta real

Se puede ver en este caso que, efectivamente, la acción de control generada es mucho más agresiva ante el mismo cambio en el *set point*, llegando incluso a saturar el actuador, lo que implica un cambio máximo sobre el valor inicial de $\Delta u = 30Hz$, aunque podría haber sido mayor si no hubiera saturado. Por otra parte, se puede apreciar que la respuesta del sistema presenta un sobrepico. Esto es debido a que el valor N que fija la posición x del punto de coincidencia que se ha seleccionado no era suficientemente grande para asegurar que el sistema estaba en estacionario.

3. Dynamic Matrix Control

El controlador DMC ha sido implementado tanto en Matlab, como sobre el PLC. La verificación del funcionamiento del controlador en Matlab se realizará comparando los resultados obtenidos en dicho entorno con los resultados de HITO, un controlador predictivo comercial que contiene, entre otros muchos, el algoritmo DMC.

Una vez validada la implementación de Matlab, se comprobará que en el PLC se consiguen los mismos resultados.

3.1. Herramienta Integrada para Total Optimización (HITO)

HITO es un paquete de software comercial orientado a la industria de procesos para la implementación de un control jerárquico desarrollado por el departamento de Ingeniería de Sistemas y Automática de la Universidad de Valladolid (Prada, Cristea, Zamarreño, & Álvarez, 1999).

Esta aplicación utiliza técnicas de control que permiten el control de sistemas multivariables con restricciones, así como la de optimización de consignas aplicando los conceptos del control predictivo a la optimización económica de procesos. HITO ofrece un variado repertorio de algoritmos de control predictivo lineal y no-lineal que permiten seleccionar la técnica más adecuada para el tipo de proceso y los objetivos de control de cada aplicación.

Además de las herramientas de control, HITO incluye un amplio rango de herramientas de identificación de procesos, simulación, sistemas expertos en supervisión y diagnóstico.

3.2. Validación del controlador en Matlab

El sistema elegido para hacer las pruebas pertinentes es un reactor químico exotérmico, en el que tiene lugar la reacción de conversión de un producto A en otro B. Las variables manipuladas o entradas del proceso son:

- Caudal de refrigerante: $F_r [m^3/h]$
- Caudal de entrada del producto A: $F_l [m^3/h]$

Las variables controladas o salidas son:

- Concentración de salida del producto A: $C_a [Kg - mol/m^3]$
- Concentración de salida del producto B: $C_b [Kg - mol/m^3]$
- Temperatura en el reactor: $T_l [^{\circ}C]$

Y las perturbaciones medibles son:

- Concentración de entrada del producto A: $C_a [Kg - mol/m^3]$
- Temperatura del flujo de entrada: $T_{l_0} [^{\circ}C]$
- Temperatura de entrada del refrigerante: $T_{r_0} [^{\circ}C]$

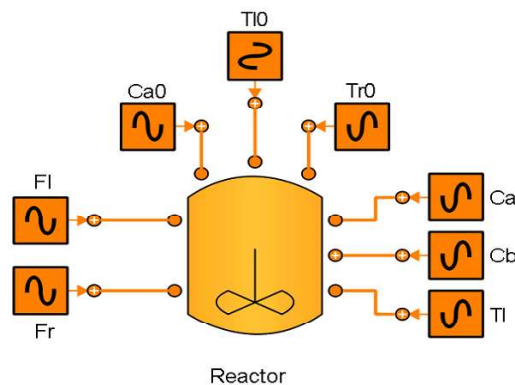


Figura 4.12 – Sistema del reactor

Se trata, por tanto, de un sistema multivariable con pocas entradas y salidas, en el que el grado de interacción entre las variables de este proceso es demasiado alto como para plantear lazos de control independientes entre las entradas y las salidas, a lo que además hay que añadir el efecto de las diferentes perturbaciones del sistema, de modo que es un caso apropiado de estudio para el tipo de problemática que se quiere abordar.

3.2.1. Identificación del sistema

Considerando que todos los parámetros que definen el proceso son conocidos y se puede definir su comportamiento planteando los balances de materia y energía del sistema, una forma de obtener el modelo es linealizar las ecuaciones diferenciales en torno al punto en que se vaya a trabajar y obtener las funciones de transferencia del sistema. Una vez conocidas, a partir de ellas, se pueden obtener los coeficientes de la respuesta salto.

La Figura 4.13 que se muestra a continuación contiene los coeficientes de la respuesta salto entre las entradas y las salidas del sistema y la Figura 4.14 entre las perturbaciones medibles y las salidas.

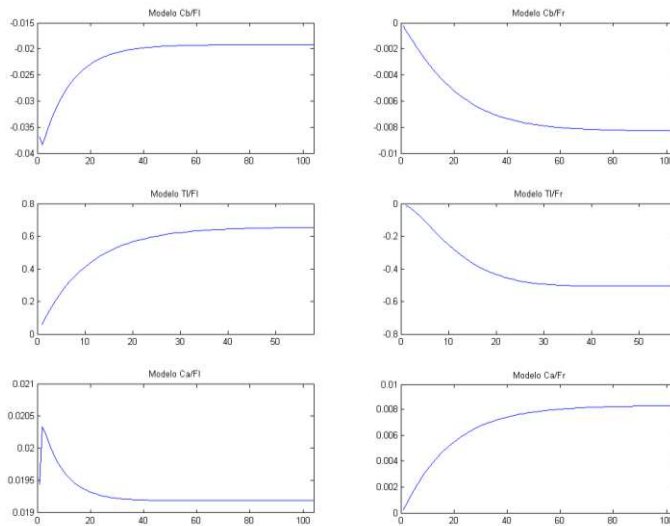


Figura 4.13 – Identificación de los modelos entrada/salida

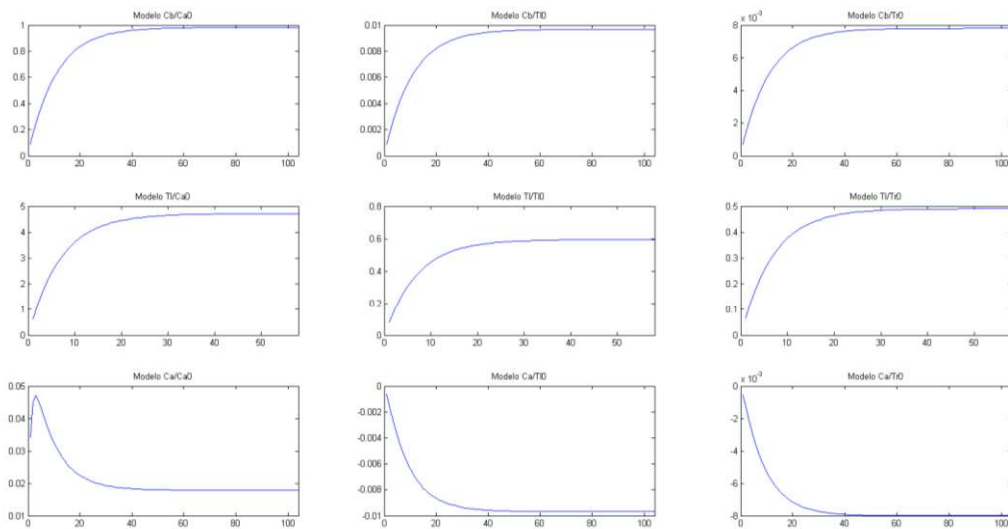


Figura 4.14 – Identificación de los modelos perturbación/salida

Si se analizan las respuestas obtenidas, se puede encontrar que algunos contienen respuestas de fase no mínima, como en el caso del modelo de la Figura 4.13 entre la concentración de reactivo A en la salida el caudal de reactivo de entrada o en la Figura 4.14 entre la concentración de reactivo A en la salida y en la entrada.

El control de sistemas con dinámicas complejas como los ejemplos que se acaban de mencionar es otra de las fortalezas de los controladores MPC.

3.2.2. Sintonía de parámetros

3.2.2.1. Pesos en la función de costes

Se debe asignar un peso al error de cada salida y así como al esfuerzo de control generado por cada una de las entradas.

Dado que el sistema tiene tres variables controladas y sólo dos manipuladas, no es posible configurar las tres salidas para que sigan una referencia. La práctica habitual en estos casos es configurar dos de las salidas para seguimiento de referencia y en la tercera solamente se comprueba que esté dentro de los límites permitidos, definiendo para ella un peso mucho menor. De este modo, la salida que mayor prioridad tiene es la C_b , puesto que es el objetivo del proceso y la C_a sólo deberá mantenerse dentro del rango permitido. De esta forma se obtiene:

$$\gamma = [3, 1, 0]$$

Las acciones de control, en este caso, serán penalizadas por igual, de manera que tengan una cierta importancia en la función de costes, pero no demasiada.

$$\beta = [0.5, 0.5]$$

Por último, el incumplimiento de los límites de la salida del sistema ha sido implementado como una restricción blanda, de manera que hay que determinar el peso que penalizará dicho incumplimiento. El valor debe ser lo suficientemente alto como para que su valor sea significativo en el total del coste.

$$\rho = [1000, 1000, 1000]$$

3.2.2.2. Horizontes del controlador

Los horizontes de predicción, de coincidencia y de control deben fijarse en base al conocimiento que se tiene del proceso.

La Figura 4.13 y la Figura 4.14 muestran los modelos obtenidos para el sistema. En ellas, se puede ver que las salidas 1 (C_b) y 2, (T_l) tienen una respuesta de primer orden, mientras que la salida 3 (C_a) presenta una dinámica de fase no mínima en alguno de los casos, aunque no en todos. De cualquier modo, hay que tener en cuenta que el peso de esta variable en el total del coste va a hacer que su error no sea demasiado significativo. El comienzo del horizonte de coincidencia podría ser, por tanto:

$$N_1 = [1, 1, 5]$$

Siguiendo un razonamiento similar se puede estimar el final del horizonte de coincidencia.

$$N_2 = [60, 40, 40]$$

El horizonte de control determina el número de acciones de control permitidas en cada optimización para alcanzar la referencia, aunque por otra parte aumentará o reducirá el número de grados de libertad del problema, afectando por tanto al tiempo que tarda el optimizador en hallar la solución. Fijar un $N_u = 2$ suele ser suficiente para lograr que las acciones de control generadas ante un cambio en la referencia no sean demasiado agresivas.

$$N_u = [2, 2]$$

3.2.2.3. Límites de las variables

Los límites en las variables controladas y manipuladas vienen dados por los elementos físicos (sensores y actuadores) y por el propio proceso. En este caso, sus valores son:

$$\Delta u_{Min} = [-5.0, -5.0]$$

$$\Delta u_{Max} = [5.0, 5.0]$$

$$u_{Min} = [10.0, 8.0]$$

$$u_{Max} = [56.0, 57.0]$$

$$y_{Min} = [6.2, 55.0, 0.0]$$

$$y_{Max} = [8.0, 74.0, 1.5]$$

3.2.2.4. Trayectoria de referencia

La dinámica deseada, por el momento, se quiere que sea robusta, de manera que se fija un α cercano a 1.

$$\alpha = [0.9, 0.9, 0.9]$$

3.2.2.5. Número máximo de iteraciones del optimizador

En el caso de que la solución analítica del problema de optimización no verifique las restricciones, el optimizador comenzará con un método iterativo de búsqueda de la solución.

Sobre todo de cara a la implementación en el PLC es necesario determinar un número máximo de ciclos de búsqueda para asegurar los cumplimientos de tiempos que requiere.

3.2.3. Comportamiento del controlador

La validación de la respuesta del controlador se realizará aplicando diferentes cambios en la referencia y en las perturbaciones. En estos casos se analizará el comportamiento del optimizador, el número de iteraciones que necesita para obtener el resultado y si verifica todas las restricciones, y el comportamiento del sistema.

3.2.3.1. Seguimiento de referencia

El primer test se realizará introduciendo solamente cambios en el *set point* de las variables controladas del sistema.

En la Figura 4.15 se puede observar que las salidas del sistema 1 y 2 siguen la referencia indicada, mientras que la 3 sólo verifica el cumplimiento de los límites que se han impuesto. El fuerte acoplamiento que hay entre las variables del sistema hace que un cambio en una de las referencias consiga que las demás salidas se vean afectadas pero, como se puede ver, estas perturbaciones se rechazan rápidamente.

Respecto al cumplimiento de las restricciones, en la Figura 4.15 se puede ver que en el instante 350 el límite inferior de la salida c_B ha sido violado. Esto se debe a que las restricciones impuestas sobre las variables controladas son blandas y solamente suponen un peso añadido a la función de costes. En la Figura 4.16 se observa en cambio que, mientras el valor de la acción de control está dentro de los límites en todo momento, los incrementos rebasan el rango permitido en el instante 450. La razón de este incumplimiento es que el optimizador alcanzó en ese momento el número máximo de iteraciones permitidas, 15. El aumentar este parámetro del resolovedor incrementa las posibilidades de encontrar la solución óptima pero hay que perder de vista que esto afectará al tiempo de ciclo del controlador.

Capítulo 4. Validación de resultados

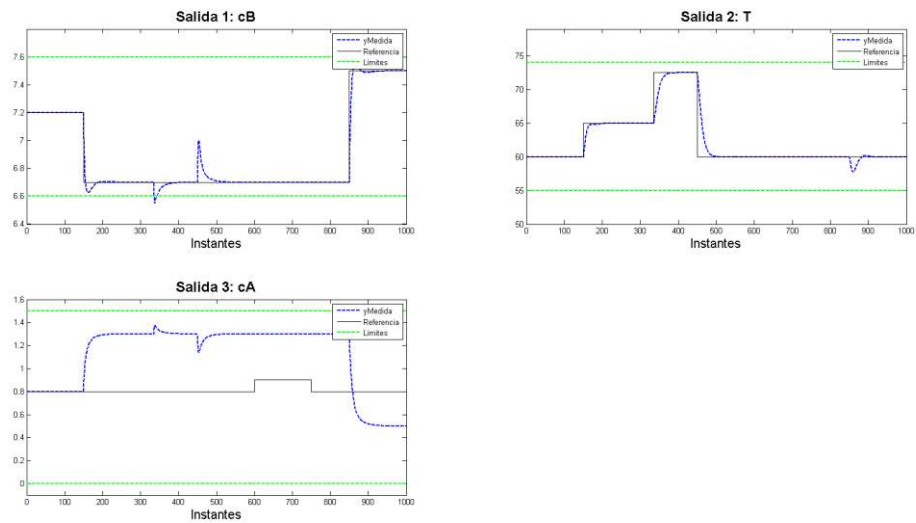


Figura 4.15 – Ensayo DMC. Seguimiento de la referencia (Salidas)

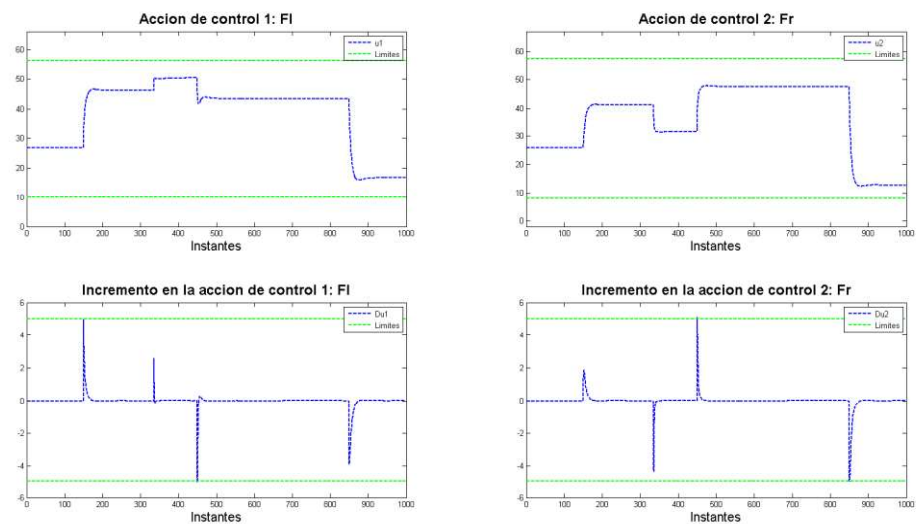


Figura 4.16 – Ensayo DMC. Seguimiento de la referencia (Acciones de control)

En este caso, el optimizador sólo ha recurrido al cálculo iterativo en una ocasión, en el punto en el que, en la Figura 4.16, se puede ver que el incremento en la acción de control superaba el valor permitido. El número máximo de iteraciones observadas en este test ha sido de cuatro.

3.2.3.2. Rechazo de perturbaciones

El siguiente caso muestra el comportamiento del controlador ante la presencia de perturbaciones. Para ello, se han añadido a los cambios en la referencia del apartado anterior una serie de perturbaciones (Figura 4.19) en las diferentes variables existentes. Además, el número de iteraciones máximo del optimizador se ha aumentado a 25.

Como muestra la Figura 4.18, el controlador es capaz de rechazar todas ellas y recuperar de nuevo el valor de referencia sobrepasando ligeramente los límites de las salidas en los instantes 225 y 350. Se puede ver también en la Figura 4.18 que el valor de las acciones de control se ha llevado a los límites en los dos casos, pero respetándolos en todo momento. Al haber incrementado el número de iteraciones del optimizador a 25 el punto 450, donde en el apartado anterior el incremento en las acciones de control superaba el valor permitido, ahora no lo hace, aunque sí se supera el límite en el punto 500, cuando apareció una perturbación sin que el sistema se hubiera recuperado del último cambio en la referencia.

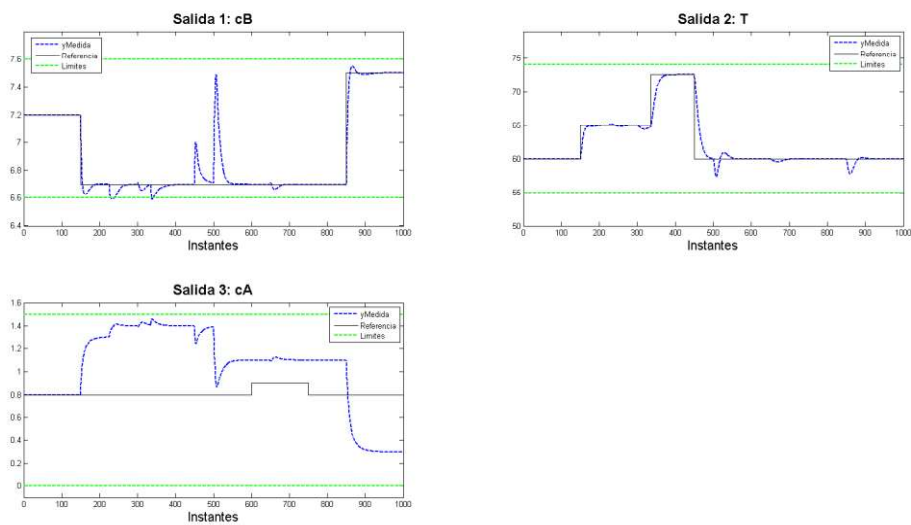


Figura 4.17 – Eayo DMC. Rechazo de perturbaciones (Salidas)

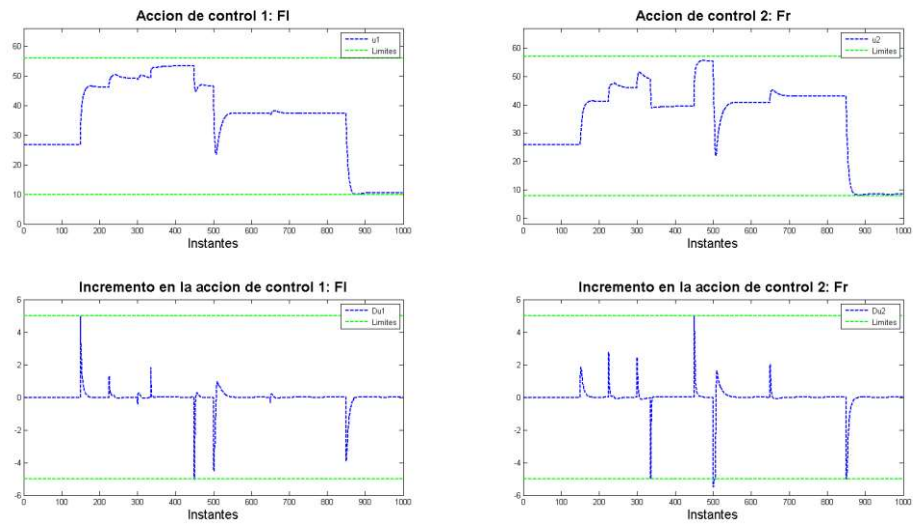


Figura 4.18 – Ensayo DMC. Rechazo de perturbaciones (Acción de control)

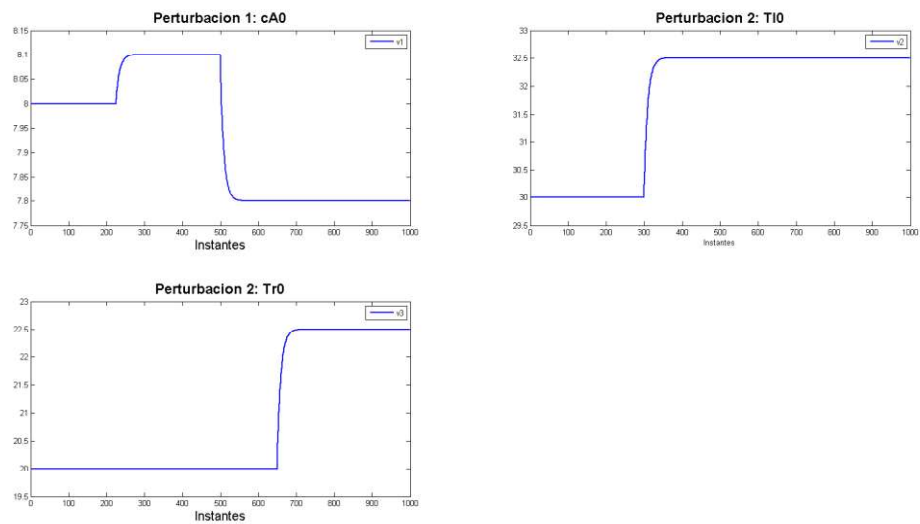


Figura 4.19 – Ensayo DMC. Rechazo de perturbaciones (Perturbaciones)

Analizando los resultados del optimizador, sólo ha necesitado en dos casos recurrir al cálculo numérico, con un máximo de 6 iteraciones.

3.3. Comparación de los resultados obtenidos con HITO

El último paso de la validación consiste en realizar el mismo experimento con una simulación en EcosimPro conectada al controlador HITO. Para ello, se modelado el proceso en base a las ecuaciones físicas que lo caracterizan y se ha sintonizado el controlador con los mismos parámetros que en el modelo de Matlab.

Capítulo 4. Validación de resultados

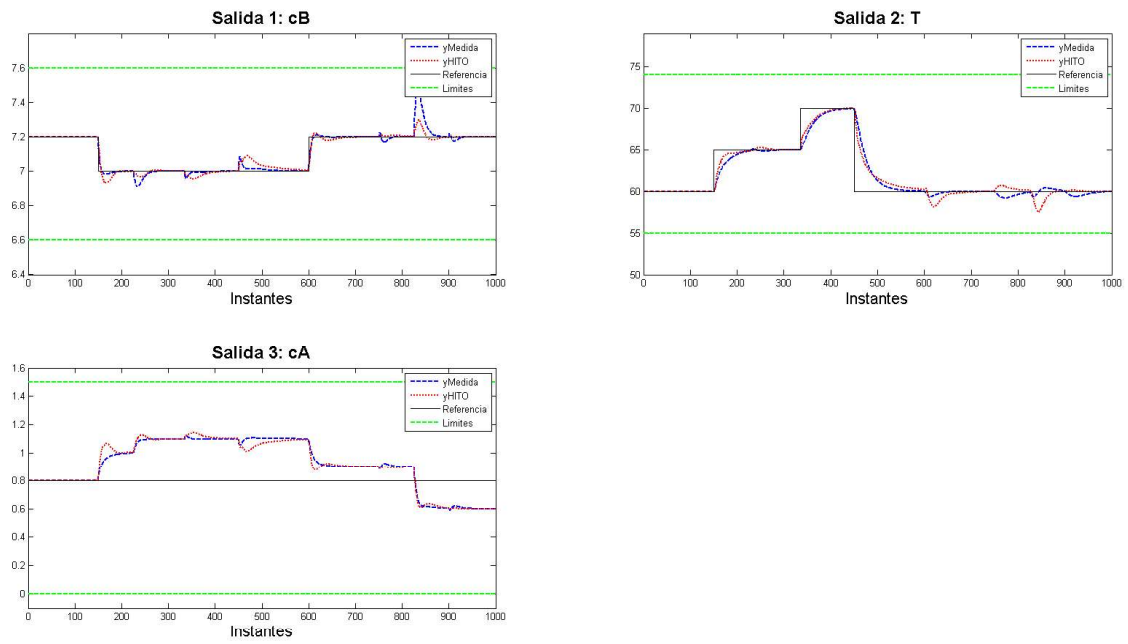


Figura 4.20 – Comparativa entre controlador en Matlab e HITO (Salidas)

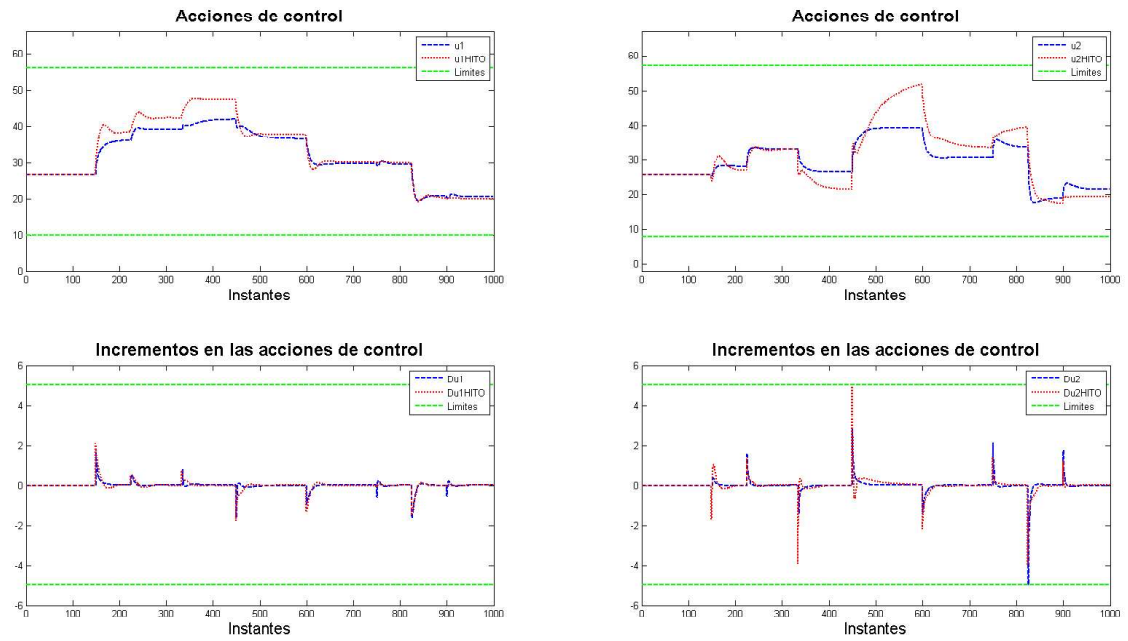


Figura 4.21 – Comparativa entre controlador en Matlab e HITO (Acciones de control)

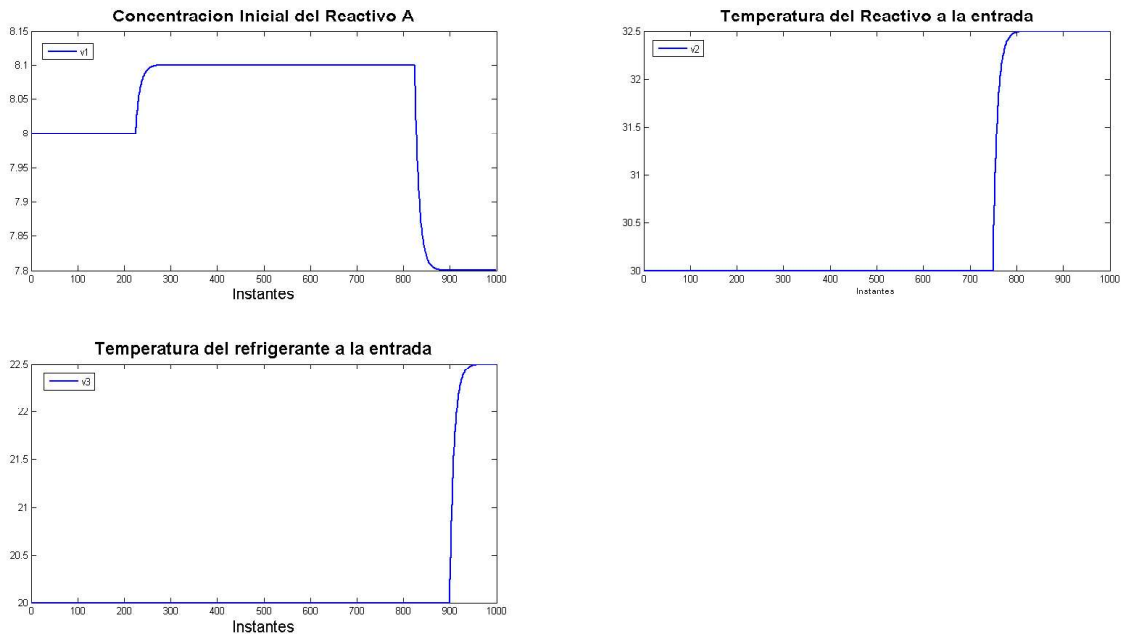


Figura 4.22 – Comparativa entre controlador en Matlab e HITO (Perturbaciones)

La Figura 4.20 muestra la comparativa entre las salidas obtenidas en Matlab y en HITO. En ella se puede ver que, en términos generales, los resultados obtenidos en las variables controladas del sistema son los mismos.

En la Figura 4.21 se pueden ver las acciones de control aplicadas en cada caso. En primer lugar se observa que los valores de los incrementos aplicados son más altos, en la mayoría de los casos, en el resultado obtenido en HITO. Esto puede ser debido a que en Matlab, los pesos β y γ se normalizan teniendo en cuenta el valor inicial de las variables y es posible que HITO aplique además otros criterios.

Teniendo en cuenta los resultados obtenidos en la comparativa, se puede considerar adecuado el funcionamiento de la implementación realizada en Matlab.

3.4. Validación del controlador en el PLC

Las pruebas del funcionamiento del DMC en un PLC se han realizado sobre una CPU (*Central Processing Unit*) de Siemens, modelo 315-2 PN/DP. Se ha seleccionado este equipo por ser uno de los más pequeños, en términos de memoria y capacidad de procesamiento, de Siemens y el menor de los utilizados en el CERN. De este modo, si se valida su funcionamiento en este terminal, se asegura el buen funcionamiento en modelos de gama superior.

Las pruebas que se quieren realizar en esta validación consisten en ejecutar el algoritmo del controlador en el PLC tomando como valores de entrada una serie de puntos de trabajo del sistema obtenidos de la simulación en Matlab.

A continuación, se evaluarán los siguientes aspectos:

- Dimensiones reales del controlador en la memoria del PLC.
- Validación de la función de inversión de matrices
- Comprobación del cálculo de la respuesta libre
- Comprobación los parámetros de entrada al optimizador
- Validación del funcionamiento del optimizador
 - o Número de iteraciones requeridas para converger
 - o Solución obtenida

3.4.1. Ocupación de la memoria

Como se mencionó en ocasiones anteriores, el tamaño máximo de las matrices del controlador debe ser definido de antemano. En el Capítulo 3 se calculó que el tamaño que requiere un lazo de control de tres entradas, tres salidas y tres perturbaciones medibles es de 313 KB, con unos horizontes de predicción y de control máximos $N_2 = 30$ y $N_u = 5$. La CPU 315-2 PN/DP tiene un espacio de memoria de trabajo de 384KB y de memoria retentiva de 128KB, haciendo un total de 412KB. Al espacio requerido por las matrices hay que añadir el ocupado por el código, que supone unos 55KB. Teniendo en cuenta todo lo anterior se puede afirmar que el modelo de CPU seleccionado tiene memoria suficiente para el controlador DMC en las condiciones que se han especificado.

Una vez descargado el código en el autómatas, como se puede observar en la Figura 4.23, la cantidad de memoria consumida es de 393KB, una cantidad algo superior a los 368KB que se habían calculado pero bastante cercana, de manera que se puede decir que se verifican los cálculos estimados.

El problema que se plantea en el reactor tiene unas dimensiones inferiores a las máximas definidas en este caso, de manera que podría ser implementado en el modelo de CPU elegido. Ajustar las dimensiones del problema al caso real, dos entradas, tres salidas y tres perturbaciones, reduciría unos 50KB el tamaño del problema, lo que sumado al espacio libre actual, sería más que suficiente para incluir la estructura de objetos y las comunicaciones con la capa superior de control de UNICOS.

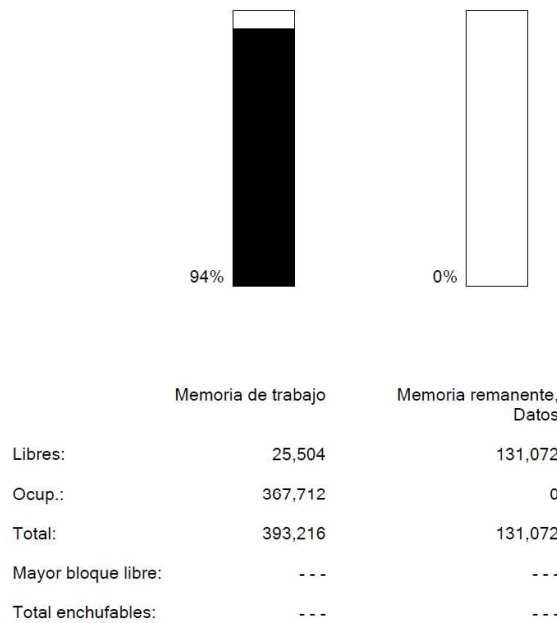


Figura 4.23 – Ocupación del DMC en la memoria de una CPU 315-2 PN/DP

3.4.2. Tiempo de ciclo

El tiempo que tarda el controlador DMC en obtener una solución viene determinado en gran medida por el tiempo que tarda el optimizador en resolver el problema QP con restricciones.

El método de Hildreth que se ha implementado obtiene la solución del problema en dos pasos. En primer lugar, calcula la solución analítica del problema sin restricciones. Si dicha solución verifica las restricciones impuestas, no realiza ninguna iteración en el optimizador. En el caso de que las restricciones no se cumplan, el optimizador realizará el número de iteraciones necesarias para converger a la solución óptima o hasta alcanzar el número máximo de iteraciones permitidas. Por tanto, el tiempo mínimo entre llamadas al controlador vendrá determinado por el número de iteraciones máximo que se defina.

El objetivo de los test que se van a realizar es determinar el tiempo que necesita la CPU para cada ciclo del controlador que será, en el mejor de los casos, cuando la solución analítica al problema de optimización verifica las restricciones, y en el más desfavorable, cuando el optimizador alcanza el número máximo de iteraciones en la búsqueda de la solución.

En un modo normal de funcionamiento, el controlador se llama de forma cíclica desde un bloque de organización de interrupción en un PLC, pero para poder registrar los tiempos de ejecución del algoritmo, máximos y mínimos, el controlador se ejecutará en primer lugar en bloque de organización principal del autómatas, que se ejecuta continuamente y se puede monitorizar su duración.

Para la obtención de estos resultados se han seleccionado dos puntos de trabajo en Matlab de manera que, en el primero la solución óptima se obtiene de forma analítica y, en el segundo, se requiere de 18 iteraciones para alcanzarlo. El número máximo de iteraciones se ha fijado en 15 para que salga de la rutina del optimizador cuando se haya alcanzado el número máximo.

Los parámetros de sintonía del controlador que afectan al tiempo de ciclo son aquellos que determinan en el tamaño del problema. Si se considera un número fijo de entradas, salidas y perturbaciones, la dimensión del problema de optimización que se debe resolver quedará establecida por los horizontes de predicción y control. Para realizar las pruebas se han fijado $N_{2i} = 30$ y $N_{u_j} = 2$.

La Figura 4.24 muestra, en primer lugar, el tiempo de ciclo del controlador en un punto de trabajo en el que no se requieren iteraciones del optimizador, obteniendo un resultado que oscila alrededor de los 60ms.

También en la Figura 4.24 en la imagen de la derecha, se muestra el tiempo de ciclo del controlador en un punto de trabajo en el que la optimización termina tras 15 iteraciones por haber superado el número máximo permitido. En este caso el tiempo de ciclo del PLC muestra un resultado de aproximadamente 5500ms.

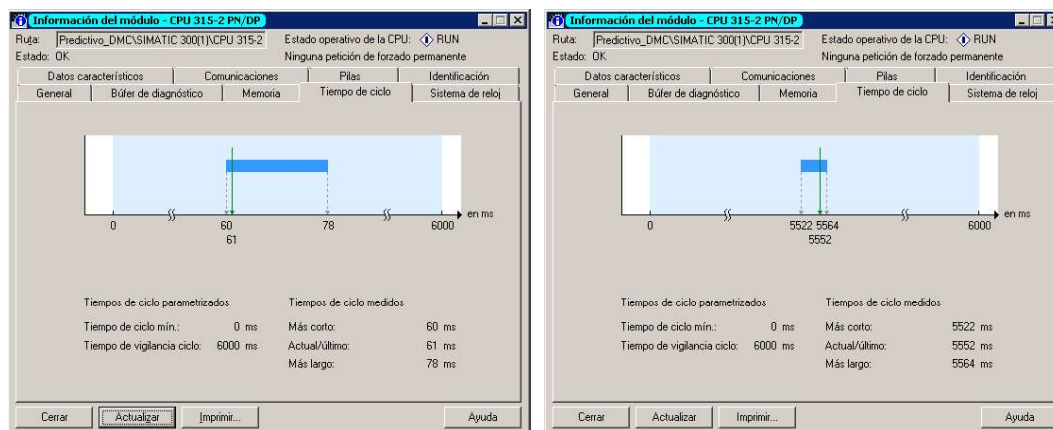


Figura 4.24 – Tiempo mínimo y máximo de ejecución del controlador

Los resultados obtenidos son, por tanto, 60ms en el caso de la solución analítica y unos 5.5s en el de 15 iteraciones, de modo que se puede estimar que cada iteración que realiza el optimizador supone un aumento de 360ms en el ciclo de ejecución del controlador DMC. Si, por ejemplo, se fijara un número máximo de iteraciones igual a 100, el tiempo de ciclo del controlador no podría ser inferior a 36 segundos.

Aumentar el número máximo de iteraciones del algoritmo de Hildreth incrementa las posibilidades de obtener la solución óptima del problema, pero el usuario debe tener en consideración a la hora de configurar este parámetro cómo afecta al tiempo de ciclo del controlador

En el caso de estudio que se ha elegido, el tiempo de ciclo requerido para el control del reactor es de 60s, de manera que el uso del DMC sería adecuado.

3.4.3. Comparación de los resultados obtenidos con el PLC y Matlab

Una vez verificado que el algoritmo es implementable en el PLC, el último paso es comprobar que los resultados numéricos son los mismos que los que se obtenidos en Matlab. Este es el último punto crítico que se debe comprobar, puesto que Matlab trabaja con datos reales de 64 bits cuando lo considera necesario, mientras que en el entorno de programación de SIMATIC hay un máximo de 32 bits por dato, lo que puede afectar a la velocidad de convergencia del optimizador.

La forma de realizar esta validación será introduciendo como datos de entrada al controlador los datos que se han utilizado en un experimento en Matlab de referencias y perturbaciones, así como la medida de las entradas y salidas del proceso en dichos puntos. Esta prueba tiene como finalidad verificar que el valor de la salida predicha, los incrementos en las acciones de control y el número de iteraciones en que se obtienen coinciden con los resultados de Matlab.

Partiendo del siguiente estado inicial del sistema:

Salidas			Entradas		Perturbaciones		
c_B	T_l	c_A	F_l	F_r	c_{A_0}	T_{l_0}	T_{r_0}
7.2	60.0	0.8	26.67	25.82	8.0	30.0	20.0

Tabla 10 – Condiciones iniciales del sistema

Los parámetros de sintonía del controlador serán los que se definieron en el apartado 3.2.2 con la excepción del horizonte de predicción que se ha modificado a $N_{2j} = 30$.

En primer lugar, se aplicarán cambios en los valores de referencia de cada una de las entradas, una por una.

- Referencia $c_A = 7.0$
- Referencia $T_l = 70.0$
- Referencia $c_A = 0.7$

Los resultados obtenidos de la realización de estos test se muestran en las tres siguientes tablas. En primer lugar se ha aplicado un cambio $\Delta c_A = 1.0$ en la referencia de la primera salida. En la Tabla 11 se puede ver que tanto en Matlab como en el PLC la solución del problema de optimización se ha obtenido por el cálculo analítico, sin iterar. Los valores obtenidos en los incrementos en la acción de control son iguales hasta el segundo decimal, debido a que Matlab trabaja con datos de 64 bits y en Step7 se consideran tipos de dato de, como máximo, 32 bits.

Cambio en la Referencia c_B				
	Nº Iter.	T. de Ciclo	ΔF_l	ΔF_r
Matlab	0		0.653238484740019	0.887424349403297
PLC	0	60 ms	0.6558963	0.8814850

Tabla 11 – Comparativa de resultados obtenidos en el PLC y Matlab ante un cambio en la referencia c_B

En el siguiente ensayo, considerando de nuevo que se parte del estado inicial definido en la Tabla 10, se ha aplicado un cambio en la referencia de la segunda salida de valor $\Delta T_l = 10.0$. De nuevo, como se puede ver en la Tabla 12, la solución se obtiene sin necesidad de iteraciones, por lo que el tiempo en que se ha ejecutado el ciclo del controlador es el mínimo requerido, 60ms. La solución obtenida en Matlab y en el PLC es muy similar, cambiando a partir del segundo decimal.

Cambio en la Referencia T_l				
	Nº Iter.	T. de Ciclo	ΔF_l	ΔF_r
Matlab	0		4.148905009566276	-4.869987495496719
PLC	0	60 ms	4.151568	-4.875950

Tabla 12 – Comparativa de resultados obtenidos en el PLC y Matlab ante un cambio en la referencia T_l

Por último se ha aplicado un cambio en el *set point* de la tercera salida, pero como se trata de una variable que no está regulada, sólo limitada puesto que se ha definido un peso 0 a su error en la función de costes, y en el instante inicial ya se verificaba que todas las señales estuvieran dentro del rango permitido, los resultados de Matlab y del PLC son iguales, no aplicando ningún cambio sobre la acción de control.

Cambio en la Referencia c_A				
	Nº Iter.	T. de Ciclo	ΔF_l	ΔF_r
Matlab	0		0.0	0.0
PLC	0	60 ms	0.0	0.0

Tabla 13 – Comparativa de resultados obtenidos en el PLC y Matlab ante un cambio en la referencia c_A

A continuación, se aplicarán cambios en los valores de cada una de las perturbaciones, una por una.

- Perturbaciones $c_{A_0} = 8.05$
- Perturbaciones $T_{l_0} = 31$
- Perturbaciones $T_{r_0} = 21$

En primer lugar, se aplica un incremento sobre la concentración inicial del reactivo $\Delta c_{A_0} = 0.05$. Los resultados que se obtienen en la Tabla 14 muestran que en los dos casos, en Matlab y en el PLC, el optimizador ha alcanzado el número máximo de iteraciones, fijado en 15, sin conseguir verificar completamente el cumplimiento de las restricciones. En ambos casos el Δu obtenido para el caudal de refrigerante es superior a cinco, aunque ya muy próximo a él. Se demuestra, por tanto que, en el caso de no lograr convergencia, el optimizador sale de la rutina con un valor casi-óptimo.

$$\Delta u_{Min} = [-5.0, -5.0]$$

$$\Delta u_{Max} = [5.0, 5.0]$$

Cambio en la Perturbación c_{A_0}				
	Nº Iter.	T. de Ciclo	ΔF_l	ΔF_r
Matlab	15		3.37043624336674	5.03227130713847
PLC	15	5560 ms	3.37162	5.032965

Tabla 14 – Comparativa de resultados obtenidos en el PLC y Matlab ante un cambio en la perturbación c_{A_0}

En el último caso se ha incrementado el valor inicial de la perturbación $\Delta T_{l_0} = 1.0$. En esta ocasión tanto el PLC como Matlab consiguen verificar el cumplimiento de las restricciones tras 5 iteraciones del optimizador (Tabla 15). El tiempo que ha tardado el controlador en obtener una nueva acción de control ha sido de aproximadamente, 2s, lo que supone un tiempo consumido en cada iteración del optimizador de 400ms.

Cambio en la Perturbación T_{l_0}				
	Nº Iter.	T. de Ciclo	ΔF_l	ΔF_r
Matlab	5		-3.450939031819857	5.000236646484587
PLC	5	1983 ms	-3.448324	5.000195

Tabla 15 – Comparativa de resultados obtenidos en el PLC y Matlab ante un cambio en la perturbación T_{l_0}

Capítulo 5 . CONCLUSIONES Y TRABAJO FUTURO

1. Conclusiones

El control predictivo basado en modelos está ampliamente aceptado dentro del entorno industrial, pero debido a la capacidad limitada en términos de memoria y capacidad de cálculo de los PLCs que se sitúan en la capa más baja de control, su uso no está extendido a este nivel.

En los capítulos anteriores, se han mostrado algunos ejemplos de implementaciones de controladores predictivos en autómatas programables y, a continuación, se discutirán los resultados obtenidos.

El *Predictive Functional Control* es un controlador muy sencillo de implementar y con un coste muy bajo a nivel de recursos en un PLC. La casuística de sistemas que cubre está limitada a aquellos que tienen un modelo de primer orden, con o sin retardo, pero resuelven de manera muy satisfactoria la problemática existente en los sistemas con tiempos muertos altos. Es por ello que se considera interesante incluir este algoritmo como alternativa al PID tradicional en el *framework* de UNICOS, así como en otras librerías de control en PLCs.

El *Dynamic Matrix Control* se trata de un sistema de control mucho más robusto. Los tipos de proceso aplicables a este tipo de controlador son mucho más amplios que en el caso anterior, siendo especialmente recomendable para sistemas multivariable con fuertes acoplamientos entre las distintas entradas y salidas, sistemas con dinámicas de dinámica compleja, fase no mínima o grandes retardos, o siempre que se quiera poder tener un control sobre el valor que pueden tomar las variables del sistema.

En la validación del controlador en el modelo de PLC elegido se han encontrado dos grandes limitaciones que son la memoria y la capacidad de cálculo de los autómatas programables. Las conclusiones que se pueden extraer de las pruebas realizadas sobre la CPU 315-2 PN/DP de Siemens es que este modelo puede ser adecuado para un sistema multivariable de, como máximo, tres entradas y tres salidas, siempre y cuando el sistema no necesite un periodo de muestreo para el controlador inferior a seis segundos ($T_s > 6s$).

El modelo de CPU que se seleccionó se incluye dentro de la gama baja de los PLCs de la gama antigua de Siemens. Esta elección era interesante porque es uno de los modelos más utilizados en la primera capa de control en industria, mientras que la gama de los 400 suele ser utilizada en el nivel superior y, por otro lado, aunque los nuevos 1500 sustituirán progresivamente a estos modelos, en la actualidad su uso sigue estando muy extendido.

La Tabla 16 muestra una comparativa con las características del 315-2 con dos modelos de CPU de la serie nueva a nivel de memoria y de capacidad computacional. Los modelos de 1500 que aparecen se corresponden con CPUs de la gama baja y media de la nueva serie, que son los que reemplazarán a la serie 300.

Propiedades	315-2 PN/DP	1511-1 PN	1516-3 PN/DP
Work memory	512 KByte	1.23 MByte	6.5 Mbyte
CPU processing times			
<i>Bit operations</i>	50 ns	60 ns	10 ns
<i>Word operations</i>	90 ns	72 ns	12 ns
<i>Fixed point arithmetic.</i>	120 ns	96 ns	16 ns
<i>Floating point arithmetic</i>	450 ns	384 ns	64 ns
<i>1 000 binary instructions</i>	50 μ s	60 μ s	10 μ s

Tabla 16 – Características de las CPUs Siemens – Comparativa

El modelo 1511-1 PN sólo presenta ligeras mejoras en términos de capacidad computacional, por lo que un DMC implementado en este dispositivo continuaría siendo aplicable únicamente a procesos lentos. La memoria de datos presenta un aumento mucho más significativo, pero hay que tener en cuenta que un aumento del tamaño del problema implica también un aumento de la carga computacional y se observaría un aumento en el periodo de muestreo mínimo factible en el controlador.

La CPU 1516-3 PN/DP pertenece a un nivel superior de dispositivos de control. Se puede apreciar en la comparativa un aumento significativo en sus cualidades, tanto a nivel de memoria como de procesamiento de datos. En la implementación del DMC el mayor consumo de recursos se encuentra en operaciones con datos en formato de coma flotante o *float*. Teniendo en consideración que el coste computacional de una operación con este tipo de datos en un 315-2 es de 450ns y en un 1516-3 64 ns, se puede estimar el periodo mínimo de un controlador DMC, para un problema con las características descritas en el caso de estudio, implementado en esta CPU se podría reducir a un 20%. De esta forma, resultaría un tiempo de ciclo del controlador de 1200ms, en vez de los 6000ms obtenidos en los tests realizados.

Estos resultados se pueden comparar con un caso de estudio presentado por Siemens (PCS7, 2014) en el que se utiliza un reactor químico con 5 variables controladas, 6 variables manipuladas y 3 perturbaciones. El documento explica que el controlador puede alcanzar un tamaño superior a 850KB, con un tiempo de ciclo inferior a 5s. Extrapolando los resultados obtenidos con la implementación realizada, en términos de almacenamiento de datos un problema de las mismas dimensiones necesitaría de 970KB. El tiempo de ciclo es más difícil de estimar, pero suponiendo que el aumento en tiempo es proporcional al del aumento en las dimensiones del problema, se puede estimar que sería de unos 18s.

Con estos resultados se quiere demostrar que la implementación de algoritmos de control avanzado, como es el caso de los controladores predictivos, en el nivel más bajo de una arquitectura de control es una realidad factible gracias al salto cualitativo que están dando los PLCs en la actualidad.

2. Trabajo futuro

Durante el desarrollo de la herramienta de control predictivo para el entorno de UNICOS se han ido observando ciertas mejoras que podrían ser aplicadas sobre el controlador DMC en el futuro.

Una forma de reducir de forma significativa la dimensión del problema de optimización es analizar una serie de puntos concretos del horizonte de predicción en vez del vector completo. Los puntos seleccionados pueden estar equiespaciados o distribuidos de la manera más conveniente según las necesidades del caso a tratar.

La aplicación de esta técnica implica que las restricciones aplicadas tampoco serían comprobadas en todos los puntos, lo que podría llevar a la violación de los límites en los tramos intermedios.

La implementación de esta mejora consiste en una mera simplificación de la solución aportada, de manera en la que las matrices se reducen consecuentemente con los puntos de evaluación seleccionados, de manera que incluir esta modificación no supone un gran problema.

Otro gran punto a estudiar son otros optimizadores implementables en el PLC, puesto que son uno de los puntos más críticos de un MPC. En la bibliografía analizada se sugerían diferentes algoritmos, como el qpOASES, pero el que mejores resultados obtenía era el QP de Hildreth (Huyck, y otros, 2012).

Por último, una vez desarrollada una versión completamente validada del DMC, el último paso sería incluirla en la librería de objetos de UNICOS.

BIBLIOGRAFÍA

- Bordóns, C. (2000). *Control Predictivo: metodología, tecnología y nuevas perspectivas*. Universidad de Sevilla.
- Camacho, E., & Bordons, C. (2007). *Model Predictive Control*.
- Frutos, L. d. (2015). *Desarrollo de algoritmos de control avanzado para dispositivos programables industriales*.
- Hildreth, C. (1957). *A quadratic programming procedure*. Naval Research.
- Huyck, B., Ferrau, H., Diehl, M., De Brabanter, J., Van Impe, J., De Moor, B., & Logist, F. (2012). *Towards Online Model Predictive Control on a Programmable Logic Controller: Practical Considerations*.
- PCS7, S. (2014). *Configuration of the MPC10x10 for Tennessee Eastman Benchmark Process*.
- Prada, C. (1997). *Fundamentos de Control Predictivo de Procesos. Los Manuales de Ingeniería Química, Instrumentación y Control de Procesos*. Universidad de Valladolid.
- Prada, C., Cristea, S., Zamarreño, J., & Álvarez, T. (1999). HITO A tool for Hierarchical Control. *7th IEEE Emerging Technologies and Factory Automation*.
- Prada, C., Serrano, J., & Vega, P. (1994). *A comparative study of GPC and DMC controllers*. Oxford University Press.
- Prett, D., Ramaker, B., & Cutler, C. (1979). *Dynamic Matrix Control Method*. United States Patent.
- Richalet, J. (1992). *Pratique de la Commande Predictive*.
- Rossiter, J. (2003). *Model Based Predictive Control: a practical approach*. CRC Press.
- Wang, L. (2009). *Model Predictive Control System Design and Implementation*. Springer-Verlag.
- Zamarreño, J., & Vega, P. (1999). *Neural predictive control. Application to a highly non-linear system*.

ANEXO 1:

CÓDIGO FUENTE DEL PFC: ECOSIMPRO


```
/*-----  
LIBRARY: PFC  
FILE: Compresor_v1  
CREATION DATE: 25/02/2016  
-----*/  
  
USE MATH  
  
COMPONENT Compresor_v1 (INTEGER TAM = 500)  
  
DATA -----*/  
  
    REAL Ts = 4  
    REAL StepTime = 500  
  
    -- Filtro de la perturbacion  
    REAL alpha = 0.0  
  
    -- Parámetros del PFC  
    REAL lambda = 0.8  
    REAL N = 30  
    REAL uMax = 80  
    REAL DuMax = 25  
  
    -- Sistema Real  
    REAL k_p = 0.026  
    REAL tau_p = 48.916  
    INTEGER d_p = 20  
  
    -- Modelo del Sistema  
    REAL k_m = 0.026  
    REAL tau_m = 48.916  
    INTEGER d_m = 20  
  
    -- Parametros PID  
    REAL PID_k = -40  
    REAL PID_Ti = 50  
  
DECLS -----*/  
  
    -- Condiciones de contorno  
    REAL w  
  
    -- Variables del sistema  
    REAL y_Model  
    REAL y_PFC  
    REAL y_PID  
    DISCR REAL y_ant  
  
    REAL noiseR[97]  
    INTEGER noiseI[5]  
    REAL noise  
  
    -- Variables del controlador  
    DISCR REAL u[TAM]  
    DISCR REAL u_Model
```

```

DISCR REAL u_PFC
DISCR REAL u_dp_PFC
DISCR REAL v, v_fil, v_fil_1

-- Variables del PID
REAL          u_PID
DISCR REAL    u_PID_d[TAM]
DISCR REAL    u_dp_PID

REAL ui
REAL vi

REAL e

-- LLamada al controlador
BOOLEAN sample = TRUE

DISCR REAL aux
DISCR REAL aux1
DISCR REAL aux2
DISCR REAL aux3
DISCR REAL aux4
DISCR REAL aux5
DISCR REAL aux6

INTEGER i

INIT -----*/

w = 30

y_Model = 0.8
y_PFC = 0.8
y_PID = 0.8
y_ant = 0.8

v      = 0
u_Model = 30.7731
u_PFC = 30.7731
u_PID = 30.7731
u_dp_PID = 30.7731
ui = 30.7731
vi = 30.734

noiseR[1] = 1
noiseI[1] = 1

FOR (i=1; i<=TAM; i=i+1)
    u[i]=u_PFC
END FOR

DISCRETE -----*/

WHEN (sample == TRUE) THEN

    -- Nuevos calculos

```

he aplicado

```

-- Puedo dejar u_PFC porque es la u(t-(D+1)Ts) la última que realmente
aux6 = (exp(-Ts/tau_m))
v = (y_PFC - aux6*y_ant - k_m*u[d_m]*(1-aux6)) / (1-aux6)

v_fil = (alpha*v_fil_1) + ((1 - alpha)*v)

aux = 0
FOR (i=1; i<=d_m; i=i+1)
    aux = aux + u[i]*exp((i-1)*Ts/tau_m)
END FOR

-- Actualizar vector de acciones de control
-- PFC: Necesario para los cálculos y para simular el retardo
-- PID: Necesario para simular el retardo
FOR ( i=TAM; i>=2; i=i-1 )
    u[i] = u[i-1]
    u_PID_d[i] = u_PID_d[i-1]
END FOR

aux1 = (1 - (lambda**(N-d_m))) * (w - y_PFC)
aux2 = ( (exp(-N*Ts/tau_m)) - 1 ) * y_PFC
aux3 = ( exp(-N*Ts/tau_m) ) * k_m * ((exp(Ts/tau_m))-1)*aux
aux4 = v_fil * ( 1 - exp(-N*Ts/tau_m) )
aux5 = k_m * (1 - exp( - ((N-d_m)*Ts) / tau_m ) )

u[1] = ( aux1 - aux2 - aux3 - aux4 ) / aux5

IF (abs(u[2]-u[1])>DuMax) THEN
    u[1]=u[2]+DuMax
END IF

IF (u[1]>uMax) THEN
    u[1]=uMax
END IF

u_PID_d[1] = u_PID

-- Update
u_PFC = u[1]
u_dp_PFC = u[d_p]
u_Model = u[d_m]
y_ant = y_PFC

u_dp_PID = u_PID_d[d_p]

sample = FALSE
sample = TRUE AFTER Ts

END WHEN

CONTINUOUS -----*/

-- Modelo del Sistema
tau_m * y_Model' + y_Model = k_m*u_Model --+ v

```

```
-- Ruido
noise = ran1(noiseI, noiseR)

-- Proceso Real - Sistema de primer orden con retado - PFC
tau_p * y_PFC' + y_PFC = k_p*u_dp_PFC + 1*(10**-3)*noise

-- Proceso Real - Sistema de primer orden con retado - PID
tau_p * y_PID' + y_PID = k_p*u_dp_PID + 1*(10**-3)*noise

-- Controlador PID
e = y_PID - w
vi' = (PID_k / PID_Ti) * e
ui = PID_k * e + vi
u_PID = ui
--u_PID = ZONE (ui > uMax) uMax
--      OTHERS          ui
```

```
END COMPONENT
```

ANEXO 2:

CÓDIGO FUENTE DEL DMC: MATLAB


```

% ***** %
%
% - N1 y N2
% - Perturbaciones medibles
% - Perturbaciones no medibles
% - Variables de holgura
%   · Du Restricciones duras
%   · u Restricciones duras
%   · y Restricciones blandas
%
% - Respuesta libre calculada de forma recursiva
%
% - Pesos beta y gamma normalizados.
%
% - Con alpha para modificar la dinámica de la referencia
%
% - Reducir carga computacional
%
% ***** %

%clear all; close all; clc;
warning off;

% ***** %
% ** Modelo en respuesta salto del sistema ***** %
% ***** %

[nEnt nPer nSal Ts g d nCoef sis dis y0 u0 v0] = RespuestaSalto( );

% ***** %
% ** Simulacion ***** %
% ***** %

% Número de veces que se ejecutará el algoritmo DMC
instantes = 300;

% Estado inicial para la función filter
z = max(length(sis(1,1).num{:,:}),length(sis(1,1).den{:,:}))-1;
z_11 = zeros(1,z);
z = max(length(sis(1,2).num{:,:}),length(sis(1,2).den{:,:}))-1;
z_12 = zeros(1,z);

z = max(length(sis(2,1).num{:,:}),length(sis(2,1).den{:,:}))-1;
z_21 = zeros(1,z);
z = max(length(sis(2,2).num{:,:}),length(sis(2,2).den{:,:}))-1;
z_22 = zeros(1,z);

z = max(length(sis(3,1).num{:,:}),length(sis(3,1).den{:,:}))-1;
z_31 = zeros(1,z);
z = max(length(sis(3,2).num{:,:}),length(sis(3,2).den{:,:}))-1;
z_32 = zeros(1,z);

% Estado inicial para la función filter
z = max(length(dis(1,1).num{:,:}),length(dis(1,1).den{:,:}))-1;

```

```

zd_11 = zeros(1,z);
z = max(length(dis(1,2).num{:,:}),length(dis(1,2).den{:,:}))-1;
zd_12 = zeros(1,z);
z = max(length(dis(1,3).num{:,:}),length(dis(1,3).den{:,:}))-1;
zd_13 = zeros(1,z);

z = max(length(dis(2,1).num{:,:}),length(dis(2,1).den{:,:}))-1;
zd_21 = zeros(1,z);
z = max(length(dis(2,2).num{:,:}),length(dis(2,2).den{:,:}))-1;
zd_22 = zeros(1,z);
z = max(length(dis(2,3).num{:,:}),length(dis(2,3).den{:,:}))-1;
zd_23 = zeros(1,z);

z = max(length(dis(3,1).num{:,:}),length(dis(3,1).den{:,:}))-1;
zd_31 = zeros(1,z);
z = max(length(dis(3,2).num{:,:}),length(dis(3,2).den{:,:}))-1;
zd_32 = zeros(1,z);
z = max(length(dis(3,3).num{:,:}),length(dis(3,3).den{:,:}))-1;
zd_33 = zeros(1,z);

% ***** %
% ** Parámetros de configuración del MPC ***** %
% ***** %

% Horizontes de control - [1, nEnt]
Nu = [2, 2];

% Horizontes de predicción - [1, nSal]
N2_1 = nCoef(1) + max([Nu(1) Nu(2)]);
N2_2 = nCoef(2) + max([Nu(1) Nu(2)]);
N2_3 = nCoef(3) + max([Nu(1) Nu(2)]);

N1 = [1 1 1]; % [1, nSal]
% N1 = [5 5 5]; % [1, nSal]
% N2 = [N2_1 N2_2 N2_3]; % [1, nSal]
N2 = [30 30 30]; % [1, nSal]

% Dinámica de la referencia (1-alpha)*z^-1/(1-alpha*z^-1) - [1, nSal]
alpha = [0.9, 0.9, 0.9];

% Factor de peso asignado a cada accion de control - [1, nEnt]
beta = [0.5 0.5];

% Factor de peso asignado a cada salida del sistema - [1, nSal]
gamma = [3 1 0];

% Factor de peso asignado a la variable de holgura de cada salida - [1, nSal]
rho = [1e4 1e4 1e4];

% Limites de las variables
DuMin = [ -5.0, -5.0 ]; % [1, nEnt]
DuMax = [ 5.0, 5.0 ]; % [1, nEnt]

uMin = [ 10.0, 8.0 ]; % [1, nEnt]
uMax = [ 56.0, 57.0 ]; % [1, nEnt]

```



```
yMin = [ 6.6, 55.0, 0.0 ]; % [1, nSal]
yMax = [ 7.6, 74.0, 1.5 ]; % [1, nSal]

v1_old = v0(1);
v2_old = v0(2);
v3_old = v0(3);

v1_new = v0(1);
v2_new = v0(2);
v3_new = v0(3);

% ***** %

% Variables para tamaños de matrices
Sum_Nu = 0;
for i=1:nEnt
    Sum_Nu = Sum_Nu + Nu(i);
end

Sum_N2 = 0;
for i=1:nSal
    Sum_N2 = Sum_N2 + N2(i);
end

Sum_N2_N1 = 0;
for i=1:nSal
    Sum_N2_N1 = Sum_N2_N1 + N2(i) - N1(i) + 1;
end

Sum_Coef = 0;
for i=1:nSal
    Sum_Coef = Sum_Coef + nCoef(i);
end

% ***** %
% ** Condiciones Iniciales ***** %
% ***** %

% Vector de tiempo total
t=(0:1:instantes);

% Vector con el último valor aplicado de la acción de control
fil_u_old = nEnt;
col_u_old = 1;
u_old = u0;

% Vector con el valor de la acción de control que se va a aplicar
fil_u = nEnt;
col_u = 1;
u = u0;

v_u = [];
```

```

% Vector con los incrementos de la acción de control que se va a aplicar
fil_Du = nEnt;
col_Du = 1;
Du = zeros(fil_Du, col_Du);

v_Du = [];

% Vector con los incrementos de la acción de control predichos (para todo Nu)
fil_Du_p = Sum_Nu;
col_Du_p = 1;
Du_p = zeros(fil_Du_p, col_Du_p);

% Vector con el valor medido de las salidas del sistema
fil_ym = 1;
col_ym = nSal;
ym = y0;

ym1vec = y0(1); ym2vec = y0(2); ym3vec = y0(3);

% Vector con el valor predicho de las salidas del sistema
fil_yp = 1;
col_yp = Sum_Nu + nSal;
yp = y0;

v_yp = yp;

% Vector con la medida de las perturbaciones en (t-1)
fil_v_old = nPer;
col_v_old = 1;
v_old = v0;

% Vector con la medida de las perturbaciones en (t)
fil_v = nPer;
col_v = 1;
v = v0;

v_v = [];

% Vector con los incrementos de la perturbación v(t)-v(t-1)
fil_Dv = nPer;
col_Dv = 1;
Dv = zeros(fil_Dv, col_Dv);

v_Dv = [];

% Inicialización del vector que contendrá la referencia (solo para dibujar)
ref = zeros(instantes+1, nSal);

% ***** %
% ** Inicializacion de las matrices ***** %
% ***** %

[ G, L, A, B, H, H_1, Caux, G_g, D_sum, auxy, P ] = ...
RellenarMatrices( nEnt, nPer, nSal, nCoef, g, d, N1, N2, Nu, ...

```

```
beta, gamma, rho, Sum_N2, Sum_N2_N1, Sum_Nu, Sum_Coef,...
ym, DuMin, DuMax, y0, u0);
```

```
% ***** %
% ** Ejecución del algoritmo QDMC ***** %
% ***** %
```

```
for i = 1:instantes;
```

```
% ** Variaciones en la referencia y en las perturbaciones ***** %
```

```
if i<=10, ref(i,:) = y0;
elseif i<=100, ref(i,:) = [6.7 65 0.8];
elseif i<=200, ref(i,:) = [6.7 60 0.8];
else ref(i,:) = [7.5 60 0.8];
end
```

```
if i<=10, v1_new = 8.0;
elseif i<=50, v1_new = 8.1;
elseif i<=150, v2_new = 32.5;
else v3_new = 22.5;
end
```

```
v1_new = 0.9*v1_old + 0.1*v1_new;
v2_new = 0.9*v2_old + 0.1*v2_new;
v3_new = 0.9*v3_old + 0.1*v3_new;
```

```
if i<=10, v = v0;
elseif i<=50, v = [v1_new; v2_new; v3_new];
elseif i<=150, v = [v1_new; v2_new; v3_new];
else v = [v1_new; v2_new; v3_new];
end
```

```
v1_old = v1_new;
v2_old = v2_new;
v3_old = v3_new;
```

```
% ***** %
```

```
Dv = v - v_old; v_old = v;
Du = u - u_old; u_old = u;
```

```
[ Du_p, Du, T, L ] = Regulador_DMC( nEnt, nPer, nSal, nCoef, g, d,...
N1, N2, Nu, Sum_N2,...
Sum_N2_N1, Sum_Nu, ref(i,:),...
alpha, ym, Du, u, Dv,...
uMin, uMax, yMin, yMax,...
G, L, A, B, H,...
H_1, Caux, D_sum, auxy, P );
```

```
% ***** %
```

```
% Cálculo de la salida predicha
```

```
yp = T + G_g*Du_p;
```

```

% Cálculo de la nueva acción de control a aplicar
u = u_old + Du;

% Acumular en vectores para después graficar datos
v_yp = [ v_yp; [yp(1), yp(N2(1)+1), yp(N2(1)+N2(2)+1)]];
v_Du = [ v_Du, Du ];
v_u = [ v_u, u ];
v_Dv = [ v_Dv, Dv ];
v_v = [ v_v, v ];

%=====
% Aplicacion de los incrementos y medición de la salida
%=====

[y1_, z_11] = filter(sis(1,1).num{:, :}, sis(1,1).den{:, :}, Du(1,1), z_11);
[y2_, z_12] = filter(sis(1,2).num{:, :}, sis(1,2).den{:, :}, Du(2,1), z_12);

[yd1_, zd_11] = filter(dis(1,1).num{:, :}, dis(1,1).den{:, :}, Dv(1,1), zd_11);
[yd2_, zd_12] = filter(dis(1,2).num{:, :}, dis(1,2).den{:, :}, Dv(2,1), zd_12);
[yd3_, zd_13] = filter(dis(1,3).num{:, :}, dis(1,3).den{:, :}, Dv(3,1), zd_13);

ym1vec(i+1) = ym1vec(i) + y1_ + y2_ + yd1_ + yd2_ + yd3_;

[y1_, z_21] = filter(sis(2,1).num{:, :}, sis(2,1).den{:, :}, Du(1,1), z_21);
[y2_, z_22] = filter(sis(2,2).num{:, :}, sis(2,2).den{:, :}, Du(2,1), z_22);

[yd1_, zd_21] = filter(dis(2,1).num{:, :}, dis(2,1).den{:, :}, Dv(1,1), zd_21);
[yd2_, zd_22] = filter(dis(2,2).num{:, :}, dis(2,2).den{:, :}, Dv(2,1), zd_22);
[yd3_, zd_23] = filter(dis(2,3).num{:, :}, dis(2,3).den{:, :}, Dv(3,1), zd_23);

ym2vec(i+1) = ym2vec(i) + y1_ + y2_ + yd1_ + yd2_ + yd3_;

[y1_, z_31] = filter(sis(3,1).num{:, :}, sis(3,1).den{:, :}, Du(1,1), z_31);
[y2_, z_32] = filter(sis(3,2).num{:, :}, sis(3,2).den{:, :}, Du(2,1), z_32);

[yd1_, zd_31] = filter(dis(3,1).num{:, :}, dis(3,1).den{:, :}, Dv(1,1), zd_31);
[yd2_, zd_32] = filter(dis(3,2).num{:, :}, dis(3,2).den{:, :}, Dv(2,1), zd_32);
[yd3_, zd_33] = filter(dis(3,3).num{:, :}, dis(3,3).den{:, :}, Dv(3,1), zd_33);

ym3vec(i+1) = ym3vec(i) + y1_ + y2_ + yd1_ + yd2_ + yd3_;

ym = [ym1vec(i+1), ym2vec(i+1), ym3vec(i+1)];

end

%* Sólo para graficar *****%

y1_Min = yMin(1)*ones(length(t),1);
y1_Max = yMax(1)*ones(length(t),1);
y2_Min = yMin(2)*ones(length(t),1);
y2_Max = yMax(2)*ones(length(t),1);
y3_Min = yMin(3)*ones(length(t),1);

```

```

y3_Max = yMax(3)*ones(length(t),1);

u1_Min = uMin(1)*ones(length(t)-1,1);
u1_Max = uMax(1)*ones(length(t)-1,1);
u2_Min = uMin(2)*ones(length(t)-1,1);
u2_Max = uMax(2)*ones(length(t)-1,1);

Du1_Min = DuMin(1)*ones(length(t)-1,1);
Du1_Max = DuMax(1)*ones(length(t)-1,1);
Du2_Min = DuMin(2)*ones(length(t)-1,1);
Du2_Max = DuMax(2)*ones(length(t)-1,1);

ref(i+1,:) = ref(i,:);

%=====
% Gráficas de las variables
%=====
figure(1), set(gca,'FontSize',16)
subplot(2,2,1), plot(t,ym1vec,'--b','LineWidth',2);
ylim([yMin(1)-0.2 yMax(1)+0.2])
hold on
%stairs(t,v_yp(:,1),':r','LineWidth',2);
%stairs(t,HITO_cB,':r','LineWidth',2);
stairs(t,ref(:,1),'k','LineWidth',1);
plot(t,y1_Min,'--g','LineWidth',2);
plot(t,y1_Max,'--g','LineWidth',2);
title('Salida 1: cB','FontSize',18,'FontWeight','bold')
xlabel('Instantes','FontSize',16)
legend('yMedida','Referencia','Limites')
%legend('yMedida','yHITO','Referencia','Limites')
subplot(2,2,2), plot(t,ym2vec,'--b','LineWidth',2);
ylim([yMin(2)-5 yMax(2)+5])
hold on
%stairs(t,v_yp(:,2),':r','LineWidth',2);
%stairs(t,HITO_Tl,':r','LineWidth',2);
stairs(t,ref(:,2),'k','LineWidth',1);
plot(t,y2_Min,'--g','LineWidth',2);
plot(t,y2_Max,'--g','LineWidth',2);
title('Salida 2: T','FontSize',18,'FontWeight','bold')
xlabel('Instantes','FontSize',16)
legend('yMedida','Referencia','Limites')
%legend('yMedida','yHITO','Referencia','Limites')
subplot(2,2,3), plot(t,ym3vec,'--b','LineWidth',2);
ylim([yMin(3)-0.1 yMax(3)+0.1])
hold on
%stairs(t,v_yp(:,3),':r','LineWidth',2);
%stairs(t,HITO_cA,':r','LineWidth',2);
stairs(t,ref(:,3),'k','LineWidth',1);
plot(t,y3_Min,'--g','LineWidth',2);
plot(t,y3_Max,'--g','LineWidth',2);
hold off
title('Salida 3: cA','FontSize',18,'FontWeight','bold')
xlabel('Instantes','FontSize',16)
legend('yMedida','Referencia','Limites')
%legend('yMedida','yHITO','Referencia','Limites')

```

```

figure(2), set(gca,'FontSize',16)
t = t(1:end-1);
subplot(2,2,1), stairs(t,v_u(1,:), '--b', 'LineWidth',2);
ylim([uMin(1)-10 uMax(1)+10])
hold on
plot(t,u1_Min, '--g', 'LineWidth',2);
plot(t,u1_Max, '--g', 'LineWidth',2);
hold off
title('Accion de control 1: Fl',...
      'FontSize',18, 'FontWeight', 'bold')
xlabel('Instantes', 'FontSize',16)
legend('u1', 'Limites')
subplot(2,2,2), stairs(t,v_u(2,:), '--b', 'LineWidth',2);
ylim([uMin(2)-10 uMax(2)+10])
hold on
plot(t,u2_Min, '--g', 'LineWidth',2);
plot(t,u2_Max, '--g', 'LineWidth',2);
hold off
title('Accion de control 2: Fr',...
      'FontSize',18, 'FontWeight', 'bold')
xlabel('Instantes', 'FontSize',16)
legend('u2', 'Limites')
subplot(2,2,3), stairs(t,v_Du(1,:), '--b', 'LineWidth',2);
ylim([DuMin(1)-1 DuMax(1)+1])
hold on
plot(t,Du1_Min, '--g', 'LineWidth',2);
plot(t,Du1_Max, '--g', 'LineWidth',2);
hold off
title('Incremento en la accion de control 1: Fl',...
      'FontSize',18, 'FontWeight', 'bold')
xlabel('Instantes', 'FontSize',16)
%legend('Du1', 'Du1HITO', 'Limites')
legend('Du1', 'Limites')
subplot(2,2,4), stairs(t,v_Du(2,:), '--b', 'LineWidth',2);
ylim([DuMin(2)-1 DuMax(2)+1])
hold on
plot(t,Du2_Min, '--g', 'LineWidth',2);
plot(t,Du2_Max, '--g', 'LineWidth',2);
hold off
title('Incremento en la accion de control 2: Fr',...
      'FontSize',18, 'FontWeight', 'bold')
xlabel('Instantes', 'FontSize',16)
legend('Du2', 'Limites')

figure(3), set(gca,'FontSize',16)
subplot(2,2,1), stairs(t,v_v(1,:), 'b', 'LineWidth',2);
ylim([7.75 8.15])
title('Perturbacion 1: cA0', 'FontSize',18, 'FontWeight', 'bold')
xlabel('Instantes', 'FontSize',16)
legend('v1')
subplot(2,2,2), stairs(t,v_v(2,:), 'b', 'LineWidth',2);
ylim([29.5 33])
title('Perturbacion 2: Tl0', 'FontSize',18, 'FontWeight', 'bold')
xlabel('Instantes')

```

```
    legend('v2')
subplot(2,2,3), stairs(t,v_v(3,:), 'b', 'LineWidth',2);
    ylim([19.5 23])
    title('Perturbacion 2: Tr0','FontSize',18,'FontWeight','bold')
    xlabel('Instantes','FontSize',16)
    legend('v3')
```

```

function [ nEnt nPer nSal Ts g d nCoef sis dis y0 u0 v0] = RespuestaSalto( )

clear all
close all
clc

% Numero de Entradas, Perturbaciones Medibles y Salidas
nEnt = 2;
nPer = 3;
nSal = 3;
Ts = 60; %Segundos

y0 = [7.2, 60, 0.8];
u0 = [26.6665978; 25.822517];
v0 = [8.0; 30.0; 20.0];

% pol_a = zeros(3,7);
% pol_b = zeros(2,6,3);
% pol_d = zeros(3,6,3);

pol_a = [ 1.0,    -3.0534,    3.369994,    -1.579317,....
          0.27737852, -0.01427608,    0.0;
          % sal1: Cb
          1.0,    -3.5111,    4.6254905,    -2.70980711,....
          0.59567014, 0.0,          0.0;
          % sal2: Tl
          1.0,    -3.6213,    5.1413589,    -3.5869176,....
          1.2508025, -0.19090276,    0.00717885
          % sal3: Ca
          ];

pol_b(:, :, 1) = [ -0.03683910056770,    0.11094954714975,....
                  -0.11804852778705,    0.05023085961584,....
                  -0.00630005873810,    0.0;
                  % sal1: Cb / ent1: Fl \
                  -0.00024846607241,    0.00044005826084,....
                  -0.00019474186860,    0.0,....
                  0.0,          0.0
                  % sal1: Cb / ent2: Fr \
                  ];

pol_b(:, :, 2) = [ 0.06163700215760,    -0.16056439062055,....
                  0.13961397358719,    -0.04052016521841,....
                  0.0,          0.0;
                  % sal2: Tl / ent1: Fl \
                  -0.01012674720064,    0.01793548196706,....
                  -0.00793710647730,    0.0,....
                  0.0,          0.0
                  % sal2: Tl / ent2: Fr \
                  ];

pol_b(:, :, 3) = [ 0.01943539877748,    -0.06948155062950,....
                  0.09658297035918,    -0.06490763165537,....
                  0.02098415672885,    -0.00260912454428;

```



```
        % sal3: Ca / ent1: Fl \
        0.00024902141630,   -0.00055315127203,...
        0.00039881748514,   -0.00009701976478,...
        0.00000415741255,    0.0
        % sal3: Ca / ent1: Fr \
    ];

    pol_d(:, :, 1) = [ 0.08839053190410, -0.18945626608324,...
        0.12547036003786, -0.02541864204072,...
        0.00138667066451,   0.0;
        % sal1: Cb / per1: Ca0 \
        0.00087098764213, -0.00186687491213,...
        0.00123636695800, -0.00025047165822,...
        0.00001366405413,   0.0;
        % sal1: Cb / per2: Tl0 \
        0.00070195444495, -0.00150456915731,...
        0.00099642433461, -0.00020186244364,...
        0.00001101226133,   0.0
        % sal1: Cb / per3: Tr0 \
    ];

    pol_d(:, :, 2) = [ 0.63567441332302, -1.68205806509406,...
        1.48532575411799, -0.43774828529311,...
        0.0, 0.0;
        % sal2: Tl / per1: Ca0 \
        0.08023601070725, -0.21231250793246,...
        0.18748058694483, -0.05525340546940,...
        0.0, 0.0;
        % sal2: Tl / per2: Tl0 \
        0.06620433974585, -0.17518330340151,...
        0.15469398309854, -0.04559069170523,...
        0.0, 0.0
        % sal2: Tl / per3: Tr0 \
    ];

    pol_d(:, :, 3) = [ 0.03412872910806, -0.11273443711448,...
        0.13813856826643, -0.07503936808018,...
        0.01618589256366, -0.00067545245527;
        % sal3: Ca / per1: Ca0 \
        -0.00064839011670,   0.001516130609890,...
        -0.00116147418385,   0.00030490480399,...
        -0.00001329912968,   0.0;
        % sal3: Ca / per2: Tl0 \
        -0.00053565112321,   0.001252513021390,...
        -0.00095952257002,   0.00025188940504,...
        -0.00001098674019,   0.0
        % sal3: Ca / per2: Tr0 \
    ];

    sis(1,1) = filt(pol_b(1, :, 1), pol_a(1, :), Ts);
    sis(1,2) = filt(pol_b(2, :, 1), pol_a(1, :), Ts);
    sis(2,1) = filt(pol_b(1, :, 2), pol_a(2, :), Ts);
    sis(2,2) = filt(pol_b(2, :, 2), pol_a(2, :), Ts);
    sis(3,1) = filt(pol_b(1, :, 3), pol_a(3, :), Ts);
```

```
sis(3,2) = filt(pol_b(2,:,3), pol_a(3,:), Ts);

g11 = step(sis(1,1));
g12 = step(sis(1,2));
g21 = step(sis(2,1));
g22 = step(sis(2,2));
g31 = step(sis(3,1));
g32 = step(sis(3,2));

coef_y1 = max([length(g11), length(g12)]);
coef_y2 = max([length(g21), length(g22)]);
coef_y3 = max([length(g31), length(g32)]);
nCoef = [coef_y1, coef_y2, coef_y3];

g11 = [ g11; g11(end)*ones( coef_y1 - length(g11), 1)];
g12 = [ g12; g12(end)*ones( coef_y1 - length(g12), 1)];
g21 = [ g21; g21(end)*ones( coef_y2 - length(g21), 1)];
g22 = [ g22; g22(end)*ones( coef_y2 - length(g22), 1)];
g31 = [ g31; g31(end)*ones( coef_y3 - length(g31), 1)];
g32 = [ g32; g32(end)*ones( coef_y3 - length(g32), 1)];

g = [   g11    g12
      g21    g22
      g31    g32
      ];

% figure
% subplot(3,2,1),plot(g11)
% subplot(3,2,2),plot(g12)
% subplot(3,2,3),plot(g21)
% subplot(3,2,4),plot(g22)
% subplot(3,2,5),plot(g31)
% subplot(3,2,6),plot(g32)

dis(1,1) = filt(pol_d(1,:,1), pol_a(1,:), Ts);
dis(1,2) = filt(pol_d(2,:,1), pol_a(1,:), Ts);
dis(1,3) = filt(pol_d(3,:,1), pol_a(1,:), Ts);
dis(2,1) = filt(pol_d(1,:,2), pol_a(2,:), Ts);
dis(2,2) = filt(pol_d(2,:,2), pol_a(2,:), Ts);
dis(2,3) = filt(pol_d(3,:,2), pol_a(2,:), Ts);
dis(3,1) = filt(pol_d(1,:,3), pol_a(3,:), Ts);
dis(3,2) = filt(pol_d(2,:,3), pol_a(3,:), Ts);
dis(3,3) = filt(pol_d(3,:,3), pol_a(3,:), Ts);

d11 = step(dis(1,1), (coef_y1-1)*Ts);
d12 = step(dis(1,2), (coef_y1-1)*Ts);
d13 = step(dis(1,3), (coef_y1-1)*Ts);
d21 = step(dis(2,1), (coef_y2-1)*Ts);
d22 = step(dis(2,2), (coef_y2-1)*Ts);
d23 = step(dis(2,3), (coef_y2-1)*Ts);
d31 = step(dis(3,1), (coef_y3-1)*Ts);
d32 = step(dis(3,2), (coef_y3-1)*Ts);
d33 = step(dis(3,3), (coef_y3-1)*Ts);
```

```
% figure
% subplot(3,3,1),plot(d11)
% subplot(3,3,2),plot(d12)
% subplot(3,3,3),plot(d13)
% subplot(3,3,4),plot(d21)
% subplot(3,3,5),plot(d22)
% subplot(3,3,6),plot(d23)
% subplot(3,3,7),plot(d31)
% subplot(3,3,8),plot(d32)
% subplot(3,3,9),plot(d33)
```

```
d = [ d11    d12    d13
      d21    d22    d23
      d31    d32    d33
      ];
```

```
end
```

```

function [ G, L, A, B, H, H_1, Caux, G_g, D_sum, auxy, P ] = ...
RellenarMatrices( nEnt, nPer, nSal, nCoef, g, d, N1, N2, Nu, beta,...
gamma, rho, Sum_N2, Sum_N2_N1, Sum_Nu, Sum_Coef, ym, DuMin, DuMax, y0, u0)

beta = 100*beta./u0';

gamma = 100*gamma./y0;

% ***** %
% * Matriz D %
% Va acumulando en cada posición vertical la suma de los elementos %
% anteriores más él mismo %
% ***** %

ini = 0;
ini_d = 0;
for i = 1:nSal
    D_sum(ini + 1, :) = d(ini_d + 1, :);
    for j = 2:N2(i)
        if j<nCoef(i)
            for k = 1:nPer
                D_sum(ini + j, k) = D_sum(ini + j - 1, k) + d(ini_d + j, k);
            end
        else
            for k = 1:nPer
                D_sum(ini + j, k) = D_sum(ini + j - 1, k) + d(ini_d + nCoef
(i), k);
            end
        end
    end
    ini = ini + j;
    ini_d = ini_d + nCoef(i);
end

% ***** %
% * Matriz G grande (Contiene todos los gij entre 1 y N2) %
% Aunque en la función de costes sólo quiero que se tenga en cuenta %
% entre N1 y N2, para los límites quiero poder considerar todo N2 %
% ***** %

ini_g = 0; % Columna donde comienza la siguiente gij
fil_Gij = 0; % Índice para las filas de la matriz G
fil_aux = 0; % Índice para las filas de la submatriz Gij

for i=1:nSal

    fil_Gij = fil_Gij + fil_aux;
    fil_aux = N2(i); % Índice para las filas de la submatriz Gij

    col_Gij = 0; % Índice para las columnas de la matriz G
    col_aux = 0; % Índice para las columnas de la submatriz Gij

    for j=1:nEnt

```

```

col_Gij = col_Gij + col_aux;
col_aux = Nu(j);

for k = 1:fil_aux          % Hacia abajo aumenta g
    for l = 1:col_aux      % Hacia la derecha disminuye g
        col = (k-1) - (l-1) + 1;
        if (col >= 1 && col <= nCoef(i))
            G_g(fil_Gij+k, col_Gij+l) = g(ini_g + col, j);
        elseif (col < 1 )
            G_g(fil_Gij+k, col_Gij+l) = 0;
        elseif (col > nCoef(i) )
            G_g(fil_Gij+k, col_Gij+l) = g(ini_g + nCoef(i), j);
        end
    end
end
end
end

ini_g = ini_g + nCoef(i);

end

% ***** %
% * Matriz G (Matriz G_g truncada desde N1) %
% ***** %

fil_G = Sum_N2_N1;
col_G = Sum_Nu;
G = zeros(fil_G, col_G);

ini_g = 0;          % Columna donde comienza la siguiente gij
fil_Gij = 0;       % Indice para las filas de la matriz G
fil_aux = 0;       % Indice para las filas de la submatriz Gij

for i=1:nSal

    fil_Gij = fil_Gij + fil_aux;
    fil_aux = N2(i) - N1(i) + 1;    % Indice para las filas de la submatriz ↙

Gij

    col_Gij = 0; % Indice para las columnas de la matriz G
    col_aux = 0; % Indice para las columnas de la submatriz Gij

    for j=1:nEnt

        col_Gij = col_Gij + col_aux;
        col_aux = Nu(j);

        for k = 1:fil_aux          % Hacia abajo aumenta g
            for l = 1:col_aux      % Hacia la derecha disminuye g
                col = (k-1) + N1(i) - (l-1);
                if (col >= 1 && col <= nCoef(i))
                    G(fil_Gij+k, col_Gij+l) = g(ini_g + col, j);
                elseif (col < 1 )
                    G(fil_Gij+k, col_Gij+l) = 0;
                end
            end
        end
    end
end
end

```

```

        elseif (col > nCoef(i) )
            G(fil_Gij+k, col_Gij+1) = g(ini_g + nCoef(i), j);
        end
    end
end
end

ini_g = ini_g + nCoef(i);

end

% ***** %
% * Matrices de pesos Beta (peso cada Du) y Gamma (peso cada y) %
% ***** %

% ** Matriz Beta: M. diagonal con el peso asignado a cada Du ***** %

fil_Beta = Sum_Nu;
col_Beta = Sum_Nu;
Beta = zeros(fil_Beta, col_Beta);

Ini = 0;
for i=1:nEnt
    nFil = Ini + Nu(i);
    nCol = Ini + Nu(i);
    for j=Ini+1:nFil
        for k=Ini+1:nCol
            if j==k
                Beta(j,k) = beta(i);
            else
                Beta(j,k) = 0;
            end
        end
    end
    Ini = nFil;
end

% ** Matriz Gamma: Matriz diagonal con el peso asignado a cada y **** %

fil_Gamma = Sum_N2_N1;
col_Gamma = Sum_N2_N1;
Gamma = zeros(fil_Gamma, col_Gamma);

Ini = 0;
for i=1:nSal
    nFil = Ini + N2(i) - N1(i) + 1;
    nCol = Ini + N2(i) - N1(i) + 1;
    for j=Ini+1:nFil
        for k=Ini+1:nCol
            if j==k
                Gamma(j,k) = gamma(i);
            else
                Gamma(j,k) = 0;
            end
        end
    end
end

```

```

        end
    end
    Ini = nFil;
end

% ***** %
% * Matriz hessiana %
% ***** %

fil_Ceros = nSal;
col_Ceros = Sum_Nu;
Ceros = zeros(fil_Ceros, col_Ceros);

fil_H = Sum_Nu + nSal;
col_H = Sum_Nu + nSal;

H_aux = G'*Gamma*G + Beta;

k = 1;
for i=1:fil_H
    for j=1:col_H
        if (i<=Sum_Nu && j<=Sum_Nu )
            H(i,j) = H_aux(i,j);
        elseif i==j
            H(i,j) = rho(k);
            k = k+1;
        else
            H(i,j) = 0;
        end
    end
end

H = (H+H')/2; % Hessiano simétrico
% H = H + 0.1*eye(size(H));

% ***** %
% * Matrices para las restricciones lineales %
% ***** %

% Matriz A - Coefs restricciones lineales
% - DuMax [Sum_Nu, (Sum_Nu + nSal)]
% - DuMin [Sum_Nu, (Sum_Nu + nSal)]
% - uMax [Sum_Nu, (Sum_Nu + nSal)]
% - uMin [Sum_Nu, (Sum_Nu + nSal)]
% - yMax [Sum_N2, (Sum_Nu + nSal)]
% - yMin [Sum_N2, (Sum_Nu + nSal)]
% - Epsilon [nSal, (Sum_Nu + nSal)]

fil_A = 4*Sum_Nu + 2*Sum_N2 + nSal;
col_A = Sum_Nu + nSal;

for i = 1:Sum_Nu % Matriz Identidad I
    for j = 1:col_A
        if i==j

```

```

        A(i,j) = 1;
    else
        A(i,j) = 0;
    end
end
end

Ini = Sum_Nu;

for i = 1:Sum_Nu          % Matriz Identidad -I
    for j = 1:col_A
        if i==j
            A(Ini+i,j) = -1;
        else
            A(Ini+i,j) = 0;
        end
    end
end

Ini = Ini + Sum_Nu;

Ini_col = 0;          % Matriz de Diagonales Inferiores I
for i = 1:nEnt      % Filas
    for j = 1:nEnt  % Columnas
        for k = 1:Nu(i)      % Filas
            for l = 1:Nu(j)+nSal % Columnas
                if (i==j && k>=1)
                    A(Ini+k, Ini_col+l) = 1;
                else
                    A(Ini+k, Ini_col+l) = 0;
                end
            end
        end
        Ini_col = Ini_col + Nu(j);
    end
    Ini_col = 0;
    Ini = Ini + Nu(i);
end

Ini_col = 0;          % Matriz de Diagonales Inferiores -I
for i = 1:nEnt      % Filas
    for j = 1:nEnt  % Columnas
        for k = 1:Nu(i)      % Filas
            for l = 1:Nu(j)+nSal % Columnas
                if (i==j && k>=1)
                    A(Ini+k, Ini_col+l) = -1;
                else
                    A(Ini+k, Ini_col+l) = 0;
                end
            end
        end
        Ini_col = Ini_col + Nu(j);
    end
    Ini_col = 0;
end

```



```
    Ini = Ini + Nu(i);
end

for i = 1:Sum_N2          % Matriz G
    for j = 1:Sum_Nu
        A(Ini+i, j) = G_g(i, j);
    end
end

for i = 1:nSal          % A la dcha de G
    for j = 1:nSal
        for k = 1:N2(j)
            if i==j
                A(Ini+k, Sum_Nu+i) = -1;
            else
                A(Ini+k, Sum_Nu+i) = 0;
            end
        end
        Ini = Ini + k;
    end
    Ini = Ini - Sum_N2;
end

Ini = Ini + Sum_N2;

for i = 1:Sum_N2          % Matriz -G
    for j = 1:Sum_Nu
        A(Ini+i, j) = -G_g(i, j);
    end
end

for i = 1:nSal          % A la dcha de -G
    for j = 1:nSal
        for k = 1:N2(j)
            if i==j
                A(Ini+k, Sum_Nu+i) = -1;
            else
                A(Ini+k, Sum_Nu+i) = 0;
            end
        end
        Ini = Ini + k;
    end
    Ini = Ini - Sum_N2;
end

Ini = Ini + Sum_N2;

for i = 1:nSal
    for j = 1:Sum_Nu
        A(Ini+i, j) = 0;
    end
end

for i = 1:nSal
```

```

    for j = 1:nSal
        if i==j
            A(Ini+i,Sum_Nu+j) = -1;
        end
    end
end

% Matriz b - Termino indpte de las restricciones lineales
% - DuMax [Sum_Nu, 1] - No cambia
% - DuMin [Sum_Nu, 1] - No cambia
% - uMax [Sum_Nu, 1]
% - uMin [Sum_Nu, 1]
% - yMax [Sum_N2_N1, 1]
% - yMin [Sum_N2_N1, 1]
% - Epsilon [nEnt, 1]

fil_B = 4*Sum_Nu + 2*Sum_N2_N1 + nSal;
col_B = 1;

% Limites en los incrementos

Ini = 0; % Du máximo
for i = 1:nEnt
    for j = 1:Nu(i)
        B(Ini+j, 1) = DuMax(i);
    end
    Ini = Ini + j;
end
for i = 1:nEnt
    for j = 1:Nu(i) % Du mínimo
        B(Ini+j, 1) = -DuMin(i);
    end
    Ini = Ini + j;
end

% ***** %
% * Inicializacion de la resuesta libre %
% ***** %

fil_L = Sum_Coef;
col_L = 1;
L = zeros(fil_L, col_L);

k = 1;
for i = 1:nSal
    for j = 1:nCoef(i)
        % L(k, 1) = ym(i);
        L(k, 1) = 0;
        k = k+1;
    end
end

% ***** %
% * Matriz auxiliar para el gradiente %

```

```
% ***** %
```

```
Caux = -G'*Gamma;
```

```
H_1 = inv(H);  
auxy = H_1*A';  
P = A*auxy;
```

```
end
```

```

function [ Du_p, Du, T, L ] = ...
    Regulador_DMC( nEnt, nPer, nSal, nCoef, g, d, N1, N2, Nu,...
    Sum_N2, Sum_N2_N1, Sum_Nu, ref, alpha,...
    ym, Du, u, Dv, uMin, uMax, yMin, yMax,...
    G, L, A, B, H, H_1, Caux, D_sum, auxy, P )

% ***** %
% * Actualizar la respuesta libre %
% ***** %

ini = 0;
for j = 1:nSal
    for k = 2:nCoef(j)
        L(ini+k-1, 1) = L(ini+k, 1);
    end
    ini = ini + nCoef(j);
end

if nPer>0
    L = L + g*Du + d*Dv;
else
    L = L + g*Du;
end

ini = 0;
ini_T = 0;
for j = 1:nSal
    for k = 2:N2(j)+1
        if k <= nCoef(j)
            T(ini_T+k-1, 1) = L(ini+k, 1) + ym(j) - L(ini + 1);
        else
            T(ini_T+k-1, 1) = L(ini+nCoef(j), 1) + ym(j) - L(ini + 1);
        end
    end
    ini = ini + nCoef(j) ;
    ini_T = ini_T + N2(j);
end

if nPer>0
    T = T + D_sum*Dv;
end

% Referencia con filtro de primer orden

ini = 0;
for j = 1:nSal
    y_ant = ym(j);
    for k = 1:N2(j)
        R(ini + k, 1) = (1-alpha(j))*ref(j) + alpha(j)*y_ant;
        y_ant = R(ini + k, 1);
    end
    ini = ini + N2(j) ;
end

```

```
% No se coge el error de toda la respuesta libre, sólo entre N1 y N2

k = 0;
ini = 0;
for i = 1:nSal
    for j = N1(i):N2(i)
        k = k+1;
        D(k,1) = R(ini+j, 1) - T(ini+j, 1) ;
    end
    ini = ini + N2(i) ;
end

% ***** %
% * Restricciones %
% ***** %

Ini = 2*Sum_Nu;
for j = 1:nEnt
    for k = 1:Nu(j)
        B(Ini+k, 1) = uMax(j) - u(j);
    end
    Ini = Ini + k;
end

for j = 1:nEnt
    for k = 1:Nu(j)
        B(Ini+k, 1) = -uMin(j) + u(j);
    end
    Ini = Ini + k;
end

Ini_T = 0;
for j = 1:nSal
    for k = 1:N2(j)
        B(Ini+k, 1) = yMax(j) - T(Ini_T + k, 1);
    end
    Ini = Ini + k;
    Ini_T = Ini_T + k;
end

Ini_T = 0;
for j = 1:nSal
    for k = 1:N2(j)
        B(Ini+k, 1) = -yMin(j) + T(Ini_T + k, 1);
    end
    Ini = Ini + k;
    Ini_T = Ini_T + k;
end

for j = 1:nSal
    B(Ini+j, 1) = 0;
end
```

```
C = [Caux*D;0;0;0];
```

```
% ***** %  
% * LLamada al optimizador %  
% ***** %
```

```
% options = optimset('Algorithm', 'interior-point-convex');  
% [x,fval,exitflag,output] = quadprog(H,C,A,B,[],[],[],[],[],options);  
% [x,fval,exitflag,output] = quadprog(H,C,A,B);
```

```
[x, nIter] = QPhild (H_1, C, A, B, auxy, P, 1000);
```

```
if nIter~=1  
    disp(nIter);
```

```
end
```

```
% Du predicha (Los tres ultimos valores son las variables de holgura)
```

```
Du_p = x(1:end-3);
```

```
% Sólo se aplica la primera acción de control a cada entrada
```

```
ini = 0;
```

```
for i=1:nEnt
```

```
    Du(i,1) = x(ini+1);
```

```
    ini = ini + Nu(1,i);
```

```
end
```

```
end
```

```
function [eta, km] = QPhild ( H_1, f, A_cons, b, auxy, P, n_iteration )

    tol = 10e-5;

    [n1,~] = size(A_cons);
    eta = -H_1*f;
    kk = 0;

    for i=1:n1
        if (A_cons(i,:)*eta>b(i))
            kk = kk + 1;
        else
            kk = kk + 0;
        end
    end

    if (kk==0)
        km=1;
        return;
    end

    d = auxy'*f + b;
    [n,m] = size(d);
    x_ini = zeros(n,m);
    lambda = x_ini;

    for km = 1:n_iteration
        lambda_p = lambda;
        for i = 1:n
            w = P(i,:)*lambda - P(i,i)*lambda(i,1);
            w = w + d(i,1);
            la = -w/P(i,i);
            lambda(i,1) = max(0,la);
        end
        al =(lambda-lambda_p)'*(lambda-lambda_p);
        if (al<tol)
            break;
        end
    end

    eta = -H_1*f - auxy*lambda;

end
```

ANEXO 3:

CÓDIGO FUENTE DEL DMC: STEP7


```
1 DATA_BLOCK DB_QP_P_1
2
3   STRUCT
4
5   P: ARRAY [1..65, 1..243] OF REAL;
6
7   END_STRUCT
8
9 BEGIN
10
11 END_DATA_BLOCK
12
```

```
13 DATA_BLOCK DB_QP_P_2
14
15     STRUCT
16
17     P: ARRAY [1..65, 1..243] OF REAL;
18
19     END_STRUCT
20
21 BEGIN
22
23 END_DATA_BLOCK
24
```

```
25 DATA_BLOCK DB_QP_P_3
26
27     STRUCT
28
29     P: ARRAY [1..65, 1..243] OF REAL;
30
31     END_STRUCT
32
33 BEGIN
34
35 END_DATA_BLOCK
36
```

```
37 DATA_BLOCK DB_QP_P_4
38
39     STRUCT
40
41     P: ARRAY [1..48, 1..243] OF REAL;
42
43     END_STRUCT
44
45 BEGIN
46
47 END_DATA_BLOCK
48
```

```
49 DATA_BLOCK DB_aux
50
51 STRUCT
52
53 eta: ARRAY [1..18] OF REAL;
54 p: ARRAY [1..243] OF REAL;
55 lambda: ARRAY [1..243] OF REAL;
56 lambda_p: ARRAY [1..243] OF REAL;
57
58 w: REAL;
59 la: REAL;
60 al: REAL;
61
62 aux_1: ARRAY [1..243] OF REAL;
63 aux_2: ARRAY [1..18, 1..243] OF REAL;
64 aux_3: ARRAY [1..18] OF REAL;
65
66 END_STRUCT
67
68 BEGIN
69
70 END_DATA_BLOCK
71
72
```

```

1 FUNCTION FC_Optimizador_QP: VOID
2 // *****
3 ***** //
4 CONST
5 // constantes
6 nEnt_max := 3;
7 nPer_max := 3;
8 nSal_max := 3;
9
10 nCoef_max := 100;
11 Sum_nCoef_max := nCoef_max*nSal_max;
12
13 N2_max := 30;
14 Sum_N2_max := N2_max*nSal_max;
15
16 Nu_max := 5;
17 Sum_Nu_max := Nu_max*nEnt_max;
18
19 Dim_A := Sum_Nu_max + nSal_max;
20 Dim_B := 4*Sum_Nu_max + 2*Sum_N2_max + nSal_max;
21
22 END_CONST
23
24 // *****
25 ***** //
26 VAR_INPUT
27
28 MaxIter: INT;
29
30 Dim_1: INT; // Numero de columnas de la matriz A
31 Dim_2: INT; // Numero de filas de la matriz A
32
33 END_VAR
34 // *****
35 ***** //
36 VAR_OUTPUT
37
38 nIter: INT;
39
40 END_VAR
41 // *****
42 ***** //
43 VAR_IN_OUT
44
45 A: ARRAY [1..Dim_B, 1..Dim_A] OF REAL;
46 B: ARRAY [1..Dim_B] OF REAL;
47 C: ARRAY [1..Dim_A] OF REAL;
48 invH: ARRAY [1..Dim_A, 1..Dim_A] OF REAL;
49
50 Sol: ARRAY [1..Dim_A] OF REAL;
51
52 END_VAR
53 // *****
54 ***** //
55 VAR_TEMP
56
57 km, i, j, k: INT; // Indices
58 aux :INT;
59
60 nFil_A, nFil_B, nCol_A, nCol_B: INT;
61
62 auxy: REAL;
63
64 END_VAR
65 // *****
66 ***** //
67 VAR
68
69 //eta: ARRAY [1..Dim_A] OF REAL;
70 //p: ARRAY [1..Dim_B] OF REAL;
71 //lambda: ARRAY [1..Dim_B] OF REAL;
72 //lambda_p: ARRAY [1..Dim_B] OF REAL;
73
74 //w: REAL;
75 //la: REAL;
76 //al: REAL;
77
78 //aux_1: ARRAY [1..Dim_B] OF REAL;
79 //aux_2: ARRAY [1..Dim_A, 1..Dim_B] OF REAL;

```

```

75      //aux_3:      ARRAY [1..Dim_A] OF REAL;
76
77      END_VAR
78      // *****
79      ***** //
80      BEGIN
81
82      (*****
83      (* Calcular eta (Solucion analitica del problema sin restricciones) *)
84      (*      eta = -inv_H*C *)
85      (*****
86
87      nFil_A := Dim_1;
88      nCol_A := Dim_1;
89
90      nFil_B := Dim_1;
91      nCol_B := 1;
92
93      FOR i := 1 TO nFil_A DO
94          DB_aux.eta[i] := 0.0;
95          FOR j :=1 TO nCol_A DO
96              // CUIDADO ESTA CAMBIADA DE SIGNO (-)
97              DB_aux.eta[i] := DB_aux.eta[i] - (invH[i,j]*C[j]);
98          END_FOR;
99      END_FOR;
100
101
102      (*****
103      (* Comprobar si la solucion del problema sin restricciones las cumple *)
104      (*      A_cons*eta > b *)
105      (*****
106
107      nFil_A := Dim_2;
108      nCol_A := Dim_1;
109
110      nFil_B := Dim_1;
111      nCol_B := 1;
112
113
114      FOR i := 1 TO nFil_A DO
115          DB_aux.aux_1[i] := 0.0;
116          FOR j :=1 TO nCol_A DO
117              DB_aux.aux_1[i] := DB_aux.aux_1[i] + (A[i,j]*DB_aux.eta[j]);
118          END_FOR;
119      END_FOR;
120
121      aux := 0;
122
123      FOR i:=1 TO nFil_A DO
124          IF (DB_aux.aux_1[i]>B[i]) THEN
125              aux := aux + 1;
126          ELSE
127              aux := aux + 0;
128          END_IF;
129      END_FOR;
130
131      IF (aux = 0) THEN
132          //Sale sin iterar
133          nIter := 1;
134          Sol := DB_aux.eta;
135          RETURN;
136      END_IF;
137
138
139
140      (*****
141      (* Calcular d *)
142      (*      p = A*inv_H*C + B *)
143      (*      p = (aux_2')*C + B *)
144      (*****
145
146      nFil_A := Dim_2;
147      nCol_A := Dim_1;
148
149      nFil_B := Dim_1;
150      nCol_B := 1;
151
152      FOR i := 1 TO nFil_A DO
153          DB_aux.p[i] := B[i];

```



```

154     FOR j :=1 TO nCol_A DO
155         DB_aux.p[i] := DB_aux.p[i] + (DB_aux.aux_2[j,i]*C[j]);
156     END_FOR;
157 END_FOR;
158
159
160 (* *****)
161 (* Inicializar lambda *)
162 (* *****)
163
164 FOR i:=1 TO (Dim_2) DO
165     DB_aux.lambda[i] := 0.0;
166 END_FOR;
167
168
169 (* *****)
170 (* Iteraciones *)
171 (* *****)
172
173 DB_aux.al := 0.0;
174 FOR km:=1 TO MaxIter DO
175
176     DB_aux.lambda_P := DB_aux.lambda;
177
178     FOR i:=1 TO (Dim_2) DO
179
180         // w = P(i,:)*lambda - P(i,i)*lambda(i,1) + p(i,1);
181         // la = -w/P(i,i);
182
183         IF i<=65 THEN
184
185             DB_aux.w := -DB_QP_P_1.P[i,i]*DB_aux.lambda[i] + DB_aux.p[i];
186             FOR j:=1 TO (Dim_2) DO
187                 DB_aux.w := DB_aux.w + DB_QP_P_1.P[i,j]*DB_aux.lambda[j];
188             END_FOR;
189
190             DB_aux.la := -DB_aux.w / DB_QP_P_1.P[i,i];
191
192         ELSIF i<=130 THEN
193
194             DB_aux.w := -DB_QP_P_2.P[i-65,i]*DB_aux.lambda[i] + DB_aux.p[i];
195             FOR j:=1 TO (Dim_2) DO
196                 DB_aux.w := DB_aux.w + DB_QP_P_2.P[i-65,j]*DB_aux.lambda[j];
197             END_FOR;
198
199             DB_aux.la := -DB_aux.w / DB_QP_P_2.P[i-65,i];
200
201         ELSIF i<=195 THEN
202
203             DB_aux.w := -DB_QP_P_3.P[i-130,i]*DB_aux.lambda[i] + DB_aux.p[i];
204             FOR j:=1 TO (Dim_2) DO
205                 DB_aux.w := DB_aux.w + DB_QP_P_3.P[i-130,j]*DB_aux.lambda[j];
206             END_FOR;
207
208             DB_aux.la := -DB_aux.w / DB_QP_P_3.P[i-130,i];
209
210         ELSIF i<=243 THEN
211
212             DB_aux.w := -DB_QP_P_4.P[i-195,i]*DB_aux.lambda[i] + DB_aux.p[i];
213             FOR j:=1 TO (Dim_2) DO
214                 DB_aux.w := DB_aux.w + DB_QP_P_4.P[i-195,j]*DB_aux.lambda[j];
215             END_FOR;
216
217             DB_aux.la := -DB_aux.w / DB_QP_P_4.P[i-195,i];
218
219         END_IF;
220
221         IF (DB_aux.la>0) THEN
222             DB_aux.lambda[i] := DB_aux.la;
223         ELSE
224             DB_aux.lambda[i] := 0.0;
225         END_IF;
226
227
228     DB_aux.al := DB_aux.al + ((DB_aux.lambda[i] - DB_aux.lambda_P[i])*(DB_aux.
lambda[i] - DB_aux.lambda_P[i]));
229
230     END_FOR;
231
232

```

```
233     IF (DB_aux.al<1E-5) THEN
234         EXIT;
235     END_IF;
236
237 END_FOR;
238
239
240 (* *****)
241 (* Solucion del problema con restricciones *)
242 (* eta = -H_1*f - H_1*A_cons'*lambda *)
243 (* eta = eta - aux_2*lambda *)
244 (* *****)
245
246 nFil_A := Dim_1;
247 nCol_A := Dim_2;
248
249 nFil_B := Dim_2;
250 nCol_B := 1;
251
252 FOR i := 1 TO nFil_A DO
253     FOR j :=1 TO nCol_A DO
254         DB_aux.eta[i] := DB_aux.eta[i] - (DB_aux.aux_2[i,j]*DB_aux.lambda[j]);
255     END_FOR;
256 END_FOR;
257
258
259 nIter := km;
260 Sol := DB_aux.eta;
261
262
263 END_FUNCTION
264
265
266
267
```

```

1 FUNCTION FC_Inicializar_Ctes : VOID
2
3 // ***** //
4 CONST
5     // constantes
6     nEnt_max := 3;
7     nPer_max := 3;
8     nSal_max := 3;
9
10    nCoef_max := 100;
11    Sum_nCoef_max := nCoef_max*nSal_max;
12
13    N2_max := 30;
14    Sum_N2_max := N2_max*nSal_max;
15
16    Nu_max := 5;
17    Sum_Nu_max := Nu_max*nEnt_max;
18
19    Dim_1 := Sum_Nu_max + nSal_max;
20    Dim_2 := 4*Sum_Nu_max + 2*Sum_N2_max + nSal_max;
21
22 END_CONST
23 // ***** //
24 VAR_INPUT
25     nEnt:    INT;
26     nSal:    INT;
27 END_VAR
28 // ***** //
29 VAR_OUTPUT
30
31     Sum_N2:    INT;
32     Sum_N2_N1: INT;
33     Sum_Nu:    INT;
34     Sum_nCoef: INT;
35
36 END_VAR
37 // ***** //
38 VAR_IN_OUT
39
40     nCoef:    ARRAY [1..nSal_max] OF INT;
41
42     u0:       ARRAY [1..nEnt_max] OF REAL; // Punto en el que se obtuvo el modelo
43     y0:       ARRAY [1..nSal_max] OF REAL; // Punto en el que se obtuvo el model
44
45     N1:       ARRAY [1..nSal_max] OF INT; // Inicio del horizonte de coincidencia
46     N2:       ARRAY [1..nSal_max] OF INT; // Horizonte de prediccion
47     Nu:       ARRAY [1..nEnt_max] OF INT; // Horizonte de control
48
49     beta:     ARRAY [1..nEnt_max] OF REAL; // Peso de las acciones de control
50     gamma:   ARRAY [1..nSal_max] OF REAL; // Peso del error de cada salida del sistema
51
52
53 END_VAR
54 // ***** //
55 VAR_TEMP
56     // variables temporales
57     i,j:     INT;
58 END_VAR
59
60 // ***** //
61
62 BEGIN
63
64     (*****
65     (* Normalizar gamma y beta *)
66     (* Dividir por el valor inicial de las entradas/salidas *)
67     (*****
68
69     FOR i := 1 TO nEnt DO
70         beta[i] := 100*beta[i]/u0[i];
71     END_FOR;
72
73     FOR i := 1 TO nSal DO
74         gamma[i] := 100*gamma[i]/y0[i];
75     END_FOR;
76
77     (*****
78     (* Sumatorio de Nu, N2 y N2-N1-1 *)
79     (*****

```

```
80
81   Sum_Nu := 0;
82   FOR i := 1 TO nEnt DO
83     Sum_Nu := Sum_Nu + Nu[i];
84   END_FOR;
85
86   Sum_N2 := 0;
87   Sum_N2_N1 := 0;
88   Sum_nCoef := 0;
89   FOR i := 1 TO nSal DO
90     Sum_N2 := Sum_N2 + N2[i];
91     Sum_N2_N1 := Sum_N2_N1 + N2[i] - N1[i] + 1;
92     Sum_nCoef := Sum_nCoef + nCoef[i];
93   END_FOR;
94
95 END_FUNCTION
96
```

```

1 FUNCTION FC_Vaciar_Matrices : VOID
2
3 // ***** //
4 CONST
5 // constantes
6 nEnt_max := 3;
7 nPer_max := 3;
8 nSal_max := 3;
9
10 nCoef_max := 100;
11 Sum_nCoef_max := nCoef_max*nSal_max;
12
13 N2_max := 30;
14 Sum_N2_max := N2_max*nSal_max;
15
16 Nu_max := 5;
17 Sum_Nu_max := Nu_max*nEnt_max;
18
19 Dim_1 := Sum_Nu_max + nSal_max;
20 Dim_2 := 4*Sum_Nu_max + 2*Sum_N2_max + nSal_max;
21
22 END_CONST
23 // ***** //
24 VAR_IN_OUT
25
26 D_sum: ARRAY [1..Sum_N2_max, 1..nEnt_max] OF REAL;
27
28 G: ARRAY [1..Sum_N2_max, 1..Sum_Nu_max] OF REAL;
29 G_g: ARRAY [1..Sum_N2_max, 1..Sum_Nu_max] OF REAL;
30
31 A: ARRAY [1..Dim_2, 1..Dim_1] OF REAL;
32 B: ARRAY [1..Dim_2] OF REAL;
33
34 H: ARRAY [1..Dim_1, 1..Dim_1] OF REAL;
35 inv_H: ARRAY [1..Dim_1, 1..Dim_1] OF REAL;
36
37 C: ARRAY [1..Dim_1] OF REAL;
38 C_aux: ARRAY [1..Sum_Nu_max, 1..Sum_N2_max] OF REAL;
39
40 L: ARRAY [1..Sum_nCoef_max] OF REAL;
41
42 END_VAR
43 // ***** //
44 VAR_TEMP
45 // variables temporales
46 i, j: INT;
47 END_VAR
48 // ***** //
49 BEGIN
50
51 FOR i := 1 TO Sum_N2_max DO
52 FOR j := 1 TO nPer_max DO
53 D_sum[i, j] := 0.0;
54 END_FOR;
55 END_FOR;
56
57 FOR i := 1 TO Sum_N2_max DO
58 FOR j := 1 TO Sum_Nu_max DO
59 G[i, j] := 0.0;
60 END_FOR;
61 END_FOR;
62
63 FOR i := 1 TO Sum_N2_max DO
64 FOR j := 1 TO Sum_Nu_max DO
65 G_g [i, j] := 0.0;
66 END_FOR;
67 END_FOR;
68
69 FOR i := 1 TO Dim_2 DO
70 FOR j := 1 TO Dim_1 DO
71 A[i, j] := 0.0;
72 END_FOR;
73 END_FOR;
74
75 FOR i := 1 TO Dim_2 DO
76 B[i] := 0.0;
77 END_FOR;
78
79 FOR i := 1 TO Dim_1 DO
80 FOR j := 1 TO Dim_1 DO

```

```
81         H[i,j] := 0.0;
82     END_FOR;
83 END_FOR;
84
85 FOR i := 1 TO Sum_Nu_max DO
86     FOR j := 1 TO Sum_N2_max DO
87         C_aux[i,j] := 0.0;
88     END_FOR;
89 END_FOR;
90
91 FOR i := 1 TO Sum_nCoef_max DO
92     L[i] := 0.0;
93 END_FOR;
94
95
96 END_FUNCTION
```

```

1 FUNCTION FC_Rellenar_Matrices_1 : VOID
2
3 // ***** //
4
5 CONST
6   // constantes
7   nEnt_max := 3;
8   nPer_max := 3;
9   nSal_max := 3;
10
11   nCoef_max := 100;
12   Sum_nCoef_max := nCoef_max*nSal_max;
13
14   N2_max := 30;
15   Sum_N2_max := N2_max*nSal_max;
16
17   Nu_max := 5;
18   Sum_Nu_max := Nu_max*nEnt_max;
19
20   Dim_1 := Sum_Nu_max + nSal_max;
21   Dim_2 := 4*Sum_Nu_max + 2*Sum_N2_max + nSal_max;
22
23 END_CONST
24
25 // ***** //
26
27 VAR_INPUT
28   nEnt: INT;
29   nPer: INT;
30   nSal: INT;
31 END_VAR
32
33 // ***** //
34
35 VAR_IN_OUT
36
37   nCoef: ARRAY [1..nSal_max] OF INT;
38
39   g_1: ARRAY [1..Sum_nCoef_max, 1..nSal_max] OF REAL;
40   d_1: ARRAY [1..Sum_nCoef_max, 1..nSal_max] OF REAL;
41
42   u0: ARRAY [1..nEnt_max] OF REAL; // Punto en el que se obtuvo el modelo
43   y0: ARRAY [1..nSal_max] OF REAL; // Punto en el que se obtuvo el modelo
44
45   N1: ARRAY [1..nSal_max] OF INT; // Inicio del horizonte de coincidencia
46   N2: ARRAY [1..nSal_max] OF INT; // Horizonte de prediccion
47   Nu: ARRAY [1..nEnt_max] OF INT; // Horizonte de control
48
49   D_sum: ARRAY [1..Sum_N2_max, 1..nEnt_max] OF REAL;
50
51   G: ARRAY [1..Sum_N2_max, 1..Sum_Nu_max] OF REAL;
52   G_g: ARRAY [1..Sum_N2_max, 1..Sum_Nu_max] OF REAL;
53
54
55 END_VAR
56
57 // ***** //
58
59 VAR_TEMP
60
61   i, j, k, l: INT;
62   ini, ini_d: INT;
63
64   fil_Gij, fil_aux: INT;
65   col, col_Gij, col_aux: INT;
66
67   nFil_A, nFil_B, nCol_A, nCol_B: INT;
68
69   Sum_Nu, Sum_N2, Sum_N2_N1, Sum_nCoef: INT;
70
71 END_VAR
72
73 // ***** //
74
75
76 // Área de instrucciones
77 BEGIN
78
79
80   (*****

```

```

81      (* Sumatorio de Nu, N2 y N2-N1-1 *)
82      (*****)
83
84      Sum_Nu := 0;
85      FOR i := 1 TO nEnt DO
86          Sum_Nu := Sum_Nu + Nu[i];
87      END_FOR;
88
89      Sum_N2 := 0;
90      Sum_N2_N1 := 0;
91      Sum_nCoef := 0;
92      FOR i := 1 TO nSal DO
93          Sum_N2 := Sum_N2 + N2[i];
94          Sum_N2_N1 := Sum_N2_N1 + N2[i] - N1[i] + 1;
95          Sum_nCoef := Sum_nCoef + nCoef[i];
96      END_FOR;
97
98
99      (*****)
100     (** Matriz D *)
101     (* Va acumulando en cada posición vertical la suma de los elementos *)
102     (* anteriores más él mismo *)
103     (*****)
104
105     ini := 0;
106     ini_d := 0;
107
108     FOR i := 1 TO nSal DO
109
110         FOR j := 1 TO nPer DO
111             D_sum[ini + 1, j] := d_1[ini_d + 1, j];
112         END_FOR;
113
114         FOR j := 2 TO N2[i] DO
115             IF j < nCoef[i] THEN
116                 FOR k := 1 TO nPer DO
117                     D_sum[ini + j, k] := D_sum[ini + j - 1, k] + d_1[ini_d + j, k];
118                 END_FOR;
119             ELSE
120                 FOR k := 1 TO nPer DO
121                     D_sum[ini + j, k] := D_sum[ini + j - 1, k] + d_1[ini_d + nCoef[i],
122 k];
123                 END_FOR;
124             END_IF;
125         END_FOR;
126
127         ini := ini + j - 1;
128         ini_d := ini_d + nCoef[i];
129     END_FOR;
130
131     (*****)
132     (** Matriz G grande (Contiene todos los gij entre 1 y N2) *)
133     (* Aunque EN la función de costes sólo quiero que se tenga EN cuenta *)
134     (* entre N1 y N2, para los límites quiero poder considerar todo N2 *)
135     (*****)
136
137     ini := 0; // Columna donde comienza la siguiente gij
138     fil_Gij := 0; // Índice para las filas de la matriz G
139     fil_aux := 0; // Índice para las filas de la submatriz Gij
140
141     FOR i := 1 TO nSal DO
142
143         fil_Gij := fil_Gij + fil_aux; // Índice para las filas de la matriz G
144         fil_aux := N2[i]; // Índice para las filas de la submatriz Gij
145
146         col_Gij := 0; // Índice para las columnas de la matriz G
147         col_aux := 0; // Índice para las columnas de la submatriz Gij
148
149         FOR j := 1 TO nEnt DO
150
151             col_Gij := col_Gij + col_aux;
152             col_aux := Nu[j];
153
154             FOR k := 1 TO fil_aux DO
155                 FOR l := 1 TO col_aux DO
156
157                     col := (k-1) - (l-1) + 1;
158
159                     IF (col >= 1 AND col <= nCoef[i]) THEN

```



```

160          G_g[fil_Gij+k, col_Gij+1] := g_1[ini + col, j];
161          ELSIF (col < 1 ) THEN
162              G_g[fil_Gij+k, col_Gij+1] := 0;
163          ELSIF (col > nCoef[i] )THEN
164              G_g[fil_Gij+k, col_Gij+1] := g_1[ini + nCoef[i], j];
165          END_IF;
166
167          END_FOR;
168      END_FOR;
169
170  END_FOR;
171
172      ini := ini + nCoef[i];
173
174  END_FOR;
175
176
177  (*****
178  (** Matriz G (Matriz G_g truncada desde N1)
179  (*****
180
181  ini := 0;          // Columna donde comienza la siguiente gij
182  fil_Gij := 0;     // Indice para las filas de la matriz G
183  fil_aux := 0;     // Indice para las filas de la submatriz Gij
184
185  FOR i := 1 TO nSal DO
186
187      fil_Gij := fil_Gij + fil_aux;
188      fil_aux := N2[i] - N1[i] + 1;    // Indice para las filas de la submatriz Gij
189
190      col_Gij := 0; // Indice para las columnas de la matriz G
191      col_aux := 0; // Indice para las columnas de la submatriz Gij
192
193      FOR j := 1 TO nEnt DO
194
195          col_Gij := col_Gij + col_aux;
196          col_aux := Nu[i];
197
198          FOR k := 1 TO fil_aux DO
199              FOR l := 1 TO col_aux DO
200                  col := (k-1) + N1[i] - (l-1);
201                  IF (col >= 1 AND col <= nCoef[i]) THEN
202                      G[fil_Gij+k, col_Gij+1] := g_1[ini + col, j];
203
204                  ELSIF (col < 1 ) THEN
205                      G[fil_Gij+k, col_Gij+1] := 0;
206                  ELSIF (col > nCoef[i] ) THEN
207                      G[fil_Gij+k, col_Gij+1] := g_1[ini + nCoef[i], j];
208                  END_IF;
209              END_FOR;
210          END_FOR;
211
212          ini := ini + nCoef[i];
213
214      END_FOR;
215
216
217  END_FUNCTION
218

```

```

1 FUNCTION FC_Rellenar_Matrices_2 : VOID
2
3 // ***** //
4 CONST
5 // constantes
6 nEnt_max := 3;
7 nPer_max := 3;
8 nSal_max := 3;
9
10 nCoef_max := 100;
11 Sum_nCoef_max := nCoef_max*nSal_max;
12
13 N2_max := 30;
14 Sum_N2_max := N2_max*nSal_max;
15
16 Nu_max := 5;
17 Sum_Nu_max := Nu_max*nEnt_max;
18
19 Dim_1 := Sum_Nu_max + nSal_max;
20 Dim_2 := 4*Sum_Nu_max + 2*Sum_N2_max + nSal_max;
21
22 END_CONST
23 // ***** //
24 VAR_INPUT
25 nEnt: INT;
26 nSal: INT;
27 END_VAR
28
29 // ***** //
30
31 VAR_IN_OUT
32
33 nCoef: ARRAY [1..nSal_max] OF INT;
34
35 N1: ARRAY [1..nSal_max] OF INT; // Inicio del horizonte de coincidencia
36 N2: ARRAY [1..nSal_max] OF INT; // Horizonte de prediccion
37 Nu: ARRAY [1..nEnt_max] OF INT; // Horizonte de control
38
39 beta: ARRAY [1..nEnt_max] OF REAL; // Peso de las acciones de control
40 gamma: ARRAY [1..nSal_max] OF REAL; // Peso del error de cada salida del sistema
41
42 rho: ARRAY [1..nSal_max] OF REAL; // Penalización de las variables de holgura
43
44 G: ARRAY [1..Sum_N2_max, 1..Sum_Nu_max] OF REAL;
45
46 H: ARRAY [1..Dim_1, 1..Dim_1] OF REAL;
47 inv_H: ARRAY [1..Dim_1, 1..Dim_1] OF REAL;
48
49 C: ARRAY [1..Dim_1] OF REAL;
50 C_aux: ARRAY [1..Sum_Nu_max, 1..Sum_N2_max] OF REAL;
51
52 G_aux: ARRAY [1..Sum_Nu_max, 1..Sum_N2_max] OF REAL;
53 H_aux: ARRAY [1..Dim_1, 1..Dim_1] OF REAL;
54
55
56 END_VAR
57
58 // ***** //
59
60 VAR_TEMP
61
62 i,j,k,l: INT;
63 ini, ini_d: INT;
64
65 fil_Gij, fil_aux: INT;
66 col, col_Gij, col_aux: INT;
67
68 nFil_A, nFil_B, nCol_A, nCol_B: INT;
69
70 Sum_Nu, Sum_N2, Sum_N2_N1, Sum_nCoef: INT;
71
72 END_VAR
73
74 // Área de instrucciones
75 BEGIN
76
77 (*****
78 (* Sumatorio de Nu, N2 y N2-N1-1 *)
79 (*****
80

```

```

81 Sum_Nu := 0;
82 FOR i := 1 TO nEnt DO
83     Sum_Nu := Sum_Nu + Nu[i];
84 END_FOR;
85
86 Sum_N2 := 0;
87 Sum_N2_N1 := 0;
88 Sum_nCoef := 0;
89 FOR i := 1 TO nSal DO
90     Sum_N2 := Sum_N2 + N2[i];
91     Sum_N2_N1 := Sum_N2_N1 + N2[i] - N1[i] + 1;
92     Sum_nCoef := Sum_nCoef + nCoef[i];
93 END_FOR;
94
95 (*****
96 (** Matriz hessiana *)
97 (** H aux = G'*Gamma*G + Beta; *)
98 (*****
99
100 // G'*Gamma - No es una multiplicacion normal de matrices
101
102 FOR i := 1 TO Sum_Nu DO
103     l := 0;
104     FOR j := 1 TO nSal DO
105         FOR k := 1 TO (N2[j]-N1[j]+1) DO
106             l := l+1;
107             G_aux[i,l] := G[l,i] * gamma[j];
108         END_FOR;
109     END_FOR;
110 END_FOR;
111
112 // [G'*Gamma]*G - Multiplicacion de matrices
113
114 nFil_A := Sum_Nu;
115 nCol_A := Sum_N2_N1;
116
117 nFil_B := Sum_N2_N1;
118 nCol_B := Sum_Nu;
119
120
121 FOR i := 1 TO nFil_A DO
122     FOR j := 1 TO nCol_B DO
123         FOR k := 1 TO nCol_A DO
124             H_aux[i,j] := H_aux[i,j] + (G_aux[i,k]*G[k,j]);
125         END_FOR;
126     END_FOR;
127 END_FOR;
128
129 // Forzar que sea simetrico (H+H')/2 y anyadir variables de holgura
130
131 k := 1;
132 FOR i := 1 TO (Sum_Nu + nSal) DO
133     FOR j := 1 TO (Sum_Nu + nSal) DO
134         IF (i<=Sum_Nu AND j<=Sum_Nu ) THEN
135             H[i,j] := (H_aux[i,j] + H_aux[j,i])/2;
136         ELSIF ( i=j ) THEN
137             H[i,j] := rho[k];
138         ELSE
139             H[i,j] := 0;
140         END_IF;
141     END_FOR;
142 END_FOR;
143
144 // G'*Gamma*G + Beta - Sumar a la matriz
145
146 ini := 0;
147 FOR i := 1 TO nEnt DO
148     FOR j := 1 TO Nu[i] DO
149         H[ini+j,ini+j] := H[ini+j,ini+j] + beta[i];
150     END_FOR;
151     ini := ini + Nu[i];
152 END_FOR;
153
154
155 (*****
156 (** Inversa de la Matriz Hessiana *)
157 (*****
158
159 inv_H := H;
160

```

```

161   FOR i := 1 TO (Sum_Nu + nSal) DO
162
163       inv_H[i,i] := -1/inv_H[i,i];
164
165       FOR fil_aux := 1 TO (Sum_Nu + nSal) DO
166           IF fil_aux <> i THEN
167               inv_H[fil_aux,i] := inv_H[fil_aux,i]*inv_H[i,i];
168           END_IF;
169       END_FOR;
170
171       FOR fil_aux := 1 TO (Sum_Nu + nSal) DO
172
173           IF fil_aux <> i THEN
174               FOR col_aux := 1 TO (Sum_Nu + nSal) DO
175                   IF col_aux <> i THEN
176                       inv_H[fil_aux,col_aux] := inv_H[fil_aux,col_aux]+inv_H[fil_aux,i
177 ]*inv_H[i,col_aux];
178                   END_IF;
179               END_FOR;
180           END_IF;
181       END_FOR;
182
183       FOR col_aux := 1 TO (Sum_Nu + nSal) DO           // Calculation of elements i
184           IF col_aux <> i THEN
185               inv_H[i,col_aux] := inv_H[i,col_aux]*inv_H[i,i];
186           END_IF;
187       END_FOR;
188
189       FOR fil_aux := 1 TO (Sum_Nu + nSal) DO           // Convert all algebraic sig
190           FOR col_aux := 1 TO (Sum_Nu + nSal) DO
191               inv_H[fil_aux,col_aux] := -inv_H[fil_aux,col_aux];
192           END_FOR;
193       END_FOR;
194
195
196       (*****
197       (** Inicializacion de la respuesta libre *)
198       (*****
199
200       // Como se inicializa a 0 no hace falta
201
202
203       (*****
204       (** Matriz auxiliar para el gradiente *)
205       (*****
206
207       FOR i := 1 TO Sum_Nu DO
208           FOR j := 1 TO Sum_N2_N1 do
209               C_aux[i,j] := -G_aux[i,j];
210           END_FOR;
211       END_FOR;
212
213
214 END_FUNCTION
215

```

```

1 FUNCTION FC_Rellenar_Matrices_3 : VOID
2
3 // ***** //
4
5 CONST
6   // constantes
7   nEnt_max := 3;
8   nPer_max := 3;
9   nSal_max := 3;
10
11   nCoef_max := 100;
12   Sum_nCoef_max := nCoef_max*nSal_max;
13
14   N2_max := 30;
15   Sum_N2_max := N2_max*nSal_max;
16
17   Nu_max := 5;
18   Sum_Nu_max := Nu_max*nEnt_max;
19
20   Dim_1 := Sum_Nu_max + nSal_max;
21   Dim_2 := 4*Sum_Nu_max + 2*Sum_N2_max + nSal_max;
22
23 END_CONST
24
25 // ***** //
26
27 VAR_INPUT
28   nEnt: INT;
29   nSal: INT;
30 END_VAR
31
32 // ***** //
33
34 VAR_IN_OUT
35
36   nCoef: ARRAY [1..nSal_max] OF INT;
37
38   N1: ARRAY [1..nSal_max] OF INT; // Inicio del horizonte de coincidencia
39   N2: ARRAY [1..nSal_max] OF INT; // Horizonte de prediccion
40   Nu: ARRAY [1..nEnt_max] OF INT; // Horizonte de control
41
42   Du_Min: ARRAY [1..nEnt_max] OF REAL; // Limite superior en los incrementos
43   Du_Max: ARRAY [1..nEnt_max] OF REAL; // Limite inferior en los incrementos
44
45   u_Min: ARRAY [1..nEnt_max] OF REAL; // Limite superior en las acciones de control
46   u_Max: ARRAY [1..nEnt_max] OF REAL; // Limite inferior en las acciones de control
47
48   y_Min: ARRAY [1..nSal_max] OF REAL; // Limite superior en las salidas del sistema
49   y_Max: ARRAY [1..nSal_max] OF REAL; // Limite inferior en las salidas del sistema
50
51   G_g: ARRAY [1..Sum_N2_max, 1..Sum_Nu_max] OF REAL;
52
53   A: ARRAY [1..Dim_2, 1..Dim_1] OF REAL;
54   B: ARRAY [1..Dim_2] OF REAL;
55
56
57 END_VAR
58
59 // ***** //
60
61 VAR_TEMP
62
63   i, j, k, l: INT;
64   ini: INT;
65
66   fil_Gij, fil_aux: INT;
67   col, col_Gij, col_aux: INT;
68
69   nFil_A, nFil_B, nCol_A, nCol_B: INT;
70
71   Sum_Nu, Sum_N2, Sum_N2_N1, Sum_nCoef: INT;
72
73 END_VAR
74
75   // Área de instrucciones
76 BEGIN
77
78
79   (*****
80   (* Sumatorio de Nu, N2 y N2-N1-1 *)

```

```

81      (*****
82
83      Sum_Nu := 0;
84      FOR i := 1 TO nEnt DO
85          Sum_Nu := Sum_Nu + Nu[i];
86      END_FOR;
87
88      Sum_N2 := 0;
89      Sum_N2_N1 := 0;
90      Sum_nCoef := 0;
91      FOR i := 1 TO nSal DO
92          Sum_N2 := Sum_N2 + N2[i];
93          Sum_N2_N1 := Sum_N2_N1 + N2[i] - N1[i] + 1;
94          Sum_nCoef := Sum_nCoef + nCoef[i];
95      END_FOR;
96
97
98      (*****
99      (** Matrices para las restricciones lineales *)
100     (*****
101
102     // Matriz A - Coefs restricciones lineales
103     // - DuMax      [Sum_Nu, (Sum_Nu + nSal)]
104     // - DuMin      [Sum_Nu, (Sum_Nu + nSal)]
105     // - uMax       [Sum_Nu, (Sum_Nu + nSal)]
106     // - uMin       [Sum_Nu, (Sum_Nu + nSal)]
107     // - yMax       [Sum_N2, (Sum_Nu + nSal)]
108     // - yMin       [Sum_N2, (Sum_Nu + nSal)]
109     // - Epsilon    [nSal, (Sum_Nu + nSal)]
110
111     col := Sum_Nu + nSal;
112
113     // ***** Matriz Identidad I ***** //
114
115     FOR i := 1 TO Sum_Nu DO
116         FOR j := 1 TO col DO
117             IF i=j THEN
118                 A[i,j] := 1;
119             ELSE
120                 A[i,j] := 0;
121             END_IF;
122         END_FOR;
123     END_FOR;
124
125     // ***** Matriz Identidad -I ***** //
126
127     ini := Sum_Nu;
128
129     FOR i := 1 TO Sum_Nu DO
130         FOR j := 1 TO col DO
131             IF i=j THEN
132                 A[ini+i,j] := -1;
133             ELSE
134                 A[ini+i,j] := 0;
135             END_IF;
136         END_FOR;
137     END_FOR;
138
139     // ***** Matriz de Diagonales Inferiores I ***** //
140
141     ini := ini + Sum_Nu;
142     col_aux := 0;
143
144     FOR i := 1 TO nEnt DO
145         FOR j := 1 TO nEnt DO
146             FOR k := 1 TO Nu[i] DO
147                 FOR l := 1 TO Nu[j]+nSal DO
148                     IF (i=j AND k>=l) THEN
149                         A[ini+k, col_aux+l] := 1;
150                     ELSE
151                         A[ini+k, col_aux+l] := 0;
152                     END_IF;
153                 END_FOR;
154             END_FOR;
155             col_aux := col_aux + Nu[j];
156         END_FOR;
157         col_aux := 0;
158         ini := ini + Nu[i];
159     END_FOR;
160

```

```

161 // ***** Matriz de Diagonales Inferiores -I ***** //
162
163 col_aux := 0;
164
165 FOR i := 1 TO nEnt DO
166   FOR j := 1 TO nEnt DO
167     FOR k := 1 TO Nu[i] DO
168       FOR l := 1 TO Nu[j]+nSal DO
169         IF (i=j AND k>=1) THEN
170           A[ini+k, col_aux+1] := -1;
171         ELSE
172           A[ini+k, col_aux+1] := 0;
173         END_IF;
174       END_FOR;
175     END_FOR;
176     col_aux := col_aux + Nu[j];
177   END_FOR;
178   col_aux := 0;
179   ini := ini + Nu[i];
180 END_FOR;
181
182
183 // ***** Matriz G_g para restricciones en y ***** //
184
185 FOR i := 1 TO Sum_N2 DO // Matriz G
186   FOR j := 1 TO Sum_Nu DO
187     A[ini+i, j] := G_g[i, j];
188   END_FOR;
189 END_FOR;
190
191 FOR i := 1 TO nSal DO // A la dcha de G
192   FOR j := 1 TO nSal DO
193     FOR k := 1 TO N2[j] DO
194       IF i=j THEN
195         A[ini+k, Sum_Nu+i] := -1;
196       ELSE
197         A[ini+k, Sum_Nu+i] := 0;
198       END_IF;
199     END_FOR;
200     ini := ini + k - 1;
201   END_FOR;
202   ini := ini - Sum_N2;
203 END_FOR;
204
205
206 ini := ini + Sum_N2;
207
208 // ***** Matriz -G_g para restricciones en y ***** //
209
210 FOR i := 1 TO Sum_N2 DO // Matriz -G
211   FOR j := 1 TO Sum_Nu DO
212     A[ini+i, j] := -G_g[i, j];
213   END_FOR;
214 END_FOR;
215
216 FOR i := 1 TO nSal DO // A la dcha de -G
217   FOR j := 1 TO nSal DO
218     FOR k := 1 TO N2[j] DO
219       IF i=j THEN
220         A[ini+k, Sum_Nu+i] := -1;
221       ELSE
222         A[ini+k, Sum_Nu+i] := 0;
223       END_IF;
224     END_FOR;
225     ini := ini + k - 1;
226   END_FOR;
227   ini := ini - Sum_N2;
228 END_FOR;
229
230 ini := ini + Sum_N2;
231
232
233 // **** Variables de holgura para restricciones blandas **** //
234
235 FOR i := 1 TO nSal DO
236   FOR j := 1 TO Sum_Nu DO
237     A[ini+i, j] := 0;
238   END_FOR;
239 END_FOR;
240

```

```
241 FOR i := 1 TO nSal DO
242     FOR j := 1 TO nSal DO
243         IF i=j THEN
244             A[ini+i, Sum_Nu+j] := -1;
245         END_IF;
246     END_FOR;
247 END_FOR;
248
249
250 // Matriz b - Termino indpte de las restricciones lineales
251 // - DuMax [Sum_Nu, 1] - No cambia
252 // - DuMin [Sum_Nu, 1] - No cambia
253 // - uMax [Sum_Nu, 1]
254 // - uMin [Sum_Nu, 1]
255 // - yMax [Sum_N2_N1, 1]
256 // - yMin [Sum_N2_N1, 1]
257 // - Epsilon [nSal, 1]
258
259
260 // Limites en los incrementos
261
262 ini := 0; // Du máximo
263 FOR i := 1 TO nEnt DO
264     FOR j := 1 TO Nu[i] DO
265         B[ini+j] := Du_Max[i];
266     END_FOR;
267     ini := ini + j -1;
268 END_FOR;
269
270 FOR i := 1 TO nEnt DO
271     FOR j := 1 TO Nu[i] DO // Du mínimo
272         B[ini+j] := -Du_Min[i];
273     END_FOR;
274     ini := ini + j -1;
275 END_FOR;
276
277
278
279 END_FUNCTION
280
```



```

1 FUNCTION FC_Rellenar_Matrices_4 : VOID
2
3 // ***** //
4
5 CONST
6 // constantes
7   nEnt_max := 3;
8   nPer_max := 3;
9   nSal_max := 3;
10
11   nCoef_max := 100;
12   Sum_nCoef_max := nCoef_max*nSal_max;
13
14   N2_max := 30;
15   Sum_N2_max := N2_max*nSal_max;
16
17   Nu_max := 5;
18   Sum_Nu_max := Nu_max*nEnt_max;
19
20   Dim_A := Sum_Nu_max + nSal_max;
21   Dim_B := 4*Sum_Nu_max + 2*Sum_N2_max + nSal_max;
22
23 END_CONST
24
25 // ***** //
26
27 VAR_INPUT
28
29   Dim_1:    INT;    // Numero de columnas de la matriz A
30   Dim_2:    INT;    // Numero de filas de la matriz A
31
32 END_VAR
33
34 // ***** //
35
36 VAR_IN_OUT
37
38   A:        ARRAY [1..Dim_B, 1..Dim_A] OF REAL;
39   invH:     ARRAY [1..Dim_A, 1..Dim_A] OF REAL;
40
41 END_VAR
42
43 // ***** //
44
45 VAR_TEMP
46
47   i, j, k, l:  INT;
48   ini:         INT;
49
50   fil_Gij, fil_aux: INT;
51   col, col_Gij, col_aux: INT;
52
53   nFil_A, nFil_B, nCol_A, nCol_B: INT;
54
55   Sum_Nu, Sum_N2, Sum_N2_N1, Sum_nCoef: INT;
56
57 END_VAR
58
59 // Área de instrucciones
60 BEGIN
61
62
63   (*****
64   (* Calcular P *)
65   (* P = A_cons*(H_1*A_cons') *)
66   (*****
67
68   (*****
69   (* aux_2 = H_1*A' *)
70   (*****
71
72   nFil_A := Dim_1;
73   nCol_A := Dim_1;
74
75   nFil_B := Dim_1;
76   nCol_B := Dim_2;
77
78
79   FOR i := 1 TO nFil_A DO
80     FOR j := 1 TO nCol_B DO

```

```

81         DB_aux.aux_2[i,j] := 0;
82         FOR k :=1 TO nCol_A DO
83             // Se han cambiado los indices de la matriz A para que sea la traspu
ta
84             DB_aux.aux_2[i,j] := DB_aux.aux_2[i,j] + (invH[i,k]*A[j,k]);
85         END_FOR;
86     END_FOR;
87 END_FOR;
88
89
90 (*****
91 (*      P := A*aux_2
92 (*****
93
94 nFil_A := Dim_2;
95 nCol_A := Dim_1;
96
97 nFil_B := Dim_1;
98 nCol_B := Dim_2;
99
100
101 FOR i := 1 TO nFil_A DO
102     IF i<=65 THEN
103         FOR j := 1 TO nCol_B DO
104             DB_QP_P_1.P[i,j] := 0;
105             FOR k :=1 TO nCol_A DO
106                 DB_QP_P_1.P[i,j] := DB_QP_P_1.P[i,j] + (A[i,k]*DB_aux.aux_2[k,j]);
107             END_FOR;
108         END_FOR;
109     ELSIF i<=130 THEN
110         FOR j := 1 TO nCol_B DO
111             DB_QP_P_2.P[i-65,j] := 0;
112             FOR k :=1 TO nCol_A DO
113                 DB_QP_P_2.P[i-65,j] := DB_QP_P_2.P[i-65,j] + (A[i,k]*DB_aux.aux_2[
k,j]);
114             END_FOR;
115         END_FOR;
116     ELSIF i<=195 THEN
117         FOR j := 1 TO nCol_B DO
118             DB_QP_P_3.P[i-130,j] := 0;
119             FOR k :=1 TO nCol_A DO
120                 DB_QP_P_3.P[i-130,j] := DB_QP_P_3.P[i-130,j] + (A[i,k]*DB_aux.aux_
2[k,j]);
121             END_FOR;
122         END_FOR;
123     ELSIF i<=243 THEN
124         FOR j := 1 TO nCol_B DO
125             DB_QP_P_4.P[i-195,j] := 0;
126             FOR k :=1 TO nCol_A DO
127                 DB_QP_P_4.P[i-195,j] := DB_QP_P_4.P[i-195,j] + (A[i,k]*DB_aux.aux_
2[k,j]);
128             END_FOR;
129         END_FOR;
130     END_IF;
131 END_FOR;
132
133
134 END_FUNCTION
135
136

```

```

1 FUNCTION_BLOCK FB_DMC
2
3 // ***** CONST ***** END_CONST //
4 CONST
5 // constantes
6 nEnt_max := 3;
7 nPer_max := 3;
8 nSal_max := 3;
9
10 nCoef_max := 100;
11 Sum_nCoef_max := nCoef_max*nSal_max;
12
13 N2_max := 30;
14 Sum_N2_max := N2_max*nSal_max;
15
16 Nu_max := 5;
17 Sum_Nu_max := Nu_max*nEnt_max;
18
19 Dim_1 := Sum_Nu_max + nSal_max;
20 Dim_2 := 4*Sum_Nu_max + 2*Sum_N2_max + nSal_max;
21
22 END_CONST
23
24 // ***** VAR_INPUT ***** END_VAR //
25 VAR_INPUT
26 // variables de entrada
27 flag: BOOL;
28 END_VAR
29 // ***** VAR_OUTPUT ***** END_VAR //
30 VAR_OUTPUT
31 // variables de salida
32 END_VAR
33
34 // ***** VAR_IN_OUT ***** END_VAR //
35 VAR_IN_OUT
36 // variables de entrada/salida
37 END_VAR
38
39 // ***** VAR_TEMP ***** END_VAR //
40 VAR_TEMP
41 // variables temporales
42 i, j, k: INT;
43
44 nSample: INT;
45
46 ini, ini_T: INT;
47
48 nFil_A, nCol_A, nFil_B, nCol_B: INT;
49
50 END_VAR
51 // ***** VAR ***** END_VAR //
52 VAR
53 // variables estáticas
54
55 // ***** VAR ***** END_VAR //
56 // ** Identificacion del sistema ***** END_VAR //
57 // ***** VAR ***** END_VAR //
58 nEnt: INT;
59 nPer: INT;
60 nSal: INT;
61
62 nCoef: ARRAY [1..nSal_max] OF INT;
63
64 g_1: ARRAY [1..Sum_nCoef_max, 1..nSal_max] OF REAL;
65 d_1: ARRAY [1..Sum_nCoef_max, 1..nSal_max] OF REAL;
66
67 u0: ARRAY [1..nEnt_max] OF REAL;
68 v0: ARRAY [1..nPer_max] OF REAL;
69 y0: ARRAY [1..nSal_max] OF REAL;
70
71 // ***** VAR ***** END_VAR //
72 // ** Parámetros propios del DMC ***** END_VAR //
73 // ***** VAR ***** END_VAR //
74
75 N1: ARRAY [1..nSal_max] OF INT; // Inicio del horizonte de coincidencia
76 N2: ARRAY [1..nSal_max] OF INT; // Horizonte de prediccion
77 Nu: ARRAY [1..nEnt_max] OF INT; // Horizonte de control
78
79 alpha: ARRAY [1..nSal_max] OF REAL; // Polo discreto para trayectoria de referenc

```

```

80
81  beta:  ARRAY [1..nEnt_max] OF REAL; // Peso de las acciones de control
82  gamma: ARRAY [1..nSal_max] OF REAL; // Peso del error de cada salida del sistema
83
84
85  rho:  ARRAY [1..nSal_max] OF REAL; // Penalización de las variables de holgura
86
87  Du_Min: ARRAY [1..nEnt_max] OF REAL; // Limite superior en los incrementos
88  Du_Max: ARRAY [1..nEnt_max] OF REAL; // Limite inferior en los incrementos
89
90  u_Min:  ARRAY [1..nEnt_max] OF REAL; // Limite superior en las acciones de control
91  u_Max:  ARRAY [1..nEnt_max] OF REAL; // Limite inferior en las acciones de control
92
93  y_Min:  ARRAY [1..nSal_max] OF REAL; // Limite superior en las salidas del sistema
94  y_Max:  ARRAY [1..nSal_max] OF REAL; // Limite inferior en las salidas del sistema
95
96  // ***** //
97  // ** Matrices del DMC ***** //
98  // ***** //
99
100 Sum_N2:  INT;
101 Sum_N2_N1: INT;
102 Sum_Nu:  INT;
103 Sum_nCoef: INT;
104
105 D_sum:  ARRAY [1..Sum_N2_max, 1..nEnt_max] OF REAL;
106
107 G:  ARRAY [1..Sum_N2_max, 1..Sum_Nu_max] OF REAL;
108 G_g: ARRAY [1..Sum_N2_max, 1..Sum_Nu_max] OF REAL;
109
110 A:  ARRAY [1..Dim_2, 1..Dim_1] OF REAL;
111 B:  ARRAY [1..Dim_2] OF REAL;
112
113 H:  ARRAY [1..Dim_1, 1..Dim_1] OF REAL;
114 inv_H: ARRAY [1..Dim_1, 1..Dim_1] OF REAL;
115
116 C:  ARRAY [1..Dim_1] OF REAL;
117 C_aux: ARRAY [1..Sum_Nu_max, 1..Sum_N2_max] OF REAL;
118
119 L:  ARRAY [1..Sum_nCoef_max] OF REAL;
120
121 u_old: ARRAY [1..nEnt_max] OF REAL;
122 v_old: ARRAY [1..nPer_max] OF REAL;
123
124
125 // ***** //
126 // ** Variables auxiliares ***** //
127 // ***** //
128
129 flag_ini:  BOOL := TRUE;
130
131 G_aux:  ARRAY [1..Sum_Nu_max, 1..Sum_N2_max] OF REAL;
132 H_aux:  ARRAY [1..Dim_1, 1..Dim_1] OF REAL;
133
134
135 // Estas despues son temporales
136
137 Du:  ARRAY [1..nEnt_max] OF REAL;
138 Dv:  ARRAY [1..nPer_max] OF REAL;
139
140 T:  ARRAY [1..Sum_N2_max] OF REAL; // [Sum_N2]
141 R:  ARRAY [1..Sum_N2_max] OF REAL; // [Sum_N2]
142 D:  ARRAY [1..Sum_N2_max] OF REAL; // [Sum_N2_N1]
143
144 y_ant:  REAL;
145
146 // Estas despues son in/out
147 u:  ARRAY [1..nEnt_max] OF REAL;
148 v:  ARRAY [1..nPer_max] OF REAL;
149 y:  ARRAY [1..nSal_max] OF REAL;
150 ref: ARRAY [1..nSal_max] OF REAL;
151
152 // ***** //
153 // ** Salida del optimizador ***** //
154 // ***** //
155
156 nIter:  INT;
157 Sol:  ARRAY [1..Dim_1] OF REAL;
158
159 Du_new: ARRAY [1..nEnt_max] OF REAL;

```

```

160
161 END_VAR
162
163 // ***** //
164
165 BEGIN
166
167     IF (flag=TRUE AND flag_ini=TRUE) THEN
168
169         FC_Inicializar_Ctes ( nEnt:=nEnt, nSal:=nSal, Sum_N2:=Sum_N2, Sum_N2_N1:=Sum_N
2_N1, Sum_Nu:=Sum_Nu, Sum_nCoef:=Sum_nCoef, nCoef:=nCoef, u0:=u0, y0:=y0, N1:=N1, N2:=
N2, Nu:=Nu, beta:=beta, gamma:=gamma );
170         FC_Vaciar_Matrices ( D_sum:=D_sum, G:=G, G_g:=G_g, A:=A, B:=B, H:=H, inv_H:=in
v_H, C:=C, C_aux:=C_aux, L:=L );
171         FC_Rellenar_Matrices_1 ( nEnt:=nEnt, nPer:=nPer, nSal:=nSal, nCoef:=nCoef, g_1
:=g_1, d_1:=d_1, u0:=u0, y0:=y0, N1:=N1, N2:=N2, Nu:=Nu, D_sum:=D_sum, G:=G, G_g:=G_g)
;
172         FC_Rellenar_Matrices_2 ( nEnt:=nEnt, nSal:=nSal, nCoef:=nCoef, N1:=N1, N2:=N2,
Nu:=Nu, beta:=beta, gamma:=gamma, rho:=rho, G:=G, H:=H, inv_H:=inv_H, C:=C, C_aux:=C_
aux, G_aux:=G_aux, H_aux:=H_aux);
173         FC_Rellenar_Matrices_3 ( nEnt:=nEnt, nSal:=nSal, nCoef:=nCoef, N1:=N1, N2:=N2,
Nu:=Nu, Du_Min:=Du_Min, Du_Max:=Du_Max, u_Min:=u_Min, u_Max:=u_Max, y_Min:=y_Min, y_M
ax:=y_Max, G_g:=G_g, A:=A, B:=B );
174         FC_Rellenar_Matrices_4 ( Dim_1:=(Sum_Nu + nSal), Dim_2:=(4*Sum_Nu + 2*Sum_N2 +
nSal), A:=A, invH:=inv_H );
175
176         flag_ini := FALSE;
177
178     ELSE
179
180         (*****
181         (**                               Regulator DMC                               **)
182         (*****
183
184         (*****
185
186     FOR i:=1 TO nEnt DO
187         Du[i] := u[i]-u_old[i];
188         //u_old[i] := u[i];
189     END_FOR;
190
191     FOR i:=1 TO nPer DO
192         Dv[i] := v[i]-v_old[i];
193         //v_old[i] := v[i];
194     END_FOR;
195
196
197     (*****
198     (** Actualizar la respuesta libre *)
199     (**     IF nPer>0 THEN *)
200     (**         L = L + g*Du + d*Dv; *)
201     (**     ELSE *)
202     (**         L = L + g*Du; *)
203     (**     END IF; *)
204     (*****
205
206     // Desplazar hacia abajo una posicion
207
208     ini := 0;
209     FOR j := 1 TO nSal DO
210         FOR k := 2 TO nCoef[j] DO
211             L[ini+k-1] := L[ini+k];
212         END_FOR;
213         ini := ini + nCoef[j];
214     END_FOR;
215
216     // g*Du - Multiplicacion de matrices
217
218     nFil_A := Sum_nCoef;
219     nCol_A := nEnt;
220
221     nFil_B := nEnt;
222     nCol_B := 1;
223
224
225     FOR i := 1 TO nFil_A DO
226         // No inicializamos de nuevo L y sumamos el efecto de las nuevas entradas
227         FOR j :=1 TO nCol_A DO
228             L[i] := L[i] + (g_1[i,j]*Du[j]);
229         END_FOR;

```

```

230     END_FOR;
231
232     // L + d*Dv - Multiplicacion de matrices - Solo si hay perturbaciones medibles
233
234     IF nPer>0 THEN
235
236         nFil_A := Sum_nCoef;
237         nCol_A := nPer;
238
239         nFil_B := nPer;
240         nCol_B := 1;
241
242         FOR i := 1 TO nFil_A DO
243             // No inicializamos de nuevo L y sumamos el efecto de las nuevas perturbaci
244 ones
245             FOR j :=1 TO nCol_A DO
246                 L[i] := L[i] + (d_1[i,j]*Dv[j]);
247             END_FOR;
248         END_FOR;
249     END_IF;
250
251     // Calcular la salida predicha
252
253     ini := 0;
254     ini_T := 0;
255     FOR j := 1 TO nSal DO
256         FOR k := 2 TO N2[j]+1 DO
257             IF k <= nCoef[j] THEN
258                 T[ini_T+k-1] := L[ini + k] + y[j] - L[ini + 1];
259             ELSE
260                 T[ini_T+k-1] := L[ini + nCoef[j]] + y[j] - L[ini + 1];
261             END_IF;
262         END_FOR;
263         ini := ini + nCoef[j] ;
264         ini_T := ini_T + N2[j];
265     END_FOR;
266
267     // Si hay perturbaciones medibles se suma su efecto considerando que Dv(t+1)=Dv(t)
=cte
268
269     IF nPer>0 THEN
270
271         nFil_A := Sum_N2;
272         nCol_A := nPer;
273
274         nFil_B := nPer;
275         nCol_B := 1;
276
277         FOR i := 1 TO nFil_A DO
278             FOR k :=1 TO nCol_A DO
279                 T[i] := T[i] + (D_sum[i,k]*Dv[k]);
280             END_FOR;
281         END_FOR;
282
283     END_IF;
284
285     // Filtrar la referencia para que tenga dinamica
286
287     ini := 0;
288     FOR j := 1 TO nSal DO
289         y_ant := y[j];
290         FOR k := 1 TO N2[j] DO
291             R[ini + k] := (1-alpha[j])*ref[j] + alpha[j]*y_ant;
292             y_ant := R[ini + k];
293         END_FOR;
294         ini := ini + N2[j] ;
295     END_FOR;
296
297
298     // No se coge el error de toda la respuesta libre, sólo entre N1 y N2
299
300     k := 0;
301     ini := 0;
302     FOR i := 1 TO nSal DO
303         FOR j := N1[i] TO N2[i] DO
304             k := k+1;
305             D[k] := R[ini+j] - T[ini+j] ;
306         END_FOR;
307         ini := ini + N2[i];

```

```

308     END_FOR;
309
310
311     (*****
312     (** Gradiente *)
313     (* - C := [Caux*D;0;0;0]; *)
314     (*****
315
316     nFil_A := Sum_Nu;
317     nCol_A := Sum_N2_N1;
318
319     nFil_B := Sum_N2_N1;
320     nCol_B := 1;
321
322     FOR i := 1 TO nFil_A DO
323         C[i] := 0.0;
324         FOR k := 1 TO nCol_A DO
325             C[i] := C[i] + (C_aux[i,k]*D[k]);
326         END_FOR;
327     END_FOR;
328
329     FOR i := 1 TO nSal DO
330         C[Sum_Nu+i] := 0.0;
331     END_FOR;
332
333
334     (*****
335     (** Restricciones *)
336     (** - Solo varia el termino independiente B *)
337     (*****
338
339     ini := 2*Sum_Nu;
340     FOR j := 1 TO nEnt DO
341         FOR k := 1 TO Nu[j] DO
342             B[ini+k] := u_Max[j] - u[j];
343         END_FOR;
344         ini := ini + k - 1;
345     END_FOR;
346
347     FOR j := 1 TO nEnt DO
348         FOR k := 1 TO Nu[j] DO
349             B[ini+k] := -u_Min[j] + u[j];
350         END_FOR;
351         ini := ini + k - 1;
352     END_FOR;
353
354     ini_T := 0;
355     FOR j := 1 TO nSal DO
356         FOR k := 1 TO N2[j] DO
357             B[ini+k] := y_Max[j] - T[ini_T + k];
358         END_FOR;
359         ini := ini + k - 1;
360         ini_T := ini_T + k - 1;
361     END_FOR;
362
363     ini_T := 0;
364     FOR j := 1 TO nSal DO
365         FOR k := 1 TO N2[j] DO
366             B[ini+k] := -y_Min[j] + T[ini_T + k];
367         END_FOR;
368         ini := ini + k - 1;
369         ini_T := ini_T + k - 1;
370     END_FOR;
371
372     FOR j := 1 TO nSal DO
373         B[ini+j] := 0.0;
374     END_FOR;
375
376
377
378     (*****
379     (** Llamada al optimizador *)
380     (*****
381
382     FC_Optimizador_QP( MaxIter:=15, Dim_1:=(Sum_Nu + nSal), Dim_2:=(4*Sum_Nu + 2*Sum_N
2 + nSal), nIter:=nIter, A:=A, B:=B, C:=C, invH:=inv_H, Sol:=Sol );
383
384     ini := 0;
385     FOR i:=1 TO nEnt DO
386         Du_new[i] := Sol[ini+1];

```

```
387     ini := ini+Nu[i];
388     END_FOR;
389
390     END_IF;
391
392 END_FUNCTION_BLOCK
393
```



```

1  DATA_BLOCK DB_Reactor_DMC FB_DMC
2
3  BEGIN
4
5      (* Esto es solo para pruebas *)
6      ref[1]:= 7.2;          ref[2]:= 60.0;          ref[3]:=0.8;
7      u[1] := 26.665115472;  u[2] := 25.822517;    u[3] := 0.0;
8      v[1] := 8.0;          v[2] := 31.0;          v[3] := 20.0;
9      y[1] := 7.2;          y[2] := 60.0;          y[3] := 0.8;
10
11     (* ***** *)
12     (* Modelo de Respuesta Salto del Sistema *)
13     (* ***** *)
14
15     (* Número de parámetros del sistema *)
16     nEnt := 2;
17     nPer := 3;
18     nSal := 3;
19
20     (* Número de coeficientes de la respuesta salto *)
21     nCoef[1] := 104;
22     nCoef[2] := 58;
23     nCoef[3] := 104;
24
25     (* Valores iniciales de las variables *)
26
27     // Entradas
28     u0[1] := 26.6665978;    u_old[1] := 26.6665978;
29     u0[2] := 25.822517;    u_old[2] := 25.822517;
30     u0[3] := 0.0;          u_old[3] := 0.0;
31
32     // Perturbaciones
33     v0[1] := 8.0;          v_old[1] := 8.0;
34     v0[2] := 30.0;         v_old[2] := 30.0;
35     v0[3] := 20.0;         v_old[3] := 20.0;
36
37     // Salidas
38     y0[1] := 7.2;
39     y0[2] := 60.0;
40     y0[3] := 0.8;
41
42     (* Coeficientes de la respuesta salto - Entrada/Salida - g_1[nCoef(i)*nSal, nEnt]*)
43 )
44     g_1[1,1] := -0.036839;
45     g_1[1,2] := -0.00024847;
46     g_1[2,1] := -0.038374;
47     g_1[2,2] := -0.00056707;
48     g_1[3,1] := -0.036962;
49     g_1[3,2] := -0.00089732;
50     g_1[4,1] := -0.035427;
51     g_1[4,2] := -0.0012244;
52     g_1[5,1] := -0.034005;
53     g_1[5,2] := -0.0015445;
54     g_1[6,1] := -0.032706;
55     g_1[6,2] := -0.0018562;
56     g_1[7,1] := -0.03152;
57     g_1[7,2] := -0.0021588;
58     g_1[8,1] := -0.030439;
59     g_1[8,2] := -0.0024521;
60     g_1[9,1] := -0.029452;
61     g_1[9,2] := -0.0027357;
62     g_1[10,1] := -0.028552;
63     g_1[10,2] := -0.0030093;
64     g_1[11,1] := -0.027731;
65     g_1[11,2] := -0.003273;
66     g_1[12,1] := -0.026982;
67     g_1[12,2] := -0.0035267;
68     g_1[13,1] := -0.026298;
69     g_1[13,2] := -0.0037703;
70     g_1[14,1] := -0.025675;
71     g_1[14,2] := -0.004004;
72     g_1[15,1] := -0.025106;
73     g_1[15,2] := -0.004228;
74     g_1[16,1] := -0.024587;
75     g_1[16,2] := -0.0044423;
76     g_1[17,1] := -0.024113;
77     g_1[17,2] := -0.0046472;
78     g_1[18,1] := -0.023681;
79     g_1[18,2] := -0.0048429;
80     g_1[19,1] := -0.023287;

```

```
80 g_1[19,2] := -0.0050296;
81 g_1[20,1] := -0.022928;
82 g_1[20,2] := -0.0052075;
83 g_1[21,1] := -0.0226;
84 g_1[21,2] := -0.005377;
85 g_1[22,1] := -0.0223;
86 g_1[22,2] := -0.0055384;
87 g_1[23,1] := -0.022027;
88 g_1[23,2] := -0.0056918;
89 g_1[24,1] := -0.021778;
90 g_1[24,2] := -0.0058376;
91 g_1[25,1] := -0.021551;
92 g_1[25,2] := -0.0059761;
93 g_1[26,1] := -0.021344;
94 g_1[26,2] := -0.0061075;
95 g_1[27,1] := -0.021155;
96 g_1[27,2] := -0.0062322;
97 g_1[28,1] := -0.020982;
98 g_1[28,2] := -0.0063504;
99 g_1[29,1] := -0.020825;
100 g_1[29,2] := -0.0064624;
101 g_1[30,1] := -0.020681;
102 g_1[30,2] := -0.0065685;
103 g_1[31,1] := -0.02055;
104 g_1[31,2] := -0.0066689;
105 g_1[32,1] := -0.020431;
106 g_1[32,2] := -0.0067639;
107 g_1[33,1] := -0.020321;
108 g_1[33,2] := -0.0068537;
109 g_1[34,1] := -0.020222;
110 g_1[34,2] := -0.0069386;
111 g_1[35,1] := -0.020131;
112 g_1[35,2] := -0.0070189;
113 g_1[36,1] := -0.020048;
114 g_1[36,2] := -0.0070947;
115 g_1[37,1] := -0.019973;
116 g_1[37,2] := -0.0071662;
117 g_1[38,1] := -0.019904;
118 g_1[38,2] := -0.0072338;
119 g_1[39,1] := -0.019841;
120 g_1[39,2] := -0.0072975;
121 g_1[40,1] := -0.019784;
122 g_1[40,2] := -0.0073576;
123 g_1[41,1] := -0.019731;
124 g_1[41,2] := -0.0074143;
125 g_1[42,1] := -0.019684;
126 g_1[42,2] := -0.0074678;
127 g_1[43,1] := -0.01964;
128 g_1[43,2] := -0.0075181;
129 g_1[44,1] := -0.0196;
130 g_1[44,2] := -0.0075656;
131 g_1[45,1] := -0.019564;
132 g_1[45,2] := -0.0076102;
133 g_1[46,1] := -0.019531;
134 g_1[46,2] := -0.0076523;
135 g_1[47,1] := -0.019501;
136 g_1[47,2] := -0.0076919;
137 g_1[48,1] := -0.019473;
138 g_1[48,2] := -0.0077292;
139 g_1[49,1] := -0.019448;
140 g_1[49,2] := -0.0077643;
141 g_1[50,1] := -0.019425;
142 g_1[50,2] := -0.0077973;
143 g_1[51,1] := -0.019404;
144 g_1[51,2] := -0.0078283;
145 g_1[52,1] := -0.019385;
146 g_1[52,2] := -0.0078575;
147 g_1[53,1] := -0.019368;
148 g_1[53,2] := -0.0078849;
149 g_1[54,1] := -0.019352;
150 g_1[54,2] := -0.0079107;
151 g_1[55,1] := -0.019338;
152 g_1[55,2] := -0.007935;
153 g_1[56,1] := -0.019324;
154 g_1[56,2] := -0.0079577;
155 g_1[57,1] := -0.019312;
156 g_1[57,2] := -0.0079791;
157 g_1[58,1] := -0.019301;
158 g_1[58,2] := -0.0079992;
159 g_1[59,1] := -0.019291;
```

```
160 g_1[59,2] := -0.0080181;
161 g_1[60,1] := -0.019282;
162 g_1[60,2] := -0.0080358;
163 g_1[61,1] := -0.019274;
164 g_1[61,2] := -0.0080524;
165 g_1[62,1] := -0.019266;
166 g_1[62,2] := -0.0080681;
167 g_1[63,1] := -0.019259;
168 g_1[63,2] := -0.0080827;
169 g_1[64,1] := -0.019253;
170 g_1[64,2] := -0.0080965;
171 g_1[65,1] := -0.019247;
172 g_1[65,2] := -0.0081094;
173 g_1[66,1] := -0.019242;
174 g_1[66,2] := -0.0081215;
175 g_1[67,1] := -0.019237;
176 g_1[67,2] := -0.0081328;
177 g_1[68,1] := -0.019233;
178 g_1[68,2] := -0.0081435;
179 g_1[69,1] := -0.019229;
180 g_1[69,2] := -0.0081535;
181 g_1[70,1] := -0.019225;
182 g_1[70,2] := -0.0081628;
183 g_1[71,1] := -0.019222;
184 g_1[71,2] := -0.0081716;
185 g_1[72,1] := -0.019219;
186 g_1[72,2] := -0.0081798;
187 g_1[73,1] := -0.019216;
188 g_1[73,2] := -0.0081875;
189 g_1[74,1] := -0.019213;
190 g_1[74,2] := -0.0081948;
191 g_1[75,1] := -0.019211;
192 g_1[75,2] := -0.0082016;
193 g_1[76,1] := -0.019209;
194 g_1[76,2] := -0.0082079;
195 g_1[77,1] := -0.019207;
196 g_1[77,2] := -0.0082139;
197 g_1[78,1] := -0.019205;
198 g_1[78,2] := -0.0082194;
199 g_1[79,1] := -0.019204;
200 g_1[79,2] := -0.0082247;
201 g_1[80,1] := -0.019202;
202 g_1[80,2] := -0.0082295;
203 g_1[81,1] := -0.019201;
204 g_1[81,2] := -0.0082341;
205 g_1[82,1] := -0.019201;
206 g_1[82,2] := -0.0082384;
207 g_1[83,1] := -0.019201;
208 g_1[83,2] := -0.0082424;
209 g_1[84,1] := -0.019201;
210 g_1[84,2] := -0.0082462;
211 g_1[85,1] := -0.019201;
212 g_1[85,2] := -0.0082497;
213 g_1[86,1] := -0.019201;
214 g_1[86,2] := -0.008253;
215 g_1[87,1] := -0.019201;
216 g_1[87,2] := -0.0082561;
217 g_1[88,1] := -0.019201;
218 g_1[88,2] := -0.008259;
219 g_1[89,1] := -0.019201;
220 g_1[89,2] := -0.0082617;
221 g_1[90,1] := -0.019201;
222 g_1[90,2] := -0.0082642;
223 g_1[91,1] := -0.019201;
224 g_1[91,2] := -0.0082666;
225 g_1[92,1] := -0.019201;
226 g_1[92,2] := -0.0082688;
227 g_1[93,1] := -0.019201;
228 g_1[93,2] := -0.0082709;
229 g_1[94,1] := -0.019201;
230 g_1[94,2] := -0.0082729;
231 g_1[95,1] := -0.019201;
232 g_1[95,2] := -0.0082747;
233 g_1[96,1] := -0.019201;
234 g_1[96,2] := -0.0082764;
235 g_1[97,1] := -0.019201;
236 g_1[97,2] := -0.008278;
237 g_1[98,1] := -0.019201;
238 g_1[98,2] := -0.0082795;
239 g_1[99,1] := -0.019201;
```

```
240 g_1[99,2] := -0.0082809;
241 g_1[100,1] := -0.019201;
242 g_1[100,2] := -0.0082822;
243 g_1[101,1] := -0.019201;
244 g_1[101,2] := -0.0082834;
245 g_1[102,1] := -0.019201;
246 g_1[102,2] := -0.0082845;
247 g_1[103,1] := -0.019201;
248 g_1[103,2] := -0.0082856;
249 g_1[104,1] := -0.019201;
250 g_1[104,2] := -0.0082866;
251 g_1[105,1] := 0.061637;
252 g_1[105,2] := -0.010127;
253 g_1[106,1] := 0.11749;
254 g_1[106,2] := -0.027747;
255 g_1[107,1] := 0.16809;
256 g_1[107,2] := -0.050711;
257 g_1[108,1] := 0.21394;
258 g_1[108,2] := -0.077275;
259 g_1[109,1] := 0.25549;
260 g_1[109,2] := -0.10605;
261 g_1[110,1] := 0.29314;
262 g_1[110,2] := -0.13592;
263 g_1[111,1] := 0.32725;
264 g_1[111,2] := -0.16603;
265 g_1[112,1] := 0.35816;
266 g_1[112,2] := -0.19572;
267 g_1[113,1] := 0.38616;
268 g_1[113,2] := -0.2245;
269 g_1[114,1] := 0.41154;
270 g_1[114,2] := -0.252;
271 g_1[115,1] := 0.43453;
272 g_1[115,2] := -0.27799;
273 g_1[116,1] := 0.45537;
274 g_1[116,2] := -0.30232;
275 g_1[117,1] := 0.47425;
276 g_1[117,2] := -0.32488;
277 g_1[118,1] := 0.49135;
278 g_1[118,2] := -0.34566;
279 g_1[119,1] := 0.50685;
280 g_1[119,2] := -0.36466;
281 g_1[120,1] := 0.52089;
282 g_1[120,2] := -0.38194;
283 g_1[121,1] := 0.53362;
284 g_1[121,2] := -0.39756;
285 g_1[122,1] := 0.54515;
286 g_1[122,2] := -0.4116;
287 g_1[123,1] := 0.5556;
288 g_1[123,2] := -0.42417;
289 g_1[124,1] := 0.56506;
290 g_1[124,2] := -0.43537;
291 g_1[125,1] := 0.57364;
292 g_1[125,2] := -0.4453;
293 g_1[126,1] := 0.58141;
294 g_1[126,2] := -0.45406;
295 g_1[127,1] := 0.58846;
296 g_1[127,2] := -0.46177;
297 g_1[128,1] := 0.59484;
298 g_1[128,2] := -0.46852;
299 g_1[129,1] := 0.60062;
300 g_1[129,2] := -0.47441;
301 g_1[130,1] := 0.60586;
302 g_1[130,2] := -0.47952;
303 g_1[131,1] := 0.6106;
304 g_1[131,2] := -0.48394;
305 g_1[132,1] := 0.61491;
306 g_1[132,2] := -0.48775;
307 g_1[133,1] := 0.6188;
308 g_1[133,2] := -0.49101;
309 g_1[134,1] := 0.62233;
310 g_1[134,2] := -0.4938;
311 g_1[135,1] := 0.62553;
312 g_1[135,2] := -0.49617;
313 g_1[136,1] := 0.62843;
314 g_1[136,2] := -0.49818;
315 g_1[137,1] := 0.63106;
316 g_1[137,2] := -0.49986;
317 g_1[138,1] := 0.63344;
318 g_1[138,2] := -0.50128;
319 g_1[139,1] := 0.6356;
```

```
320 g_1[139,2] := -0.50245;
321 g_1[140,1] := 0.63755;
322 g_1[140,2] := -0.50342;
323 g_1[141,1] := 0.63932;
324 g_1[141,2] := -0.50421;
325 g_1[142,1] := 0.64093;
326 g_1[142,2] := -0.50486;
327 g_1[143,1] := 0.64238;
328 g_1[143,2] := -0.50538;
329 g_1[144,1] := 0.6437;
330 g_1[144,2] := -0.5058;
331 g_1[145,1] := 0.64489;
332 g_1[145,2] := -0.50612;
333 g_1[146,1] := 0.64597;
334 g_1[146,2] := -0.50638;
335 g_1[147,1] := 0.64695;
336 g_1[147,2] := -0.50657;
337 g_1[148,1] := 0.64784;
338 g_1[148,2] := -0.50671;
339 g_1[149,1] := 0.64865;
340 g_1[149,2] := -0.50681;
341 g_1[150,1] := 0.64938;
342 g_1[150,2] := -0.50687;
343 g_1[151,1] := 0.65004;
344 g_1[151,2] := -0.50691;
345 g_1[152,1] := 0.65064;
346 g_1[152,2] := -0.50691;
347 g_1[153,1] := 0.65118;
348 g_1[153,2] := -0.50691;
349 g_1[154,1] := 0.65167;
350 g_1[154,2] := -0.50691;
351 g_1[155,1] := 0.65211;
352 g_1[155,2] := -0.50691;
353 g_1[156,1] := 0.65252;
354 g_1[156,2] := -0.50691;
355 g_1[157,1] := 0.65288;
356 g_1[157,2] := -0.50691;
357 g_1[158,1] := 0.65321;
358 g_1[158,2] := -0.50691;
359 g_1[159,1] := 0.65351;
360 g_1[159,2] := -0.50691;
361 g_1[160,1] := 0.65379;
362 g_1[160,2] := -0.50691;
363 g_1[161,1] := 0.65403;
364 g_1[161,2] := -0.50691;
365 g_1[162,1] := 0.65426;
366 g_1[162,2] := -0.50691;
367 g_1[163,1] := 0.019435;
368 g_1[163,2] := 0.00024902;
369 g_1[164,1] := 0.020335;
370 g_1[164,2] := 0.00059765;
371 g_1[165,1] := 0.020253;
372 g_1[165,2] := 0.00097865;
373 g_1[166,1] := 0.020132;
374 g_1[166,2] := 0.0013621;
375 g_1[167,1] := 0.020023;
376 g_1[167,2] := 0.0017352;
377 g_1[168,1] := 0.019926;
378 g_1[168,2] := 0.0020926;
379 g_1[169,1] := 0.019841;
380 g_1[169,2] := 0.0024325;
381 g_1[170,1] := 0.019765;
382 g_1[170,2] := 0.0027547;
383 g_1[171,1] := 0.019698;
384 g_1[171,2] := 0.0030596;
385 g_1[172,1] := 0.019639;
386 g_1[172,2] := 0.003348;
387 g_1[173,1] := 0.019587;
388 g_1[173,2] := 0.0036206;
389 g_1[174,1] := 0.01954;
390 g_1[174,2] := 0.0038782;
391 g_1[175,1] := 0.0195;
392 g_1[175,2] := 0.0041216;
393 g_1[176,1] := 0.019463;
394 g_1[176,2] := 0.0043517;
395 g_1[177,1] := 0.019431;
396 g_1[177,2] := 0.0045691;
397 g_1[178,1] := 0.019403;
398 g_1[178,2] := 0.0047745;
399 g_1[179,1] := 0.019378;
```

```
400 g_1[179,2] := 0.0049686;
401 g_1[180,1] := 0.019356;
402 g_1[180,2] := 0.0051521;
403 g_1[181,1] := 0.019336;
404 g_1[181,2] := 0.0053254;
405 g_1[182,1] := 0.019319;
406 g_1[182,2] := 0.0054892;
407 g_1[183,1] := 0.019304;
408 g_1[183,2] := 0.005644;
409 g_1[184,1] := 0.01929;
410 g_1[184,2] := 0.0057903;
411 g_1[185,1] := 0.019278;
412 g_1[185,2] := 0.0059285;
413 g_1[186,1] := 0.019268;
414 g_1[186,2] := 0.0060591;
415 g_1[187,1] := 0.019258;
416 g_1[187,2] := 0.0061825;
417 g_1[188,1] := 0.01925;
418 g_1[188,2] := 0.0062991;
419 g_1[189,1] := 0.019243;
420 g_1[189,2] := 0.0064093;
421 g_1[190,1] := 0.019236;
422 g_1[190,2] := 0.0065134;
423 g_1[191,1] := 0.019231;
424 g_1[191,2] := 0.0066118;
425 g_1[192,1] := 0.019226;
426 g_1[192,2] := 0.0067048;
427 g_1[193,1] := 0.019221;
428 g_1[193,2] := 0.0067927;
429 g_1[194,1] := 0.019217;
430 g_1[194,2] := 0.0068757;
431 g_1[195,1] := 0.019214;
432 g_1[195,2] := 0.0069541;
433 g_1[196,1] := 0.019211;
434 g_1[196,2] := 0.0070283;
435 g_1[197,1] := 0.019208;
436 g_1[197,2] := 0.0070983;
437 g_1[198,1] := 0.019205;
438 g_1[198,2] := 0.0071645;
439 g_1[199,1] := 0.019203;
440 g_1[199,2] := 0.0072271;
441 g_1[200,1] := 0.019201;
442 g_1[200,2] := 0.0072862;
443 g_1[201,1] := 0.0192;
444 g_1[201,2] := 0.007342;
445 g_1[202,1] := 0.019198;
446 g_1[202,2] := 0.0073948;
447 g_1[203,1] := 0.019197;
448 g_1[203,2] := 0.0074447;
449 g_1[204,1] := 0.019196;
450 g_1[204,2] := 0.0074918;
451 g_1[205,1] := 0.019195;
452 g_1[205,2] := 0.0075364;
453 g_1[206,1] := 0.019194;
454 g_1[206,2] := 0.0075785;
455 g_1[207,1] := 0.019193;
456 g_1[207,2] := 0.0076182;
457 g_1[208,1] := 0.019192;
458 g_1[208,2] := 0.0076558;
459 g_1[209,1] := 0.019192;
460 g_1[209,2] := 0.0076913;
461 g_1[210,1] := 0.019192;
462 g_1[210,2] := 0.0077249;
463 g_1[211,1] := 0.019192;
464 g_1[211,2] := 0.0077566;
465 g_1[212,1] := 0.019192;
466 g_1[212,2] := 0.0077865;
467 g_1[213,1] := 0.019192;
468 g_1[213,2] := 0.0078149;
469 g_1[214,1] := 0.019192;
470 g_1[214,2] := 0.0078416;
471 g_1[215,1] := 0.019192;
472 g_1[215,2] := 0.0078669;
473 g_1[216,1] := 0.019192;
474 g_1[216,2] := 0.0078908;
475 g_1[217,1] := 0.019192;
476 g_1[217,2] := 0.0079134;
477 g_1[218,1] := 0.019192;
478 g_1[218,2] := 0.0079347;
479 g_1[219,1] := 0.019192;
```

```
480 g_1[219,2] := 0.0079548;
481 g_1[220,1] := 0.019192;
482 g_1[220,2] := 0.0079739;
483 g_1[221,1] := 0.019192;
484 g_1[221,2] := 0.0079919;
485 g_1[222,1] := 0.019192;
486 g_1[222,2] := 0.0080089;
487 g_1[223,1] := 0.019192;
488 g_1[223,2] := 0.008025;
489 g_1[224,1] := 0.019192;
490 g_1[224,2] := 0.0080402;
491 g_1[225,1] := 0.019192;
492 g_1[225,2] := 0.0080545;
493 g_1[226,1] := 0.019192;
494 g_1[226,2] := 0.0080681;
495 g_1[227,1] := 0.019192;
496 g_1[227,2] := 0.0080809;
497 g_1[228,1] := 0.019192;
498 g_1[228,2] := 0.008093;
499 g_1[229,1] := 0.019192;
500 g_1[229,2] := 0.0081044;
501 g_1[230,1] := 0.019192;
502 g_1[230,2] := 0.0081153;
503 g_1[231,1] := 0.019192;
504 g_1[231,2] := 0.0081255;
505 g_1[232,1] := 0.019192;
506 g_1[232,2] := 0.0081351;
507 g_1[233,1] := 0.019192;
508 g_1[233,2] := 0.0081443;
509 g_1[234,1] := 0.019192;
510 g_1[234,2] := 0.0081529;
511 g_1[235,1] := 0.019192;
512 g_1[235,2] := 0.008161;
513 g_1[236,1] := 0.019192;
514 g_1[236,2] := 0.0081687;
515 g_1[237,1] := 0.019192;
516 g_1[237,2] := 0.008176;
517 g_1[238,1] := 0.019192;
518 g_1[238,2] := 0.0081829;
519 g_1[239,1] := 0.019192;
520 g_1[239,2] := 0.0081894;
521 g_1[240,1] := 0.019192;
522 g_1[240,2] := 0.0081955;
523 g_1[241,1] := 0.019192;
524 g_1[241,2] := 0.0082013;
525 g_1[242,1] := 0.019192;
526 g_1[242,2] := 0.0082068;
527 g_1[243,1] := 0.019192;
528 g_1[243,2] := 0.008212;
529 g_1[244,1] := 0.019192;
530 g_1[244,2] := 0.0082169;
531 g_1[245,1] := 0.019192;
532 g_1[245,2] := 0.0082215;
533 g_1[246,1] := 0.019192;
534 g_1[246,2] := 0.0082258;
535 g_1[247,1] := 0.019192;
536 g_1[247,2] := 0.00823;
537 g_1[248,1] := 0.019192;
538 g_1[248,2] := 0.0082339;
539 g_1[249,1] := 0.019192;
540 g_1[249,2] := 0.0082376;
541 g_1[250,1] := 0.019192;
542 g_1[250,2] := 0.0082411;
543 g_1[251,1] := 0.019192;
544 g_1[251,2] := 0.0082443;
545 g_1[252,1] := 0.019192;
546 g_1[252,2] := 0.0082475;
547 g_1[253,1] := 0.019192;
548 g_1[253,2] := 0.0082504;
549 g_1[254,1] := 0.019192;
550 g_1[254,2] := 0.0082532;
551 g_1[255,1] := 0.019192;
552 g_1[255,2] := 0.0082558;
553 g_1[256,1] := 0.019192;
554 g_1[256,2] := 0.0082583;
555 g_1[257,1] := 0.019192;
556 g_1[257,2] := 0.0082606;
557 g_1[258,1] := 0.019192;
558 g_1[258,2] := 0.0082628;
559 g_1[259,1] := 0.019192;
```

```
560 g_1[259,2] := 0.0082649;
561 g_1[260,1] := 0.019192;
562 g_1[260,2] := 0.0082669;
563 g_1[261,1] := 0.019192;
564 g_1[261,2] := 0.0082688;
565 g_1[262,1] := 0.019192;
566 g_1[262,2] := 0.0082705;
567 g_1[263,1] := 0.019192;
568 g_1[263,2] := 0.0082722;
569 g_1[264,1] := 0.019192;
570 g_1[264,2] := 0.0082738;
571 g_1[265,1] := 0.019192;
572 g_1[265,2] := 0.0082753;
573 g_1[266,1] := 0.019192;
574 g_1[266,2] := 0.0082767;
```

```
575
576 (* Coeficientes de la respuesta salto - Perturbación/Salida - d_1[nCoef(i)*nSal,
nPer]*)
```

```
577
578 d_1[1,1] := 0.088391;
579 d_1[1,2] := 0.00087099;
580 d_1[1,3] := 0.00070195;
581 d_1[2,1] := 0.16883;
582 d_1[2,2] := 0.0016636;
583 d_1[2,3] := 0.0013407;
584 d_1[3,1] := 0.24202;
585 d_1[3,2] := 0.0023849;
586 d_1[3,3] := 0.001922;
587 d_1[4,1] := 0.30863;
588 d_1[4,2] := 0.0030412;
589 d_1[4,3] := 0.002451;
590 d_1[5,1] := 0.36924;
591 d_1[5,2] := 0.0036385;
592 d_1[5,3] := 0.0029324;
593 d_1[6,1] := 0.4244;
594 d_1[6,2] := 0.004182;
595 d_1[6,3] := 0.0033704;
596 d_1[7,1] := 0.4746;
597 d_1[7,2] := 0.0046766;
598 d_1[7,3] := 0.003769;
599 d_1[8,1] := 0.52027;
600 d_1[8,2] := 0.0051267;
601 d_1[8,3] := 0.0041318;
602 d_1[9,1] := 0.56184;
603 d_1[9,2] := 0.0055363;
604 d_1[9,3] := 0.0044619;
605 d_1[10,1] := 0.59966;
606 d_1[10,2] := 0.005909;
607 d_1[10,3] := 0.0047622;
608 d_1[11,1] := 0.63409;
609 d_1[11,2] := 0.0062482;
610 d_1[11,3] := 0.0050356;
611 d_1[12,1] := 0.66541;
612 d_1[12,2] := 0.0065568;
613 d_1[12,3] := 0.0052843;
614 d_1[13,1] := 0.69391;
615 d_1[13,2] := 0.0068377;
616 d_1[13,3] := 0.0055107;
617 d_1[14,1] := 0.71985;
618 d_1[14,2] := 0.0070933;
619 d_1[14,3] := 0.0057167;
620 d_1[15,1] := 0.74345;
621 d_1[15,2] := 0.0073259;
622 d_1[15,3] := 0.0059042;
623 d_1[16,1] := 0.76493;
624 d_1[16,2] := 0.0075376;
625 d_1[16,3] := 0.0060747;
626 d_1[17,1] := 0.78448;
627 d_1[17,2] := 0.0077302;
628 d_1[17,3] := 0.00623;
629 d_1[18,1] := 0.80227;
630 d_1[18,2] := 0.0079054;
631 d_1[18,3] := 0.0063712;
632 d_1[19,1] := 0.81845;
633 d_1[19,2] := 0.0080649;
634 d_1[19,3] := 0.0064998;
635 d_1[20,1] := 0.83318;
636 d_1[20,2] := 0.0082101;
637 d_1[20,3] := 0.0066167;
638 d_1[21,1] := 0.84659;
```



```
639 d_1[21,2] := 0.0083422;
640 d_1[21,3] := 0.0067232;
641 d_1[22,1] := 0.85879;
642 d_1[22,2] := 0.0084623;
643 d_1[22,3] := 0.0068201;
644 d_1[23,1] := 0.86989;
645 d_1[23,2] := 0.0085717;
646 d_1[23,3] := 0.0069082;
647 d_1[24,1] := 0.87999;
648 d_1[24,2] := 0.0086713;
649 d_1[24,3] := 0.0069884;
650 d_1[25,1] := 0.88918;
651 d_1[25,2] := 0.0087618;
652 d_1[25,3] := 0.0070614;
653 d_1[26,1] := 0.89754;
654 d_1[26,2] := 0.0088443;
655 d_1[26,3] := 0.0071278;
656 d_1[27,1] := 0.90515;
657 d_1[27,2] := 0.0089193;
658 d_1[27,3] := 0.0071883;
659 d_1[28,1] := 0.91208;
660 d_1[28,2] := 0.0089875;
661 d_1[28,3] := 0.0072433;
662 d_1[29,1] := 0.91838;
663 d_1[29,2] := 0.0090496;
664 d_1[29,3] := 0.0072934;
665 d_1[30,1] := 0.92412;
666 d_1[30,2] := 0.0091061;
667 d_1[30,3] := 0.0073389;
668 d_1[31,1] := 0.92934;
669 d_1[31,2] := 0.0091576;
670 d_1[31,3] := 0.0073804;
671 d_1[32,1] := 0.93409;
672 d_1[32,2] := 0.0092044;
673 d_1[32,3] := 0.0074181;
674 d_1[33,1] := 0.93841;
675 d_1[33,2] := 0.009247;
676 d_1[33,3] := 0.0074524;
677 d_1[34,1] := 0.94235;
678 d_1[34,2] := 0.0092857;
679 d_1[34,3] := 0.0074836;
680 d_1[35,1] := 0.94593;
681 d_1[35,2] := 0.009321;
682 d_1[35,3] := 0.0075121;
683 d_1[36,1] := 0.94918;
684 d_1[36,2] := 0.0093531;
685 d_1[36,3] := 0.0075379;
686 d_1[37,1] := 0.95215;
687 d_1[37,2] := 0.0093823;
688 d_1[37,3] := 0.0075615;
689 d_1[38,1] := 0.95484;
690 d_1[38,2] := 0.0094089;
691 d_1[38,3] := 0.0075829;
692 d_1[39,1] := 0.9573;
693 d_1[39,2] := 0.0094331;
694 d_1[39,3] := 0.0076024;
695 d_1[40,1] := 0.95953;
696 d_1[40,2] := 0.0094551;
697 d_1[40,3] := 0.0076201;
698 d_1[41,1] := 0.96156;
699 d_1[41,2] := 0.0094751;
700 d_1[41,3] := 0.0076363;
701 d_1[42,1] := 0.96341;
702 d_1[42,2] := 0.0094933;
703 d_1[42,3] := 0.007651;
704 d_1[43,1] := 0.9651;
705 d_1[43,2] := 0.0095099;
706 d_1[43,3] := 0.0076643;
707 d_1[44,1] := 0.96663;
708 d_1[44,2] := 0.009525;
709 d_1[44,3] := 0.0076765;
710 d_1[45,1] := 0.96802;
711 d_1[45,2] := 0.0095388;
712 d_1[45,3] := 0.0076876;
713 d_1[46,1] := 0.96929;
714 d_1[46,2] := 0.0095513;
715 d_1[46,3] := 0.0076976;
716 d_1[47,1] := 0.97045;
717 d_1[47,2] := 0.0095626;
718 d_1[47,3] := 0.0077068;
```

```
719 d_1[48,1] := 0.9715;
720 d_1[48,2] := 0.009573;
721 d_1[48,3] := 0.0077152;
722 d_1[49,1] := 0.97245;
723 d_1[49,2] := 0.0095824;
724 d_1[49,3] := 0.0077227;
725 d_1[50,1] := 0.97332;
726 d_1[50,2] := 0.009591;
727 d_1[50,3] := 0.0077296;
728 d_1[51,1] := 0.97411;
729 d_1[51,2] := 0.0095988;
730 d_1[51,3] := 0.0077359;
731 d_1[52,1] := 0.97483;
732 d_1[52,2] := 0.0096059;
733 d_1[52,3] := 0.0077417;
734 d_1[53,1] := 0.97549;
735 d_1[53,2] := 0.0096123;
736 d_1[53,3] := 0.0077469;
737 d_1[54,1] := 0.97609;
738 d_1[54,2] := 0.0096182;
739 d_1[54,3] := 0.0077516;
740 d_1[55,1] := 0.97663;
741 d_1[55,2] := 0.0096236;
742 d_1[55,3] := 0.0077559;
743 d_1[56,1] := 0.97712;
744 d_1[56,2] := 0.0096284;
745 d_1[56,3] := 0.0077598;
746 d_1[57,1] := 0.97757;
747 d_1[57,2] := 0.0096329;
748 d_1[57,3] := 0.0077634;
749 d_1[58,1] := 0.97798;
750 d_1[58,2] := 0.0096369;
751 d_1[58,3] := 0.0077666;
752 d_1[59,1] := 0.97835;
753 d_1[59,2] := 0.0096406;
754 d_1[59,3] := 0.0077696;
755 d_1[60,1] := 0.97869;
756 d_1[60,2] := 0.0096439;
757 d_1[60,3] := 0.0077723;
758 d_1[61,1] := 0.979;
759 d_1[61,2] := 0.0096469;
760 d_1[61,3] := 0.0077747;
761 d_1[62,1] := 0.97928;
762 d_1[62,2] := 0.0096497;
763 d_1[62,3] := 0.007777;
764 d_1[63,1] := 0.97954;
765 d_1[63,2] := 0.0096522;
766 d_1[63,3] := 0.007779;
767 d_1[64,1] := 0.97977;
768 d_1[64,2] := 0.0096545;
769 d_1[64,3] := 0.0077808;
770 d_1[65,1] := 0.97998;
771 d_1[65,2] := 0.0096566;
772 d_1[65,3] := 0.0077825;
773 d_1[66,1] := 0.98017;
774 d_1[66,2] := 0.0096585;
775 d_1[66,3] := 0.007784;
776 d_1[67,1] := 0.98035;
777 d_1[67,2] := 0.0096602;
778 d_1[67,3] := 0.0077854;
779 d_1[68,1] := 0.98051;
780 d_1[68,2] := 0.0096618;
781 d_1[68,3] := 0.0077867;
782 d_1[69,1] := 0.98065;
783 d_1[69,2] := 0.0096632;
784 d_1[69,3] := 0.0077879;
785 d_1[70,1] := 0.98078;
786 d_1[70,2] := 0.0096645;
787 d_1[70,3] := 0.0077889;
788 d_1[71,1] := 0.9809;
789 d_1[71,2] := 0.0096657;
790 d_1[71,3] := 0.0077899;
791 d_1[72,1] := 0.98101;
792 d_1[72,2] := 0.0096668;
793 d_1[72,3] := 0.0077907;
794 d_1[73,1] := 0.98111;
795 d_1[73,2] := 0.0096677;
796 d_1[73,3] := 0.0077915;
797 d_1[74,1] := 0.9812;
798 d_1[74,2] := 0.0096686;
```

```
799 d_1[74,3] := 0.0077922;
800 d_1[75,1] := 0.98128;
801 d_1[75,2] := 0.0096694;
802 d_1[75,3] := 0.0077929;
803 d_1[76,1] := 0.98136;
804 d_1[76,2] := 0.0096702;
805 d_1[76,3] := 0.0077935;
806 d_1[77,1] := 0.98143;
807 d_1[77,2] := 0.0096708;
808 d_1[77,3] := 0.0077794;
809 d_1[78,1] := 0.98149;
810 d_1[78,2] := 0.0096715;
811 d_1[78,3] := 0.0077945;
812 d_1[79,1] := 0.98155;
813 d_1[79,2] := 0.009672;
814 d_1[79,3] := 0.007795;
815 d_1[80,1] := 0.9816;
816 d_1[80,2] := 0.0096725;
817 d_1[80,3] := 0.0077954;
818 d_1[81,1] := 0.98164;
819 d_1[81,2] := 0.009673;
820 d_1[81,3] := 0.0077957;
821 d_1[82,1] := 0.98169;
822 d_1[82,2] := 0.0096734;
823 d_1[82,3] := 0.0077961;
824 d_1[83,1] := 0.98173;
825 d_1[83,2] := 0.0096738;
826 d_1[83,3] := 0.0077964;
827 d_1[84,1] := 0.98176;
828 d_1[84,2] := 0.0096741;
829 d_1[84,3] := 0.0077967;
830 d_1[85,1] := 0.98179;
831 d_1[85,2] := 0.0096744;
832 d_1[85,3] := 0.0077969;
833 d_1[86,1] := 0.98182;
834 d_1[86,2] := 0.0096747;
835 d_1[86,3] := 0.0077972;
836 d_1[87,1] := 0.98185;
837 d_1[87,2] := 0.009675;
838 d_1[87,3] := 0.0077974;
839 d_1[88,1] := 0.98187;
840 d_1[88,2] := 0.0096752;
841 d_1[88,3] := 0.0077976;
842 d_1[89,1] := 0.98189;
843 d_1[89,2] := 0.0096755;
844 d_1[89,3] := 0.0077977;
845 d_1[90,1] := 0.98191;
846 d_1[90,2] := 0.0096756;
847 d_1[90,3] := 0.0077979;
848 d_1[91,1] := 0.98193;
849 d_1[91,2] := 0.0096758;
850 d_1[91,3] := 0.007798;
851 d_1[92,1] := 0.98195;
852 d_1[92,2] := 0.009676;
853 d_1[92,3] := 0.0077982;
854 d_1[93,1] := 0.98196;
855 d_1[93,2] := 0.0096761;
856 d_1[93,3] := 0.0077983;
857 d_1[94,1] := 0.98198;
858 d_1[94,2] := 0.0096763;
859 d_1[94,3] := 0.0077984;
860 d_1[95,1] := 0.98199;
861 d_1[95,2] := 0.0096764;
862 d_1[95,3] := 0.0077985;
863 d_1[96,1] := 0.982;
864 d_1[96,2] := 0.0096765;
865 d_1[96,3] := 0.0077986;
866 d_1[97,1] := 0.98201;
867 d_1[97,2] := 0.0096766;
868 d_1[97,3] := 0.0077987;
869 d_1[98,1] := 0.98202;
870 d_1[98,2] := 0.0096767;
871 d_1[98,3] := 0.0077987;
872 d_1[99,1] := 0.98203;
873 d_1[99,2] := 0.0096768;
874 d_1[99,3] := 0.0077988;
875 d_1[100,1] := 0.98204;
876 d_1[100,2] := 0.0096769;
877 d_1[100,3] := 0.0077989;
878 d_1[101,1] := 0.98205;
```

```
879 d_1[101,2] := 0.0096769;
880 d_1[101,3] := 0.0077989;
881 d_1[102,1] := 0.98205;
882 d_1[102,2] := 0.009677;
883 d_1[102,3] := 0.007799;
884 d_1[103,1] := 0.98206;
885 d_1[103,2] := 0.0096771;
886 d_1[103,3] := 0.007799;
887 d_1[104,1] := 0.98206;
888 d_1[104,2] := 0.0096771;
889 d_1[104,3] := 0.0077991;
890 d_1[105,1] := 0.63567;
891 d_1[105,2] := 0.080236;
892 d_1[105,3] := 0.066204;
893 d_1[106,1] := 1.1855;
894 d_1[106,2] := 0.14964;
895 d_1[106,3] := 0.12347;
896 d_1[107,1] := 1.6612;
897 d_1[107,2] := 0.20967;
898 d_1[107,3] := 0.17301;
899 d_1[108,1] := 2.0726;
900 d_1[108,2] := 0.2616;
901 d_1[108,3] := 0.21586;
902 d_1[109,1] := 2.4285;
903 d_1[109,2] := 0.30652;
904 d_1[109,3] := 0.25292;
905 d_1[110,1] := 2.7363;
906 d_1[110,2] := 0.34538;
907 d_1[110,3] := 0.28498;
908 d_1[111,1] := 3.0026;
909 d_1[111,2] := 0.37899;
910 d_1[111,3] := 0.31271;
911 d_1[112,1] := 3.2329;
912 d_1[112,2] := 0.40806;
913 d_1[112,3] := 0.3367;
914 d_1[113,1] := 3.4321;
915 d_1[113,2] := 0.43321;
916 d_1[113,3] := 0.35745;
917 d_1[114,1] := 3.6045;
918 d_1[114,2] := 0.45496;
919 d_1[114,3] := 0.3754;
920 d_1[115,1] := 3.7535;
921 d_1[115,2] := 0.47378;
922 d_1[115,3] := 0.39092;
923 d_1[116,1] := 3.8825;
924 d_1[116,2] := 0.49005;
925 d_1[116,3] := 0.40435;
926 d_1[117,1] := 3.994;
927 d_1[117,2] := 0.50413;
928 d_1[117,3] := 0.41597;
929 d_1[118,1] := 4.0905;
930 d_1[118,2] := 0.51631;
931 d_1[118,3] := 0.42602;
932 d_1[119,1] := 4.174;
933 d_1[119,2] := 0.52685;
934 d_1[119,3] := 0.43471;
935 d_1[120,1] := 4.2462;
936 d_1[120,2] := 0.53596;
937 d_1[120,3] := 0.44223;
938 d_1[121,1] := 4.3086;
939 d_1[121,2] := 0.54384;
940 d_1[121,3] := 0.44873;
941 d_1[122,1] := 4.3626;
942 d_1[122,2] := 0.55066;
943 d_1[122,3] := 0.45435;
944 d_1[123,1] := 4.4094;
945 d_1[123,2] := 0.55655;
946 d_1[123,3] := 0.45922;
947 d_1[124,1] := 4.4498;
948 d_1[124,2] := 0.56166;
949 d_1[124,3] := 0.46343;
950 d_1[125,1] := 4.4847;
951 d_1[125,2] := 0.56607;
952 d_1[125,3] := 0.46707;
953 d_1[126,1] := 4.515;
954 d_1[126,2] := 0.56989;
955 d_1[126,3] := 0.47022;
956 d_1[127,1] := 4.5411;
957 d_1[127,2] := 0.57319;
958 d_1[127,3] := 0.47294;
```

```
959 d_1[128,1] := 4.5638;
960 d_1[128,2] := 0.57604;
961 d_1[128,3] := 0.4753;
962 d_1[129,1] := 4.5833;
963 d_1[129,2] := 0.57851;
964 d_1[129,3] := 0.47734;
965 d_1[130,1] := 4.6003;
966 d_1[130,2] := 0.58065;
967 d_1[130,3] := 0.4791;
968 d_1[131,1] := 4.6149;
969 d_1[131,2] := 0.5825;
970 d_1[131,3] := 0.48062;
971 d_1[132,1] := 4.6276;
972 d_1[132,2] := 0.5841;
973 d_1[132,3] := 0.48194;
974 d_1[133,1] := 4.6385;
975 d_1[133,2] := 0.58548;
976 d_1[133,3] := 0.48308;
977 d_1[134,1] := 4.648;
978 d_1[134,2] := 0.58668;
979 d_1[134,3] := 0.48407;
980 d_1[135,1] := 4.6562;
981 d_1[135,2] := 0.58771;
982 d_1[135,3] := 0.48492;
983 d_1[136,1] := 4.6633;
984 d_1[136,2] := 0.58861;
985 d_1[136,3] := 0.48566;
986 d_1[137,1] := 4.6694;
987 d_1[137,2] := 0.58938;
988 d_1[137,3] := 0.4863;
989 d_1[138,1] := 4.6748;
990 d_1[138,2] := 0.59005;
991 d_1[138,3] := 0.48685;
992 d_1[139,1] := 4.6793;
993 d_1[139,2] := 0.59063;
994 d_1[139,3] := 0.48733;
995 d_1[140,1] := 4.6833;
996 d_1[140,2] := 0.59113;
997 d_1[140,3] := 0.48774;
998 d_1[141,1] := 4.6868;
999 d_1[141,2] := 0.59157;
1000 d_1[141,3] := 0.4881;
1001 d_1[142,1] := 4.6897;
1002 d_1[142,2] := 0.59194;
1003 d_1[142,3] := 0.48841;
1004 d_1[143,1] := 4.6923;
1005 d_1[143,2] := 0.59227;
1006 d_1[143,3] := 0.48868;
1007 d_1[144,1] := 4.6945;
1008 d_1[144,2] := 0.59255;
1009 d_1[144,3] := 0.48891;
1010 d_1[145,1] := 4.6964;
1011 d_1[145,2] := 0.59279;
1012 d_1[145,3] := 0.48911;
1013 d_1[146,1] := 4.6981;
1014 d_1[146,2] := 0.593;
1015 d_1[146,3] := 0.48928;
1016 d_1[147,1] := 4.6996;
1017 d_1[147,2] := 0.59318;
1018 d_1[147,3] := 0.48943;
1019 d_1[148,1] := 4.7008;
1020 d_1[148,2] := 0.59334;
1021 d_1[148,3] := 0.48956;
1022 d_1[149,1] := 4.7019;
1023 d_1[149,2] := 0.59347;
1024 d_1[149,3] := 0.48967;
1025 d_1[150,1] := 4.7028;
1026 d_1[150,2] := 0.59359;
1027 d_1[150,3] := 0.48977;
1028 d_1[151,1] := 4.7036;
1029 d_1[151,2] := 0.59369;
1030 d_1[151,3] := 0.48985;
1031 d_1[152,1] := 4.7043;
1032 d_1[152,2] := 0.59378;
1033 d_1[152,3] := 0.48992;
1034 d_1[153,1] := 4.7049;
1035 d_1[153,2] := 0.59386;
1036 d_1[153,3] := 0.48999;
1037 d_1[154,1] := 4.7054;
1038 d_1[154,2] := 0.59392;
```

```
1039 d_1[154,3] := 0.49004;
1040 d_1[155,1] := 4.7059;
1041 d_1[155,2] := 0.59398;
1042 d_1[155,3] := 0.49009;
1043 d_1[156,1] := 4.7063;
1044 d_1[156,2] := 0.59403;
1045 d_1[156,3] := 0.49013;
1046 d_1[157,1] := 4.7066;
1047 d_1[157,2] := 0.59407;
1048 d_1[157,3] := 0.49016;
1049 d_1[158,1] := 4.7069;
1050 d_1[158,2] := 0.59411;
1051 d_1[158,3] := 0.49019;
1052 d_1[159,1] := 4.7072;
1053 d_1[159,2] := 0.59414;
1054 d_1[159,3] := 0.49022;
1055 d_1[160,1] := 4.7074;
1056 d_1[160,2] := 0.59417;
1057 d_1[160,3] := 0.49024;
1058 d_1[161,1] := 4.7076;
1059 d_1[161,2] := 0.59419;
1060 d_1[161,3] := 0.49026;
1061 d_1[162,1] := 4.7077;
1062 d_1[162,2] := 0.59421;
1063 d_1[162,3] := 0.49028;
1064 d_1[163,1] := 0.034129;
1065 d_1[163,2] := -0.00064839;
1066 d_1[163,3] := -0.00053565;
1067 d_1[164,1] := 0.044985;
1068 d_1[164,2] := -0.0014803;
1069 d_1[164,3] := -0.0012229;
1070 d_1[165,1] := 0.046968;
1071 d_1[165,2] := -0.0023206;
1072 d_1[165,3] := -0.0019171;
1073 d_1[166,1] := 0.045713;
1074 d_1[166,2] := -0.0031077;
1075 d_1[166,3] := -0.0025673;
1076 d_1[167,1] := 0.043408;
1077 d_1[167,2] := -0.0038233;
1078 d_1[167,3] := -0.0031585;
1079 d_1[168,1] := 0.040891;
1080 d_1[168,2] := -0.004466;
1081 d_1[168,3] := -0.0036895;
1082 d_1[169,1] := 0.038467;
1083 d_1[169,2] := -0.0050401;
1084 d_1[169,3] := -0.0041638;
1085 d_1[170,1] := 0.036239;
1086 d_1[170,2] := -0.0055518;
1087 d_1[170,3] := -0.0045865;
1088 d_1[171,1] := 0.034229;
1089 d_1[171,2] := -0.0060073;
1090 d_1[171,3] := -0.0049628;
1091 d_1[172,1] := 0.03243;
1092 d_1[172,2] := -0.0064126;
1093 d_1[172,3] := -0.0052976;
1094 d_1[173,1] := 0.030825;
1095 d_1[173,2] := -0.0067732;
1096 d_1[173,3] := -0.0055955;
1097 d_1[174,1] := 0.029395;
1098 d_1[174,2] := -0.007094;
1099 d_1[174,3] := -0.0058605;
1100 d_1[175,1] := 0.028123;
1101 d_1[175,2] := -0.0073794;
1102 d_1[175,3] := -0.0060963;
1103 d_1[176,1] := 0.026991;
1104 d_1[176,2] := -0.0076332;
1105 d_1[176,3] := -0.006306;
1106 d_1[177,1] := 0.025984;
1107 d_1[177,2] := -0.0078591;
1108 d_1[177,3] := -0.0064926;
1109 d_1[178,1] := 0.025089;
1110 d_1[178,2] := -0.0080599;
1111 d_1[178,3] := -0.0066585;
1112 d_1[179,1] := 0.024292;
1113 d_1[179,2] := -0.0082386;
1114 d_1[179,3] := -0.0068061;
1115 d_1[180,1] := 0.023583;
1116 d_1[180,2] := -0.0083976;
1117 d_1[180,3] := -0.0069374;
1118 d_1[181,1] := 0.022953;
```

```
1119 d_1[181,2] := -0.0085389;
1120 d_1[181,3] := -0.0070542;
1121 d_1[182,1] := 0.022392;
1122 d_1[182,2] := -0.0086647;
1123 d_1[182,3] := -0.0071581;
1124 d_1[183,1] := 0.021893;
1125 d_1[183,2] := -0.0087766;
1126 d_1[183,3] := -0.0072506;
1127 d_1[184,1] := 0.02145;
1128 d_1[184,2] := -0.0088761;
1129 d_1[184,3] := -0.0073328;
1130 d_1[185,1] := 0.021055;
1131 d_1[185,2] := -0.0089646;
1132 d_1[185,3] := -0.0074059;
1133 d_1[186,1] := 0.020704;
1134 d_1[186,2] := -0.0090434;
1135 d_1[186,3] := -0.007471;
1136 d_1[187,1] := 0.020392;
1137 d_1[187,2] := -0.0091134;
1138 d_1[187,3] := -0.0075288;
1139 d_1[188,1] := 0.020114;
1140 d_1[188,2] := -0.0091758;
1141 d_1[188,3] := -0.0075803;
1142 d_1[189,1] := 0.019867;
1143 d_1[189,2] := -0.0092312;
1144 d_1[189,3] := -0.0076261;
1145 d_1[190,1] := 0.019648;
1146 d_1[190,2] := -0.0092805;
1147 d_1[190,3] := -0.0076669;
1148 d_1[191,1] := 0.019452;
1149 d_1[191,2] := -0.0093244;
1150 d_1[191,3] := -0.0077031;
1151 d_1[192,1] := 0.019279;
1152 d_1[192,2] := -0.0093634;
1153 d_1[192,3] := -0.0077353;
1154 d_1[193,1] := 0.019124;
1155 d_1[193,2] := -0.0093981;
1156 d_1[193,3] := -0.007764;
1157 d_1[194,1] := 0.018987;
1158 d_1[194,2] := -0.009429;
1159 d_1[194,3] := -0.0077895;
1160 d_1[195,1] := 0.018864;
1161 d_1[195,2] := -0.0094564;
1162 d_1[195,3] := -0.0078122;
1163 d_1[196,1] := 0.018756;
1164 d_1[196,2] := -0.0094809;
1165 d_1[196,3] := -0.0078324;
1166 d_1[197,1] := 0.018659;
1167 d_1[197,2] := -0.0095026;
1168 d_1[197,3] := -0.0078503;
1169 d_1[198,1] := 0.018573;
1170 d_1[198,2] := -0.0095219;
1171 d_1[198,3] := -0.0078663;
1172 d_1[199,1] := 0.018496;
1173 d_1[199,2] := -0.0095391;
1174 d_1[199,3] := -0.0078805;
1175 d_1[200,1] := 0.018428;
1176 d_1[200,2] := -0.0095544;
1177 d_1[200,3] := -0.0078931;
1178 d_1[201,1] := 0.018368;
1179 d_1[201,2] := -0.009568;
1180 d_1[201,3] := -0.0079044;
1181 d_1[202,1] := 0.018314;
1182 d_1[202,2] := -0.0095801;
1183 d_1[202,3] := -0.0079144;
1184 d_1[203,1] := 0.018266;
1185 d_1[203,2] := -0.0095909;
1186 d_1[203,3] := -0.0079233;
1187 d_1[204,1] := 0.018224;
1188 d_1[204,2] := -0.0096005;
1189 d_1[204,3] := -0.0079312;
1190 d_1[205,1] := 0.018186;
1191 d_1[205,2] := -0.009609;
1192 d_1[205,3] := -0.0079382;
1193 d_1[206,1] := 0.018152;
1194 d_1[206,2] := -0.0096166;
1195 d_1[206,3] := -0.0079445;
1196 d_1[207,1] := 0.018122;
1197 d_1[207,2] := -0.0096233;
1198 d_1[207,3] := -0.0079501;
```

```
1199 d_1[208,1] := 0.018096;
1200 d_1[208,2] := -0.0096293;
1201 d_1[208,3] := -0.007955;
1202 d_1[209,1] := 0.018072;
1203 d_1[209,2] := -0.0096346;
1204 d_1[209,3] := -0.0079594;
1205 d_1[210,1] := 0.018051;
1206 d_1[210,2] := -0.0096394;
1207 d_1[210,3] := -0.0079633;
1208 d_1[211,1] := 0.018032;
1209 d_1[211,2] := -0.0096436;
1210 d_1[211,3] := -0.0079668;
1211 d_1[212,1] := 0.018016;
1212 d_1[212,2] := -0.0096474;
1213 d_1[212,3] := -0.0079699;
1214 d_1[213,1] := 0.018001;
1215 d_1[213,2] := -0.0096507;
1216 d_1[213,3] := -0.0079727;
1217 d_1[214,1] := 0.017988;
1218 d_1[214,2] := -0.0096537;
1219 d_1[214,3] := -0.0079751;
1220 d_1[215,1] := 0.017976;
1221 d_1[215,2] := -0.0096563;
1222 d_1[215,3] := -0.0079773;
1223 d_1[216,1] := 0.017966;
1224 d_1[216,2] := -0.0096587;
1225 d_1[216,3] := -0.0079793;
1226 d_1[217,1] := 0.017956;
1227 d_1[217,2] := -0.0096608;
1228 d_1[217,3] := -0.007981;
1229 d_1[218,1] := 0.017948;
1230 d_1[218,2] := -0.0096626;
1231 d_1[218,3] := -0.0079825;
1232 d_1[219,1] := 0.017941;
1233 d_1[219,2] := -0.0096643;
1234 d_1[219,3] := -0.0079839;
1235 d_1[220,1] := 0.017934;
1236 d_1[220,2] := -0.0096658;
1237 d_1[220,3] := -0.0079851;
1238 d_1[221,1] := 0.017929;
1239 d_1[221,2] := -0.0096671;
1240 d_1[221,3] := -0.0079862;
1241 d_1[222,1] := 0.017923;
1242 d_1[222,2] := -0.0096682;
1243 d_1[222,3] := -0.0079872;
1244 d_1[223,1] := 0.017919;
1245 d_1[223,2] := -0.0096693;
1246 d_1[223,3] := -0.007988;
1247 d_1[224,1] := 0.017915;
1248 d_1[224,2] := -0.0096702;
1249 d_1[224,3] := -0.0079888;
1250 d_1[225,1] := 0.017911;
1251 d_1[225,2] := -0.009671;
1252 d_1[225,3] := -0.0079895;
1253 d_1[226,1] := 0.017908;
1254 d_1[226,2] := -0.0096718;
1255 d_1[226,3] := -0.0079901;
1256 d_1[227,1] := 0.017905;
1257 d_1[227,2] := -0.0096724;
1258 d_1[227,3] := -0.0079906;
1259 d_1[228,1] := 0.017903;
1260 d_1[228,2] := -0.009673;
1261 d_1[228,3] := -0.0079911;
1262 d_1[229,1] := 0.0179;
1263 d_1[229,2] := -0.0096735;
1264 d_1[229,3] := -0.0079915;
1265 d_1[230,1] := 0.017898;
1266 d_1[230,2] := -0.009674;
1267 d_1[230,3] := -0.0079919;
1268 d_1[231,1] := 0.017897;
1269 d_1[231,2] := -0.0096744;
1270 d_1[231,3] := -0.0079922;
1271 d_1[232,1] := 0.017895;
1272 d_1[232,2] := -0.0096747;
1273 d_1[232,3] := -0.0079925;
1274 d_1[233,1] := 0.017894;
1275 d_1[233,2] := -0.009675;
1276 d_1[233,3] := -0.0079928;
1277 d_1[234,1] := 0.017893;
1278 d_1[234,2] := -0.0096753;
```



```
1279 d_1[234,3] := -0.007993;
1280 d_1[235,1] := 0.017891;
1281 d_1[235,2] := -0.0096756;
1282 d_1[235,3] := -0.0079932;
1283 d_1[236,1] := 0.01789;
1284 d_1[236,2] := -0.0096758;
1285 d_1[236,3] := -0.0079934;
1286 d_1[237,1] := 0.01789;
1287 d_1[237,2] := -0.009676;
1288 d_1[237,3] := -0.0079936;
1289 d_1[238,1] := 0.017889;
1290 d_1[238,2] := -0.0096762;
1291 d_1[238,3] := -0.0079937;
1292 d_1[239,1] := 0.017888;
1293 d_1[239,2] := -0.0096764;
1294 d_1[239,3] := -0.0079939;
1295 d_1[240,1] := 0.017888;
1296 d_1[240,2] := -0.0096765;
1297 d_1[240,3] := -0.007994;
1298 d_1[241,1] := 0.017887;
1299 d_1[241,2] := -0.0096766;
1300 d_1[241,3] := -0.0079941;
1301 d_1[242,1] := 0.017887;
1302 d_1[242,2] := -0.0096767;
1303 d_1[242,3] := -0.0079942;
1304 d_1[243,1] := 0.017886;
1305 d_1[243,2] := -0.0096768;
1306 d_1[243,3] := -0.0079943;
1307 d_1[244,1] := 0.017886;
1308 d_1[244,2] := -0.0096769;
1309 d_1[244,3] := -0.0079943;
1310 d_1[245,1] := 0.017885;
1311 d_1[245,2] := -0.009677;
1312 d_1[245,3] := -0.0079944;
1313 d_1[246,1] := 0.017885;
1314 d_1[246,2] := -0.0096771;
1315 d_1[246,3] := -0.0079945;
1316 d_1[247,1] := 0.017885;
1317 d_1[247,2] := -0.0096771;
1318 d_1[247,3] := -0.0079945;
1319 d_1[248,1] := 0.017885;
1320 d_1[248,2] := -0.0096772;
1321 d_1[248,3] := -0.0079946;
1322 d_1[249,1] := 0.017884;
1323 d_1[249,2] := -0.0096772;
1324 d_1[249,3] := -0.0079946;
1325 d_1[250,1] := 0.017884;
1326 d_1[250,2] := -0.0096773;
1327 d_1[250,3] := -0.0079946;
1328 d_1[251,1] := 0.017884;
1329 d_1[251,2] := -0.0096773;
1330 d_1[251,3] := -0.0079947;
1331 d_1[252,1] := 0.017884;
1332 d_1[252,2] := -0.0096774;
1333 d_1[252,3] := -0.0079947;
1334 d_1[253,1] := 0.017884;
1335 d_1[253,2] := -0.0096774;
1336 d_1[253,3] := -0.0079947;
1337 d_1[254,1] := 0.017884;
1338 d_1[254,2] := -0.0096774;
1339 d_1[254,3] := -0.0079948;
1340 d_1[255,1] := 0.017884;
1341 d_1[255,2] := -0.0096774;
1342 d_1[255,3] := -0.0079948;
1343 d_1[256,1] := 0.017884;
1344 d_1[256,2] := -0.0096775;
1345 d_1[256,3] := -0.0079948;
1346 d_1[257,1] := 0.017883;
1347 d_1[257,2] := -0.0096775;
1348 d_1[257,3] := -0.0079948;
1349 d_1[258,1] := 0.017883;
1350 d_1[258,2] := -0.0096775;
1351 d_1[258,3] := -0.0079948;
1352 d_1[259,1] := 0.017883;
1353 d_1[259,2] := -0.0096775;
1354 d_1[259,3] := -0.0079948;
1355 d_1[260,1] := 0.017883;
1356 d_1[260,2] := -0.0096775;
1357 d_1[260,3] := -0.0079948;
1358 d_1[261,1] := 0.017883;
```

```
1359 d_1[261,2] := -0.0096775;
1360 d_1[261,3] := -0.0079949;
1361 d_1[262,1] := 0.017883;
1362 d_1[262,2] := -0.0096776;
1363 d_1[262,3] := -0.0079949;
1364 d_1[263,1] := 0.017883;
1365 d_1[263,2] := -0.0096776;
1366 d_1[263,3] := -0.0079949;
1367 d_1[264,1] := 0.017883;
1368 d_1[264,2] := -0.0096776;
1369 d_1[264,3] := -0.0079949;
1370 d_1[265,1] := 0.017883;
1371 d_1[265,2] := -0.0096776;
1372 d_1[265,3] := -0.0079949;
1373 d_1[266,1] := 0.017883;
1374 d_1[266,2] := -0.0096776;
1375 d_1[266,3] := -0.0079949;
1376
1377
1378 (* ***** *)
1379 (* Parametros de Configuracion del DMC *)
1380 (* ***** *)
1381
1382 (* Inicio del horizonte de coincidencia *)
1383 N1[1] := 1; N1[2] := 1; N1[3] := 1;
1384 (* Final del horizonte de coincidencia *)
1385 N2[1] := 30; N2[2] := 30; N2[3] := 30;
1386 (* Horizonte de control *)
1387 Nu[1] := 2; Nu[2] := 2; Nu[3] := 2;
1388
1389 (* Dinamica para la referencia *)
1390 alpha[1] := 0.9; alpha[2] := 0.9; alpha[3] := 0.9;
1391
1392 beta[1] := 0.5; beta[2] := 0.5; beta[3] := 0.0;
1393
1394 gamma[1] := 3.0; gamma[2] := 1.0; gamma[3] := 0.0;
1395
1396 rho[1] := 1000.0; rho[2] := 1000.0; rho[3] := 1000.0;
1397
1398 Du_Min[1] := -5.0; Du_Min[2] := -5.0; Du_Min[3] := -5.0;
1399
1400 Du_Max[1] := 5.0; Du_Max[2] := 5.0; Du_Max[3] := 5.0;
1401
1402 u_Min[1] := 10.0; u_Min[2] := 8.0; u_Min[3] := 0.0;
1403
1404 u_Max[1] := 56.0; u_Max[2] := 57.0; u_Max[3] := 0.0;
1405
1406 y_Min[1] := 6.2; y_Min[2] := 55.0; y_Min[3] := 0.0;
1407
1408 y_Max[1] := 8.0; y_Max[2] := 74.0; y_Max[3] := 1.5;
1409
1410 END_DATA_BLOCK
1411
```

```
1 ORGANIZATION_BLOCK OB1
2
3 VAR_TEMP
4     // reservado
5     informacion : ARRAY[0..19] OF BYTE;
6     // variables temporales
7 END_VAR
8
9 BEGIN
10
11     FB_DMC.DB_Reactor_DMC(flag:=FALSE);
12     ;
13
14 END_ORGANIZATION_BLOCK
15
16
```

```
17 ORGANIZATION_BLOCK OB100
18
19 VAR_TEMP
20     // reservado
21     informacion : ARRAY[0..19] OF BYTE;
22     // variables temporales
23
24 END_VAR
25
26 BEGIN
27
28     FB_DMC.DB_Reactor_DMC(flag:=TRUE);
29     FB_DMC.DB_Reactor_DMC(flag:=FALSE);
30     //
31
32 END_ORGANIZATION_BLOCK
```

